



จุฬาลงกรณ์มหาวิทยาลัย

ทุนวิจัย

กองทุนรัชดาภิเษกสมโภช

รายงานผลการวิจัย

เรื่อง

“อนุกรมวิธานและเอนไซม์โปรตีเอสของแบคทีเรียชอบเค็มจากอาหารหมัก”

Systematics and Proteases of Halophilic Bacteria from Fermented Foods

โดย

สมบูรณ์ ธนาสุวัฒน์

สถาบันวิทยบริการ
จุฬาลงกรณ์มหาวิทยาลัย
กุมภาพันธ์ 2550

จุฬาลงกรณ์มหาวิทยาลัย

ทุนวิจัย

กองทุนรัชดาภิเษกสมโภช

รายงานผลการวิจัย

เรื่อง

“อนุกรมวิธานและเอนไซม์โปรตีเอสของแบคทีเรียชอบเค็มจากอาหารหมัก”

Systematics and Proteases of Halophilic Bacteria from Fermented Foods

โดย

สมบูรณ์ ชนาศุภวัฒน์

สถาบันวิทยบริการ

กุมภาพันธ์ 2550

จุฬาลงกรณ์มหาวิทยาลัย

เลขหมู่ จพ
๑15
เลขทะเบียน 013447
วัน, เดือน, ปี 14 ม.ค. 51

ชื่อโครงการวิจัย : อนุกรมวิธานและเอนไซม์โปรทีเอสของแบคทีเรียชอบเค็มจากอาหารหมัก

ชื่อผู้วิจัย : รศ. ดร.สมบูรณ์ ธนาสุวัฒน์

เดือนปีที่ทำวิจัยเสร็จ : ธันวาคม 2549

บทคัดย่อ

การศึกษานุกรมวิธานแบคทีเรียชอบเค็มที่สามารถผลิตเอนไซม์โปรติเอสจากอาหารหมักชนิดต่างๆที่เก็บจากตลาด และจากน้ำปลาที่ผลิตในจังหวัดสมุทรปราการ สมุทรสงคราม ระยอง รวมทั้งจากบูดูในจังหวัดปัตตานี รวม 110 ตัวอย่าง พบว่าสามารถแยกแบคทีเรียชอบเค็มได้จำนวน 279 ไอโซเลต จากผลการคัดเลือกแบคทีเรียชอบเค็มที่สามารถผลิตเอนไซม์โปรติเอสขั้นต้น พบแบคทีเรียชอบเค็มปานกลาง 38 ไอโซเลต และแบคทีเรียชอบเค็มสูง 7 ไอโซเลต จากการศึกษาทางอนุกรมวิธานของแบคทีเรียตัวแทน 82 สายพันธุ์ โดยอาศัยลักษณะทางฟีโนไทป์ ลักษณะทางอนุกรมวิธานเคมี และDNA-DNA similarity รวมทั้งการวิเคราะห์ลำดับเบสในช่วง 16S rDNA สามารถพิสูจน์เอกลักษณ์ของแบคทีเรียชอบเค็มปานกลางจำนวน 56 สายพันธุ์ ได้ 10 กลุ่ม โดยจัดเป็นแบคทีเรีย *Lentibacillus salicampi* 3 สายพันธุ์, *L. juripiscarius* sp. nov. 5, *L. halophilus* sp. nov. 15 สายพันธุ์, *L. kapialis* sp. nov. 2 สายพันธุ์ *Filobacillus* sp. 2 สายพันธุ์ *Virgibacillus halodenitrificans* 6 สายพันธุ์, *Virgibacillus* sp. 1 สายพันธุ์, *Marinococcus* 3 สายพันธุ์, *Salinicoccus* 15 สายพันธุ์ และ *Chromohalobacter salexigens* 4 สายพันธุ์, พบแบคทีเรียชอบเค็มสูงจำนวน 26 สายพันธุ์ ได้ 3 กลุ่ม ซึ่งพิสูจน์เอกลักษณ์ได้เป็น *Halobacterium salinarum* 10 สายพันธุ์, *Halococcus saccharolyticus* 1 สายพันธุ์ และ *Halococcus* sp. nov. 15 สายพันธุ์

ผลการศึกษาการผลิตเอนไซม์โปรทีเอสที่ปล่อยออกนอกเซลล์ พบว่าแบคทีเรียชอบเค็มสูง (extremely halophile) สายพันธุ์ DS2-5, KS87-2 และ DB10-1 ให้ค่า specific activity 0.2230-2.6524 U/ mg protein ที่ 37 °C และ 1.6452-5.4643 U/ mg protein ที่ 30 °C โดยใช้ casein เป็นสับสเตรท และให้ค่า specific activities 0.7808-1.9927 U/ mg protein ที่ 37 °C และ 0.3525-6.7468 U/ mg protein ที่ 30 °C โดยใช้ fish powder เป็นสับสเตรท แบคทีเรียชอบเค็มปานกลาง (moderate halophile) สายพันธุ์ RF2-5, RBU1-1, SSK10-5, PN2-19, SSK2-2 และ SSK3-2 ให้ค่า specific activity สูง 11.1140-29.7991 U/ mg protein ที่ 37 °C และให้ค่า specific activity สูง 23.8335-32.8760 U/ mg protein ที่ 30 °C โดยใช้ casein เป็นสับสเตรท และพบว่าการใช้ fish powder เป็น substrate จะให้ค่า specific activity 12.7219-29.7991 U/ mg protein ที่ 37 °C และ specific activity 13.9652-49.5517 U/ mg protein ที่ 30 °C นอกจากนี้ได้เลือกตรวจสอบการผลิตเอนไซม์โปรทีเอสภายในเซลล์ของแบคทีเรียชอบปานกลางบางสายพันธุ์

Project Title : Systematics and Proteases of Halophilic Bacteria from Fermented Foods

Name of the Investigators : Associate Professor Dr. Somboon Tanasupawat

Month/Year : December 2006

ABSTRACT

In order to isolate and screen for protease-producing halophiles, 279 isolates were isolated from fish sauce samples collected in Samutprakarn, Samutsongkram, and Rayong and from bu-du in Pattani provinces. Thirty-eight isolates of the moderately halophilic bacteria and 7 isolates of extremely halophilic bacteria exhibited protease activity in the primary screening. The representative 82 isolates were selected for further taxonomic studies based on their phenotypic and chemotaxonomic characteristics, DNA-DNA similarity and the phylogenetic analysis using 16S rDNA sequences. Fifty-six isolates of moderately halophilic bacteria were divided into 10 groups. They were identified as *Lentibacillus salicampi* (3 isolates), *L. juripiscarius* sp. nov. (5 isolates), *Chromohalobacter salexigens* (4 isolates), *Halobacillus* sp. (1 isolate), and *Filobacillus* sp. (1 isolate). Twenty-six isolates of extreme halophiles were identified as *Halobacterium salinarum* (10 isolates), *Halococcus saccharolyticus* (1 isolate) and *Halococcus* sp. nov. (15 isolates).

On the study of extracellular protease activity, the extreme halophiles, DS2-5, KS87-2 and DB10-1 showed high enzyme specific activity 0.2230-2.6524 U/ mg protein at 37°C and 1.6452-5.4643 U/ mg protein at 30°C using casein as a substrate whereas their specific activities were 0.7808-1.9927 U/ mg protein at 37°C and 0.3525-6.7468 U/ mg protein at 30°C using fish powder as substrates. The moderate halophiles, RF2-5, RBU1-1, SSK10-5, PN2-19, SSK2-2, and SSK3-2 showed high specificity activity 11.1140-29.7991 U/ mg protein at 37°C and 23.8335-32.8760 U/ mg protein at 30°C using casein as substrates whereas their specific activities were 12.7219-29.7991 U/ mg protein at 37°C and 13.9652-49.5517 U/ mg protein at 30°C using fish powder as substrates. The intracellular protease activities were determined for some selected strains.

กิตติกรรมประกาศ

ผู้วิจัยขอขอบคุณจุฬาลงกรณ์มหาวิทยาลัย ที่ให้การสนับสนุนโครงการวิจัยนี้ โดยอนุมัติ
ทุนวิจัยกองทุนรัชดาภิเษกสมโภช ประจำปี 2545-46 เป็นเงินจำนวนทั้งสิ้น 168,000 บาท (หนึ่ง
แสนหกหมื่นแปดพันบาทถ้วน)

ขอขอบคุณหน่วยปฏิบัติการเทคโนโลยีชีวภาพทางเภสัชศาสตร์ และศูนย์ปฏิบัติการ
กลาง คณะเภสัชศาสตร์ จุฬาลงกรณ์มหาวิทยาลัย ที่อนุญาตให้ใช้เครื่องมือรวมทั้งภาควิชาจุล
ชีววิทยา คณะเภสัชศาสตร์ จุฬาลงกรณ์มหาวิทยาลัยที่ให้ใช้สถานที่ในการวิจัยครั้งนี้



สถาบันวิทยบริการ
จุฬาลงกรณ์มหาวิทยาลัย

สารบัญ

	หน้า
บทคัดย่อภาษาไทย.....	I
บทคัดย่อภาษาอังกฤษ.....	II
กิตติกรรมประกาศ.....	III
สารบัญ.....	IV
สารบัญตาราง.....	V
สารบัญภาพ.....	VI
บทที่	
1. บทนำ.....	1
2. การสำรวจแนวความคิดและการวิจัยที่เกี่ยวข้อง.....	4
3. วิธีการวิจัย.....	16
4. ผลการวิจัยและการอภิปรายผล.....	19
5. ข้อเสนอแนะ.....	69
เอกสารอ้างอิง.....	71
ภาคผนวก	78

สถาบันวิทยบริการ
จุฬาลงกรณ์มหาวิทยาลัย

สารบัญตาราง

ตารางที่	หน้า
2.1 ลักษณะที่แตกต่างกันของสกุล <i>Halobacterium</i> , <i>Haloferax</i> , <i>Haloarcula</i> , <i>Halococcus</i> , <i>Natronobacterium</i> และ <i>Natronococcus</i>	10
2.2 ลักษณะที่แตกต่างกันของสกุล <i>Halobacillus</i> , <i>Halomonas</i> , <i>Bacillus</i> , <i>Salibacillus</i> , <i>Virgibacillus</i> และ <i>Lentibacillus</i>	11
2.3 คุณสมบัติของเอนไซม์โปรติเอสจากแบคทีเรียชอบเค็มสูง	13
4.1 ชนิดตัวอย่างอาหารหมัก แหล่งที่มา รหัสชื่อและจำนวนไอโซเลต	19
4.2 การย่อยเคซีนและเจลาตินของสายพันธุ์ที่คัดเลือกได้	23
4.5 DNA-DNA similarity ของ <i>Lentibacillus</i> กลุ่มที่ 1 และ 2	36
4.6 ลักษณะแตกต่างของ <i>Lentibacillus</i> กลุ่มที่ 1 และ 2	37
4.7 DNA-DNA similarity ของ <i>Lentibacillus</i> กลุ่มที่ 3	38
4.8 DNA-DNA similarity ของ <i>Lentibacillus</i> กลุ่มที่ 4	38
4.9 ลักษณะแตกต่างของ <i>Lentibacillus</i> species	39
4.10 ลักษณะแตกต่างของ <i>Filobacillus</i> species	41
4.11 DNA-DNA similarity ของ <i>Virgibacillus</i> species	43
4.12 ลักษณะแตกต่างของ <i>Virgibacillus</i> species	44
4.13 DNA-DNA similarity ของ <i>Marinococcus</i> species	46
4.14 ลักษณะแตกต่างของ <i>Marinococcus</i> species	47
4.15 DNA-DNA similarity ของ <i>Salinicoccus</i>	49
4.16 ลักษณะแตกต่างของ <i>Salinicoccus</i> species	50
4.17 DNA-DNA similarity ของ <i>Chromohalobacter</i> spp.	52
4.18 ลักษณะแตกต่างของ <i>Chromohalobacter</i> spp.	52
4.19 DNA-DNA similarity ของแบคทีเรีย Group A และ B	55
4.20 ลักษณะของแบคทีเรียชอบเค็มสูง Group A และ B	56
4.21 DNA-DNA similarity ของแบคทีเรียชอบเค็มสูง Group C	59
4.22 ลักษณะแตกต่างของ <i>Halococcus</i> species	60
4.23 Protease activities of isolates on casein as substrate	62
4.24 Protease activities of isolates on casein as substrate	62
4.25 Intracellular และ extracellular protease activity ของแบคทีเรียที่คัดเลือก	68

สารบัญภาพ

ภาพที่	หน้า
2.1 ขั้นตอนการผลิตน้ำปลา	6
2.2 แสดงการเกิดสารประกอบเอมีน	7
4.1 ลักษณะโคโลนีของแบคทีเรียชอบเค็มปานกลางที่สามารถย่อยเคซีน	25
4.2 ลักษณะโคโลนีของแบคทีเรียชอบเค็มสูงที่สามารถย่อยเคซีน	26
4.3 ลักษณะเซลล์และสปอร์ของแบคทีเรียสกุล <i>Lentibacillus</i> สายพันธุ์ IS40-3 และ PS11-2	35
4.4 Phylogenetic tree of IS40-3, PS11-2 and PN7-6, based on 16S rDNA sequence	40
4.5 ลักษณะเซลล์และสปอร์ของแบคทีเรียสกุล <i>Filobacillus</i> สายพันธุ์ RF2-5 และ RBU1-1	41
4.6 Phylogenetic tree of RF2-5 and RBU1-1 based on 16S rDNA sequence	42
4.7 Phylogenetic tree of SSK2-2 and SSK3-2 based on 16S rDNA sequence	45
4.8 Phylogenetic tree of CS2 based on 16S rDNA sequence	48
4.9 Phylogenetic tree of PN1-2 based on 16S rDNA sequence	51
4.10 Phylogenetic tree of DS26-2 based on 16S rDNA sequence	54
4.11 Phylogenetic tree of RF6, DB5-2, and DS2-5 based on 16S rDNA sequences	57
4.12 ลักษณะโคโลนีและเซลล์ของแบคทีเรีย <i>Halococcus</i> sp. DB5-2	58

บทที่ 1

บทนำ

อาหารหมักดองของไทยมีจุลินทรีย์หลายประเภทแสดงบทบาทเกี่ยวข้องกับกระบวนการหมัก เช่นในลูกแป้ง ที่ใช้ในการหมัก สาโท น้ำขาว กระแช่ และอุ พบเชื้อ *Saccharomyces cerevisiae*, *Saccharomycopsis fibuligera*, *Aspergillus oryzae*, *Amylomyces rouxii*, *Rhizopus* spp. และ *Mucor* spp. (Sukhumavasi และ คณะ, 1975; Lotong, 1998) เชื้อ *Aspergillus oryzae* ใช้ในการผลิตโคจิเพื่อหมักซีอิ๊ว (Lotong, 1998) แบคทีเรียกรดแลคติกทำให้อาหารหมักมีรสเปรี้ยว ได้แก่ *Pediococcus pentosaceus*, *P. acidilactici*, *Lactobacillus pentosus*, *L. plantarum*, *L. sake*, *L. farciminis*, *L. acidipisci*, *L. brevis*, *L. fermentum*, *Weissella confusa*, *W. thailandensis*, *Lactobacillus* spp., *Leuconostoc* sp., *Enterococcus hirae*, *E. faecalis*, *E. casseliflavus*, *Enterococcus* sp., *Tetragenococcus halophilus* และ *T. muriaticus*, ซึ่งพบในแฮม ไส้กรอกเปรี้ยว ปลาต้ม ส้มผัก ปลาเจ้า มั้ม ผักกาดดอง ผักเสี้ยนดอง ผักกุ่มดอง หน่อไม้ดอง ถั่วงอกดอง หอมดอง กะหล่ำปลีดอง ไบเมียงหมัก ข้าวหมาก ปลาร้า ปลาจ่อม กุ้งจ่อม หอยดอง ซีอิ๊ว น้ำปลา และบูดู พบ *Staphylococcus carnosus*, *S. piscifermentans*, *Bacillus* sp., *Halobacterium* sp. และ *Halococcus* sp. ในอาหารที่มีเกลือสูง (Tanasupawat และ Komagata, 1995; Tanasupawat และ คณะ, 1998; Tanasupawat และ คณะ, 2000, 2002; Tanasupawat และ Komagata, 2001) โดยเฉพาะ *Bacillus* sp. และ *Halobacterium salinarum* ในบูดูและน้ำปลา สามารถสร้างเอนไซม์โปรทีเอส (Choorit และ Prasertsan, 1992; Thongthai และ คณะ, 1992) นอกจากนี้ยังพบแบคทีเรียชอบเค็มและแบคทีเรียทนเค็มอีกหลายชนิดในกะปิ น้ำปลา และซีอิ๊ว (สมบูรณ์ 2543)

แบคทีเรียชอบเค็ม (Ventosa และ Nieto, 1995) ปัจจุบันสามารถจัดได้เป็นสองกลุ่มได้แก่ พวกชอบเค็มสูง (extremely halophilic archaea) ซึ่งเจริญได้เหมาะสมในสิ่งแวดล้อมที่มีเกลือความเข้มข้น 2.5-5.2 M (saturated NaCl) ได้แก่ เชื้อสกุล *Halobacterium*, *Haloferax*, *Haloarcula*, *Halococcus*, *Natronobacterium*, *Natronococcus*, *Methanohalobium*, *Acetohalobium*, *Actinopolyspora* และ *Ectothiorhodospira* และพวกชอบเค็มปานกลาง (moderate halophiles) เจริญได้เหมาะสมในอาหารที่มีเกลือ 0.5 ถึง 2.5 M NaCl ได้แก่ archaea bacteria พวก *Methanohalophilus*, *Halomethanococcus* แบคทีเรียแกรมบวกสกุล *Bacillus*, *Clostridium*, *Marinococcus*, *Micrococcus*, *Salinicoccus* และ *Sporosarcina* แบคทีเรียแกรมลบสกุล *Arhodomonas*, *Chromohalobacter*, *Deleya*, *Dichotomicrobium*, *Flavobacterium*, *Haloanaerobium*, *Halobacteroides*, *Haloicola*, *Halomonas*, *Halovibrio*, *Paracoccus*, *Pseudomonas*, *Spirochaeta*, *Sporohalobacter*, *Vibrio*, *Volcaniella* แอคติโนมัยซีตส์สกุล

Actinopolyspora แบคทีเรียรีดิควัสซัลเฟตสกุล *Desulfohalobium* และ *Desulfovibrio* แบคทีเรียสังเคราะห์แสง (phototroph) สกุล *Rhodospirillum*, *Ectothioshodospira*, *Chromatium* และ *Thiocapsa*

โปรทีเอสเป็นกลุ่มของเอนไซม์ที่มีความสามารถในการตัดพันธะเปปไทด์ของโปรตีน ทำให้โปรตีนเกิดการเปลี่ยนแปลงโครงสร้างและขนาดโมเลกุล การเปลี่ยนแปลงที่เกิดขึ้นมีผลทำให้โปรตีนแสดงคุณสมบัติแตกต่างไปจากเดิม เช่น ความสามารถในการละลาย ความสามารถในการจับกับน้ำ ความสามารถในการทำปฏิกิริยากับสารอื่นๆ ความสามารถในการเกิดเจล การเกิดโฟม ซึ่งรวมๆ กันแล้วมีผลโดยตรงต่อลักษณะปรากฏของอาหารทั้ง กลิ่น รส สี และลักษณะเนื้อสัมผัส การย่อยสลายโปรตีนมีบทบาทสำคัญต่อการเกิดกระบวนการหมักของอาหารหมักหลายๆ ชนิด ทั้งจากเนื้อสัตว์และธัญพืช ตัวอย่างอาหารหมักที่เกิดจากการย่อยสลายของโปรตีน ที่สำคัญ ได้แก่ บูด กะปิ น้ำปลา ปลาร้า ซีอิ๊ว และ ถั่วเน่า การย่อยสลายของโปรตีนเกิดได้โดยเอนไซม์ที่มีอยู่ในเนื้อหรือวัตถุดิบเริ่มต้น และจากเชื้อจุลินทรีย์ที่ผลิตเอนไซม์โปรทีเอส การย่อยสลายของโปรตีนทำให้เกิดเปปไทด์และกรดอะมิโนชนิดต่างๆ ซึ่งมีผลต่อรสชาติของอาหารหมักและเป็นสารตั้งต้นที่สามารถทำปฏิกิริยากับองค์ประกอบอื่นๆ ในอาหาร เช่น น้ำตาล ไขมัน เกิดเป็นสารใหม่ที่มีกลิ่น สี และลักษณะเฉพาะตัว

เนื่องจากแบคทีเรียชอบเค็มมีความสามารถในการทนเกลือมากกว่าจุลินทรีย์ชนิดอื่นๆ แบคทีเรียชอบเค็มกลุ่มนี้ จึงน่าจะมีบทบาทสำคัญในอาหารหมักที่มีเกลือสูง เช่น น้ำปลา กะปิ และบูด ซึ่งอาจจะเกี่ยวข้องกับการย่อยสลายโปรตีนและการสร้างสารให้กลิ่นรสที่เป็นลักษณะเฉพาะตัว Kim และ Dordick (1997) ได้ศึกษาโปรทีเอสของเชื้อ *Halobacterium halobium* Chaayanan และ คณะ (1999) รายงานการค้นพบ "*Halobacillus thailandensis* " ซึ่งเป็นแบคทีเรียชอบเค็ม ชนิดใหม่ที่แยกได้จากน้ำปลานั้นมีลักษณะแตกต่างจากเชื้อสายพันธุ์อื่นๆ รวมทั้งความสามารถในการย่อยสลายโปรตีน (Chaayanan และ คณะ, 1999) นอกจากนี้ยังสามารถใช้เป็นหัวเชื้อเพื่อลดระยะเวลาในการหมักน้ำปลา (Chaayanan และ คณะ, 1988) อย่างไรก็ตามงานวิจัยที่ศึกษาเกี่ยวกับแบคทีเรียชอบเค็ม และ เอนไซม์โปรทีเอสที่เชื่อดังกล่าวผลิตยังมีน้อยมาก ดังนั้นการใช้คุณลักษณะทางชีวภาพ เช่น ความสามารถในการย่อยสลายโปรตีน ชนิดของเอนไซม์โปรทีเอสที่แบคทีเรียสร้างขึ้นในระหว่างการเจริญ ร่วมกับลักษณะต่างๆ ทางกายภาพ รวมทั้งความต้องการเกลือในการทำอนุกรมวิธาน น่าจะช่วยให้สามารถจำแนกสายพันธุ์แบคทีเรียชอบเค็มได้ละเอียดมากขึ้น ซึ่งข้อมูลที่ได้จะเป็นประโยชน์อย่างมากในการคัดเลือกสายพันธุ์ของเชื้อจุลินทรีย์ที่มีสำคัญในการหมักและมีคุณสมบัติที่เหมาะสมในการพัฒนาเป็นหัวเชื้อบริสุทธิ์ เพื่อลดเวลาการหมักและให้ได้ผลิตภัณฑ์ที่มีคุณภาพและปลอดภัยต่อผู้บริโภค นอกจากนี้ยังอาจนำแบคทีเรียชอบเค็มมาใช้เป็นแหล่งผลิตเอนไซม์ที่มีคุณสมบัติพิเศษแตกต่างจากเอนไซม์ที่ผลิตโดยจุลินทรีย์ชนิดอื่น โดยเฉพาะความสามารถในการทำงานในสภาวะที่มีความเข้มข้นเกลือสูงในอนาคต

แบคทีเรียชอบเค็มมีบทบาทย่อยโปรตีนของเนื้อปลา และบางพวกสร้างกรดทำให้อาหารมีรสเปรี้ยว พบเชื้อ พวกที่ชอบเค็มสูง ได้แก่ *Halobacterium salinarum* ในน้ำปลา (Thongthai และคณะ, 1992) และแบคทีเรียกรดแลคติกชอบเค็มปานกลางพวก *Tetragenococcus halophilus* และพบเชื้อ *Staphylococcus carnosus* และเชื้อชนิดใหม่ *Staphylococcus piscifermentaus* ในปลาหมัก เช่น น้ำปลา ปลาจ่อม ปลาจ่อม กุ้งจ่อมและซีอิ้ว (Tanasupawat และ คณะ, 1991; 1992) นอกจากนี้แบคทีเรียชอบเค็มปานกลางบางพวกยังสามารถสร้าง exoenzymes หลายชนิด ได้แก่ amylases, nucleases, proteases และ 5'-nucleotidases เช่น เชื้อ *Micrococcus varians* subsp. *halophilus* และ *Bacillus* sp. (Kamekura และ คณะ, 1982 ; Khire และ Pant, 1992).

อย่างไรก็ตามแม้จะมีผู้วิจัยเกี่ยวข้องกับจุลินทรีย์ในน้ำปลา (สาโรช, 2531; ศิริเพ็ญ, 2533) แล้วก็ตามแบคทีเรียที่มีบทบาทในกระบวนการหมักที่น่าสนใจนอกเหนือจากจุลินทรีย์ที่กล่าวมาแต่ยังไม่มีการนำไปใช้ผลิตเป็นหัวเชื้อ และความรู้พื้นฐานของจุลินทรีย์เหล่านี้ในน้ำปลาและอาหารที่มีเกลือสูงในประเทศไทยยังมีน้อย โครงการนี้จึงมีวัตถุประสงค์ เพื่อแยกและคัดเลือกเชื้อแบคทีเรียชอบเค็มจากอาหารหมักที่สามารถสร้างเอนไซม์โปรตีเอส และเพื่อจัดกลุ่มของแบคทีเรียเหล่านั้นโดยอาศัยลักษณะทางฟีโนไทป์ รวมทั้ง DNA-DNA homology และ ลำดับเบสในช่วง 16S rDNA sequenc นอกจากนี้ยังศึกษาการผลิตเอนไซม์โปรตีเอสโดยการตรวจสอบปริมาณ protease activity และ โปรตีนของ แบคทีเรียชอบเค็ม

สถาบันวิทยบริการ
จุฬาลงกรณ์มหาวิทยาลัย

บทที่ 2

การสำรวจแนวความคิดและการวิจัยที่เกี่ยวข้อง

ปลาหมัก (Fermented Fish) ผลิตโดยนำวัตถุดิบ เช่น ปลา มาผสมกับเกลือ และนำไปบรรจุ ในภาชนะที่ใช้สำหรับหมัก จะใช้เวลาหมักแตกต่างกันไปขึ้นอยู่กับชนิดของอาหารที่จะผลิต จัดเป็น การถนอมอาหาร วิธีหนึ่งซึ่งทำได้สะดวก มีต้นทุนต่ำ และไม่ต้องใช้เทคนิคที่ซับซ้อน ตัวอย่าง เช่น น้ำปลา ปลาร้า ปลาสาม ปลาแจ่ว บูด ปลาจ่อม กุ้งจ่อม และ กะปิ อาหารเหล่านี้มีแบคทีเรียหลาย ประเภทแสดงบทบาทเกี่ยวข้องในกระบวนการหมัก เช่น แบคทีเรียกรดแลคติกทำให้อาหารหมักมี รสเปรี้ยว ได้แก่ *Pediococcus pentosaceus*, *P. acidilactici*, *Lactobacillus pentosus*, *L. plantarum*, *L. sake*, *L. farciminis*, *L. acidipisci*, *L. brevis*, *L. fermentum*, *Weissella confusa*, *W. thailandensis*, *Lactobacillus* spp., *Leuconostoc* sp., *Enterococcus hirae*, *E. faecalis*, *E. casseliflavus*, *Enterococcus* sp., *Tetragenococcus halophilus* และ *T. muriaticus*, ซึ่งพบในແหมม ใส้กรอก เปรี้ยว ปลาสาม ปลาแจ่ว ปลาร้า ปลาจ่อม กุ้งจ่อม น้ำปลา และบูดู (Tanasupawat และ Komagata, 1995; Tanasupawat และ คณะ, 2000; Thongsanit และ คณะ, 2002) และพบ *Staphylococcus carnosus*, *S. piscifermentans*, *S. epidermis*, *Bacillus* sp., *B. licheniformis*, *B. sphaericus*, *Micrococcus* sp., *Pediococcus halophilus*, *Halobacterium* sp. และ *Halococcus* sp. ในอาหารที่มี เกลือสูง โดยเฉพาะ *Bacillus* sp. *Halobacterium salinarum* และ *Halobacillus thailandensis* ในบู ดูและน้ำปลา สามารถสร้างเอนไซม์โปรติเอส (Chaiyanan และ คณะ, 1999; Choorit และ Prasertsan, 1992; Phithakpol และ คณะ, 1995; Thongthai และ คณะ, 1992)

แบคทีเรียทนเค็มที่พบในปลาหมักมีบทบาทสำคัญต่อการผลิต เนื่องจากแบคทีเรียกลุ่มนี้จะ สร้างเอนไซม์โปรติเอส ซึ่งเป็นกลุ่มเอนไซม์ที่ย่อยสลายพันธะเปปไทด์ในโปรตีน ทำให้เกิด เปป ไทด์และกรดอะมิโนชนิดต่างๆ ซึ่งมีผลต่อรสชาติของอาหารหมักและเป็นสารตั้งต้นที่สามารถทำ ปฏิกริยากับองค์ประกอบอื่นๆ ในอาหาร เช่น น้ำตาล ไขมัน เกิดเป็นสารใหม่ที่มีกลิ่น สี และ ลักษณะเฉพาะตัว (Chaveesuk และ คณะ, 1993; Lopetcharat และ คณะ, 2001)

เป็นที่ทราบกันว่าปลาหมักจะต้องใช้ระยะเวลาในการผลิตนาน เช่น น้ำปลาใช้เวลาการ หมัก 9-18 เดือน แต่ถ้าใช้เวลาการหมักนานเกินไปจะก่อให้เกิดความเสียหายต่อผลิตภัณฑ์ เช่น เกิด สารประเภทเอมีนซึ่งเป็นสารพิษ ส่วนกะปิจะใช้เวลาหมัก 4-6 เดือน จึงจะได้กะปิคุณภาพดี (Chaveesuk และ คณะ, 1993; Lopetcharat และ คณะ, 2001; Tanasupawat และ Komagata, 1995) ดังนั้นจึงมีการศึกษาการลดระยะเวลาการผลิตโดยการใส่เอนไซม์ การใช้กรด แต่ยังไม่มียวิธีใดที่ นำไปใช้ในระดับอุตสาหกรรม (Chaiyanan และ คณะ, 1988) ขณะเดียวกันมีรายงานเกี่ยวกับ แบคทีเรียทนเค็มที่แยกจากปลาหมักมีจำนวนน้อย (สาโรช, 2531; ศิริเพ็ญ, 2533; Chaiyanan และ

คณะ, 1999; Thongthai และ คณะ, 1992) ส่วนการศึกษาเอนไซม์โปรติเอสจากแบคทีเรียชอบเค็มที่แยกได้จากปลาหมักยังมีไม่รายงาน ส่งผลให้ไม่มีการนำเอนไซม์โปรติเอสจากแบคทีเรียชอบเค็มมาศึกษาเพื่อนำมาใช้ในอุตสาหกรรมการผลิตน้ำปลา หรือ อื่นๆ ดังนั้นวิทยานิพนธ์นี้จึงมุ่งเน้นที่การจัดจำแนกเชื้อแบคทีเรียชอบเค็ม เพื่อเป็นองค์ความรู้พื้นฐานของแบคทีเรียชอบเค็มในน้ำปลาและปลาหมักชนิดอื่นๆ รวมทั้งการคัดเลือกหาแบคทีเรียชอบเค็มที่สามารถผลิตเอนไซม์โปรติเอสในปริมาณสูง การทำให้โปรติเอสบริสุทธิ์ ตลอดจนการศึกษาลักษณะและคุณสมบัติของเอนไซม์

2.1. ปลาหมัก (Fermented fish)

ประเทศไทยมีการถนอมอาหารจำพวกสัตว์น้ำ เช่น ปลากระดัก ปลาไส้ตัน และ กุ้ง โดยใช้เกลือซึ่งเป็นวิธีที่ได้รับความนิยม เนื่องจากสะดวก ราคาไม่แพง และไม่ต้องใช้เทคนิคที่ซับซ้อน ส่งผลให้อาหารหมักมีบทบาทสำคัญต่อวิถีชีวิตของคนไทย (Chaveesuk และ คณะ, 1993; Lopetcharat และ คณะ, 2001; Phithakpol และ คณะ, 1995; Tanasupawat และ Komagata, 1995)

น้ำปลาเป็นผลิตภัณฑ์ปลาหมัก ซึ่งใช้เป็นเครื่องปรุงที่รู้จักกันมานานแล้ว โดยทั่วไปแล้วผลิตภัณฑ์มากในแถบเอเชีย แต่พบว่ามีความแตกต่างกันไปในแต่ละประเทศ เช่น ไทย (น้ำปลา) มาเลเซีย (บูคู) อินโดนีเซีย (Ketjab-ikan) เวียดนาม และกัมพูชา (nouc-mam) ญี่ปุ่น (อิชิรุ) จีน (ยี่สุ) และเกาหลี (aekjeot) น้ำปลาจัดเป็นผลิตภัณฑ์ปลาหมักที่มีความสำคัญมากที่สุด ในจำนวนผลิตภัณฑ์สัตว์น้ำทั้งหมด ในแต่ละปีมีการผลิตระดับอุตสาหกรรมในปริมาณสูง นอกจากจะผลิตเพื่อบริโภคแล้ว ยังมีการส่งไปจำหน่ายยังต่างประเทศ น้ำปลาเป็นของเหลวใส สีน้ำตาล มีรสชาติเค็มเนื่องจากเกิดการย่อยสลายโปรตีนในตัวปลาเช่น ปลาไส้ตัน (*Corica sorborna*, *Stolephorus indicus*, *Stolephorus commersonii*) ปลากระดัก (*Clupeoides* sp.), *Corinal argentius*, *Trissocles setirostris*, *Crossocheilus* sp., *Cirrhinus* sp. และ *Labiobarbus* sp. กับเกลือ ในอัตราส่วน 2:1 ถึง 6:1 ขึ้นอยู่กับแต่ละประเทศ โดยใช้เวลา 6-18 เดือน ในสภาวะการหมักแบบ anaerobic หรือ facultative น้ำปลาที่ได้จะมีไนโตรเจนประมาณ 20 มิลลิกรัมต่อลิตร ประมาณ 80% จะอยู่ในรูปของกรดอะมิโนซึ่งเป็นแหล่งโปรตีนที่สำคัญ หลังจากนั้นจะนำส่วนที่เป็นของเหลวไปตกตะกอนเป็นระยะเวลา 2-12 สัปดาห์ จะทำให้ได้น้ำปลาเกรดเอ หรือเกรดที่ 1 ขั้นตอนการผลิตน้ำปลาแสดงในภาพที่ 2.1 ส่วนกากปลาที่เหลือจากการผลิตน้ำปลาเกรด 1 จะนำมาใช้ผลิตน้ำปลาเกรดต่ำ โดยการเติมน้ำเกลือ การแต่งสีและเติมสารที่ไม่เป็นอันตรายต่อผู้บริโภคเพื่อเพิ่มสี รส และคุณภาพของน้ำปลาเกรดต่ำ

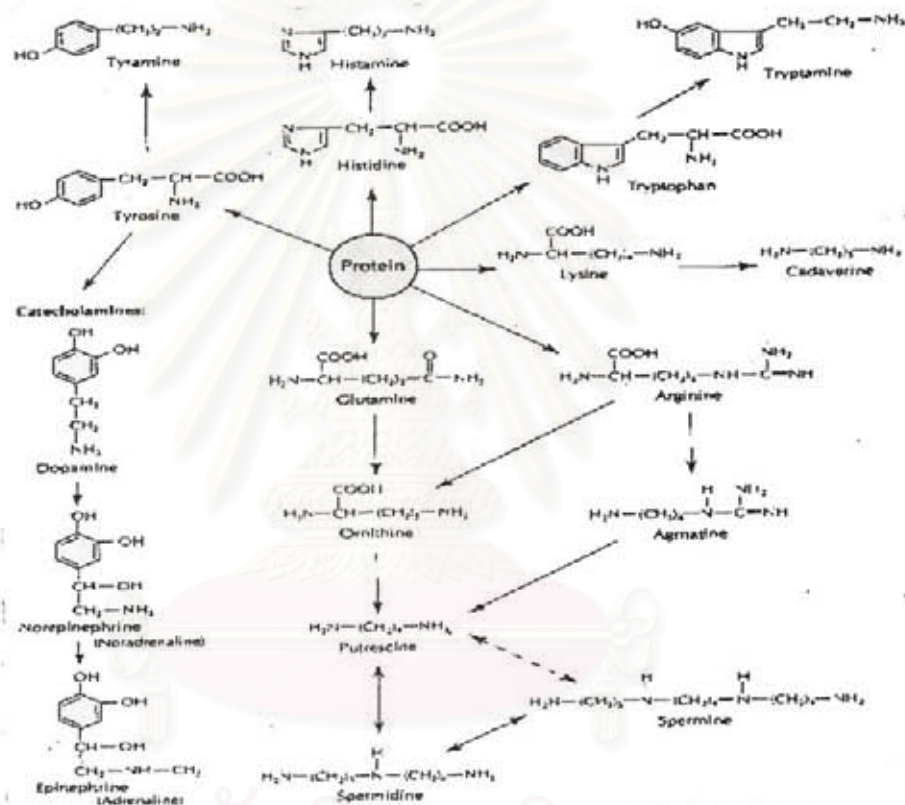
น้ำปลาที่ได้มีลักษณะพิเศษเฉพาะตัว เนื่องจากเกิดการเปลี่ยนแปลงทางกายภาพ ทางเคมี และจุลินทรีย์ระหว่างการผลิต เช่น กลิ่นของน้ำปลาเกิดจากการย่อยโปรตีนโดยเอนไซม์โปรติเอสจากตัวปลา และจากแบคทีเรีย ทำให้ได้เป็นเปปไทด์ และอาจถูกย่อยต่อไปอีกเป็น เอมีน คีโตแอซิด แอมโมเนีย และ คาร์บอนไดออกไซด์ ส่วนพวกไขมันจะถูกย่อยโดยเอนไซม์ทำให้เกิดกรดไขมัน ทั้งที่ระเหยได้และระเหยไม่ได้ รวมทั้งสารพวกกลีโคไลต์และอัลคิลไฮโดรไลต์ รสของน้ำปลาพบว่า

ประกอบด้วยกรดอะมิโนหลายชนิด ซึ่งต่างก็มีรสเฉพาะตัว ที่พบมีเกือบทุกระยะของการหมัก ได้แก่ aspartic acid, lysine, glutamic acid, glycine, histidine, leucine และ isoleucine สีของน้ำปลา จะเปลี่ยนจากสีเหลืองอ่อนๆ ไปเป็นสีน้ำตาลแดง เมื่อระยะเวลาการหมักนานขึ้น ปฏิกิริยาการเกิดสีน้ำตาล คือ Maillard reactions จากปฏิกิริยาของ carbonyl group ของน้ำตาล เช่น น้ำตาล ribose กับ amino group หรือสารประกอบ amine จากปฏิกิริยาการย่อยสลายโปรตีน



ภาพที่ 2.1 ขั้นตอนการผลิตน้ำปลา

นอกจากปริมาณของไนโตรเจนในน้ำปลาแล้ว ดัชนีแสดงคุณภาพของน้ำปลา คือ ปริมาณ histamine จัดเป็นสารประกอบเอมีนเกิดจากกระบวนการเปลี่ยนแปลงทางชีวเคมีของกรดอะมิโน และอนุพันธ์ของกรดอะมิโนนั้นๆ โดยการเกิดปฏิกิริยา decarboxylation ซึ่งสามารถพบได้ทั้งในพืช สัตว์ และจุลินทรีย์ กลไกการเกิดสารประกอบเอมีนในอาหาร เริ่มจากโปรตีนเกิดการสลายตัว (proteolysis) เป็นกรดอะมิโนอิสระ จากนั้นเกิดปฏิกิริยา decarboxylation โดยเอนไซม์ decarboxylase จากจุลินทรีย์ที่มีในอาหาร ได้เป็นสารประกอบเอมีนชนิดต่างๆ ดังภาพที่ 2.2



ภาพที่ 2.2 แสดงการเกิดสารประกอบเอมีน

ปกติแล้วการรับประทานอาหารที่มีสารประกอบเอมีนจะไม่เกิดอันตราย ยกเว้นกรณีบุคคลที่เป็นโรคเกี่ยวกับความดันเลือดผิดปกติ หรือ ปริมาณสารประกอบเอมีนปริมาณสูง ทำให้ผู้บริโภคเกิดความคิดปกติ ได้แก่ จะมีผื่นแดงเกิดขึ้นในช่องปาก (burning sensation) ปวดศีรษะ ท้องร่วง คลื่นไส้ อาเจียน หัวใจเต้นแรงและเร็ว อาการเหล่านี้จะเกิดขึ้นในระยะเวลา 2-3 ชั่วโมง โดยการอาการแพ้จะมากหรือน้อยขึ้นอยู่กับความต้านทานที่แตกต่างกันของร่างกายผู้บริโภค โดยปกติแล้วปริมาณสารประกอบเอมีนที่ยอมรับให้มีได้ของ Histamine ที่ 100 มิลลิกรัม/ กิโลกรัมอาหาร

ส่วน Tyramine ขอมรับที่ 100 – 800 มิลลิกรัม/ กิโลกรัมอาหาร และ Phenylethylamine ขอมรับที่ 30 มิลลิกรัม/ กิโลกรัมอาหาร (Brink และ Damirik, 1990)

ปลาร้าจัดเป็นปลาหมัก มีสีน้ำตาลเหลืองถึงสีดำ ขึ้นอยู่กับปลาที่นำมาใช้ผลิต มีรสเค็ม มีกลิ่นและลักษณะเฉพาะ ซึ่งสามารถนำมาปรุงเป็นอาหารได้หลายชนิด ตัวอย่างปลาน้ำจืดที่นำมาใช้ทำปลาร้า เช่น ปลากระดี่ (*Trichogaster* sp.) ปลาตะเพียน (*Puntius gonionotus*) ปลาสร้อย (*Crossocheilus* sp.; *Labiobarbus lepocheilus*) และปลาช่อน (*Channa Striatus*)

กะปิ จะมีสีเข้มจนเกือบดำ และมีกลิ่นค่อนข้างแรง โดยพบว่าสีของกะปิขึ้นอยู่กับวัตถุดิบที่นำมาใช้ ได้แก่ เกล็ดแดง (*Acetes erythraeus*) เกล็ดดำ (*Mesopodopsis orientalis*) และ ปลาน้ำเค็ม (saltwater fish) เช่น กะปิที่ทำจากเกล็ดดำจะมีสีม่วง และพบว่าปริมาณเกลือที่ใช้มีผลต่อระยะเวลาการเก็บกะปิ เมื่อใช้เกลือ (NaCl) $20 \pm 5\%$ จะสามารถเก็บกะปิไว้ได้ประมาณ 12 เดือน แต่เมื่อใช้เกลือ (NaCl) $30 \pm 5\%$ จะสามารถเก็บกะปิไว้ได้ประมาณ 14-16 เดือน แต่ไม่ควรเกิน 18 เดือน เพราะกลิ่นของกะปิจะค่อยๆลดลงไป

เนื่องจากน้ำปลา ปลาร้า และกะปิ จัดเป็นปลาหมักที่มีความสำคัญ และใช้เกลือในถนอมอาหาร ซึ่งสภาวะดังกล่าวนี้เหมาะสมกับการเจริญของแบคทีเรียชอบเค็ม (halophilic bacteria) จึงทำให้มีงานวิจัยเกี่ยวกับเชื้อแบคทีเรียชอบเค็มจากอาหารดังกล่าว ได้แก่ *Halobacterium salinarum*, *Halococcus* sp., *Halobacillus thailandensis*, *Tetragenococcus halophilus*, *T. muriaticus*, *Bacillus* sp., *Bacillus subtilis*, *B. licheniformi*, *B. spaericus*, *Pediococcus* sp., *Pediococcus halophilus*, *Staphylococcus* sp., *S. piscifermentans*, *Styphylococcus epidermidis*, *Sarcina* sp., *Micrococcus* sp., และ *Lactobacillus* sp. โดยเฉพาะ *Bacillus* sp., *Halobacterium salinarum* และ *Halobacillus thailandensis* สามารถสร้างเอนไซม์โปรติเอสได้ (Chaiyanan และ คณะ, 1999; Lopetcharat และ คณะ, 2001; Thongthai และ คณะ, 1992; Thongsanit และ คณะ, 2002)

2.2 การจัดจำแนกแบคทีเรียชอบเค็ม (Holt และ คณะ, 1994; Ventosa และ Nieto, 1995; Ventosa และ คณะ., 1998; Vreeland และ Hochstein, 1993) จัดได้เป็น 2 กลุ่ม ตามความเข้มข้นของเกลือที่แบคทีเรียชอบเค็มเจริญได้ดีที่สุด

2.2.1 แบคทีเรียชอบเค็มสูง (extremely halophilic bacteria) แบคทีเรียกลุ่มนี้ถูกค้นพบตั้งแต่ปี 1980 เนื่องจากเกิดขึ้นที่ที่มีสีแดงเป็นบริเวณกว้าง โดยเฉพาะบริเวณที่มีความเข้มข้นของเกลือสูงเนื่องจากเกิดการระเหยของน้ำ เช่น Great Salt lake, Utah, the Dead Sea , Wadi Natrun, Egypt และ Magadi, Kenya และยังสามารถพบแบคทีเรียที่สร้างสารสีแดงในปลาและเครื่องหนังที่เก็บรักษาโดยการเค็มเกลือเพื่อป้องกันการทำลายของจุลินทรีย์ชนิดอื่นๆ แบคทีเรียกลุ่มนี้เจริญได้ในสิ่งแวดล้อมที่มีเกลือความเข้มข้นอย่างน้อย 15% จนถึงความเข้มข้นของเกลืออิ่มตัว (saturated NaCl) และความเข้มข้นของเกลือที่เหมาะสมประมาณ 20-25% แต่ไม่สามารถเจริญในสิ่งแวดล้อม

ที่ไม่มีเกลือ แบคทีเรียกลุ่มนี้มีทั้งรูปร่างกลม แท่ง และไม่แน่นอน แบคทีเรียชอบเค็มสูงสามารถเคลื่อนที่ได้โดยใช้แฟลกเจลลา และไม่เคลื่อนที่ เมื่อข้อมแกรมพบว่ากลุ่มที่มีรูปร่างแท่งจะข้อมคิดแกรมลบ เซลล์จะแตกหรือเปลี่ยนเป็นลักษณะกลม เมื่อนำไปทำเป็น suspension ในน้ำ ส่วนที่มีรูปร่างกลมจะข้อมคิดทั้งแกรมบวกและแกรมลบ (variable) โคโลนีของแบคทีเรียชอบเค็มสูงมีสีแดงเนื่องจากมีการสร้าง carotenoid เพื่อทำหน้าที่ป้องกันอันตรายจากแสงแดด จึงมักพบแบคทีเรียชอบเค็มสูงในบริเวณที่มีแสงแดด โดยแสงแดดจะทำให้เกิดการระเหยของน้ำทำให้ความเข้มข้นของเกลือเพิ่มสูงมากจนเกือบอิ่มตัว ในบางครั้งมีการสร้าง gas vacuoles ทำให้โคโลนีมีสีชมพูหรือสีขาว เชื้อในกลุ่มนี้ส่วนใหญ่สร้าง phosphatidyl glycerol (PG) phosphatidyl glycerol phosphate (PGP) ซึ่งประกอบด้วยส่วนที่เรียกว่า hydrocarbon หรือ glycerol ether core (diphytanyl, $C_{20}C_{20}$; หรือ phytanyl sesterterpanyl, $C_{20}C_{25}$), glycerol และ phosphate (เฉพาะ PGP) ตัวอย่างสกุลของแบคทีเรียที่ชอบเกลือสูง เช่น *Halobacterium*, *Haloferax*, *Haloarcula*, *Halococcus*, *Natronobacterium*, *Natronococcus*, *Halorubrum*, *Halogeometricum*, *Haloterrigena*, *Halobaculum*, *Halorhadius*, *Natrialba*, *Natrinema*, *Natronomanas*, *Natronorubum*, *Methanohalobium*, *Acetohalobium*, *Actinopolyspora* และ *Ectothiorhodospira* โดยที่แบคทีเรียชอบเค็มสูงแต่ละสกุลจะมีลักษณะพิเศษที่แตกต่างกัน และลักษณะที่แตกต่างของตัวอย่างแบคทีเรียชอบเค็มสูง 6 สกุล คือ *Halobacterium*, *Haloferax*, *Haloarcula*, *Halococcus*, *Natronobacterium* และ *Natronococcus* ดังในตารางที่ 2.1 และยังพบว่าแบคทีเรียชอบเค็มสูงหลายชนิดมีความสามารถย่อยสลายสารโมเลกุลใหญ่ เนื่องจากสามารถสร้างเอนไซม์ในกลุ่ม hydrolytic enzyme เช่น DNAase, lipase, amylase, gelatinase และ protease

2.2.2 แบคทีเรียชอบเค็มปานกลาง (moderate halophilic bacteria) การศึกษาลักษณะทางการกายภาพและนิเวศวิทยาของแบคทีเรียชอบเค็มปานกลางยังมีไม่มากเมื่อเปรียบเทียบกับแบคทีเรียชอบเค็มสูง แบคทีเรียกลุ่มนี้ส่วนใหญ่เจริญในสภาพแวดล้อมที่มีเกลือ เช่น saline food, hypersaline lakes, salterns, desertic, salted food, salted pond และ hypersaline soils ซึ่งมีความเข้มข้นของเกลือมากกว่าในทะเล ส่งผลให้แบคทีเรียชอบเค็มปานกลางสามารถเจริญได้ในความเข้มข้นของเกลือที่กว้างประมาณ 3-30% และความเข้มข้นของเกลือที่เหมาะสมต่อการเจริญประมาณ 3-15% นอกจากแบคทีเรียชอบเค็มปานกลางจะไม่สามารถเจริญในสภาพแวดล้อมที่ไม่มีเกลือเช่นเดียวกับแบคทีเรียชอบเค็มสูง และยังพบว่าเซลล์จะหดสั้นหรือมีขนาดเล็กลงที่ความเข้มข้นของเกลือต่ำ ตัวอย่างของแบคทีเรียชอบเค็มปานกลางได้แก่ archaea bacteria พวก *Methanohalophilus*, *Halomethanococcus* แบคทีเรียแกรมลบในสกุล *Arhodomonas*, *Chromohalobacter*, *Deleya*, *Dichotomicrobium*, *Flavobacterium*, *Haloanaerobium*, *Halobacteroides*, *Haloicola*, *Halomonas*, *Halovibrio*, *Paracoccus*, *Pseudomonas*, *Spirochaeta*, *Sporohalobacter*, *Vibrio*, *Volcaniella*

ตารางที่ 2.1 ลักษณะที่แตกต่างกันของสกุล *Halobacterium*, *Haloferax*, *Haloarcula*,

Halococcus, *Natronobacterium* และ *Natronococcus*

Characteristics	<i>Haloarcula</i>	<i>Halobacterium</i>	<i>Halococcus</i>	<i>Haloferax</i>	<i>Natronobacterium</i>	<i>Natronococcus</i>
Cell shape	Irregular rods, triangle, rectangles	Irregular rods	Cocci	Irregular rods, disks	Irregular rods	Cocci
Cell dimension (μm)	0.3-4X0.5-5	0.5-1.2X1-6	0.5-1.5	0.4-3X0.6-3	0.5-1X2-15	1-2
Motile	Variable	+	-	Variable	Variable	-
pH range for growth	5.0-8.0	5.0-8.0	5.0-8.0	5.0-8.0	8.5-11	8.5-11
Carbohydrates used as carbon and energy sources	+	-	Variable	+	Variable	-
Glycerol ether core lipid(s)	$\text{C}_{20}\text{C}_{20}$	$\text{C}_{20}\text{C}_{20}$	$\text{C}_{20}\text{C}_{20}$, $\text{C}_{20}\text{C}_{25}$	$\text{C}_{20}\text{C}_{20}$	$\text{C}_{20}\text{C}_{20}$, $\text{C}_{20}\text{C}_{25}$	$\text{C}_{20}\text{C}_{20}$
PGS present	+	+	-	-	-	-
Glycolipid(s) present	TGD-2	S-TGD-1, S-TeGD	S-DGD-1	S-DGD-1	-	-

* PGS, Phosphatidyl glycerol sulfate; TGD-2, glucosyl mannosyl glucosyl glycolipid;

S-TGD-1, sulfated galactosyl mannosyl glucosylglycolipid; S-TeGD, Sulfated digalactosyl mannosyl glucosyl glycolipid; S-DGD-1, sulfated mannosyl glucosyl glycolipid

แบคทีเรียแกรมบวกสกุล *Halobacillus*, *Bacillus*, *Clostridium*, *Marinococcus*, *Micrococcus*, *Salinicoccus*, *Salibacillus*, *Lentibacillus*, *Virgibacillus*, *Gracilibacillus* และ *Sporosarcina* และยังพบเชื้อชนิดที่เจริญได้ทั้งมีอากาศและไม่มีอากาศ (facultative anaerobe) เช่น *Flavobacterium salegens* และ *Arhodomonas aquaeolei* แอคติโนมัยสิทสกุล *Actinopolyspora* แบคทีเรียรีดิวส์ซัลเฟตสกุล *Desulfohalobium* และ *Desulfovibrio* แบคทีเรียสังเคราะห์แสง (phototroph) สกุล *Rhodospirillum*, *Ectothioshodospira*, *Chromatium* และ *Thiocapsa* โดยที่แบคทีเรียชอบเค็มปานกลางแต่ละสกุลจะมีลักษณะพิเศษที่แตกต่างกัน เช่น *Halobacillus*, *Halomonas*, *Bacillus*, *Salibacillus*, *Virgibacillus* และ *Lentibacillus* ดังแสดงไว้ในตารางที่ 2.2

ตารางที่ 2.2 ลักษณะที่แตกต่างกันของสกุล *Halobacillus*, *Halomonas*, *Bacillus*, *Salibacillus*, *Virgibacillus* และ *Lentibacillus*

Characteristics	<i>Halobacillus</i>	<i>Halomonas</i>	<i>Bacillus</i> (<i>B. halophilus</i>)	<i>Salibacillus</i>	<i>Virgibacillus</i>	<i>Lentibacillus</i>
Morphology	Rods	Rods	Rods	Rods	Rods	Rods
Pigmentation	Orange	None	None	None	Greyist white	None
NaCl range (%)	3-25	3.5-20	3-30	5-25	3-15	2-23
Temp (°C)	10-43	15-45	15-50	15-45	50	40
Acid production						
Arabinose	Variable	-	-	No data	+	No data
Glucose	+	+	+	+	+	-
Mannitol	-	-	-	+	-	+
Xylose	No data	-	-	-	+	No data
Hydrolysis of						
Casein	Variable	-	-	+	+	-
Tween 80	-	-	No data	-	No data	+
G+C content (mol%)	42	60.5	51.5	36.3-39.5	37	42
Cell wall type	Om-D-Asp	No data	MK-7	MK-7	MK-7	MK-7

2.3. เอนไซม์โปรติเอส (protease)

โปรติเอสเป็นกลุ่มของเอนไซม์ที่มีความสามารถในการตัดพันธะเปปไทด์ของโปรตีน คำว่า protease เหมือนกับ peptidase ซึ่งประกอบด้วย endopeptidase (proteinase) และ exopeptidase ทำให้โปรตีนเกิดการเปลี่ยนแปลงโครงสร้างและขนาดโมเลกุล การเปลี่ยนแปลงที่เกิดขึ้นมีผลทำให้โปรตีนแสดงคุณสมบัติแตกต่างไปจากเดิม เช่น ความสามารถในการละลาย ความสามารถในการจับกับน้ำ ความสามารถในการทำปฏิกิริยากับสารอื่นๆ ความสามารถในการเกิดเจล การเกิดโฟม ซึ่งรวมๆ กันแล้วมีผลโดยตรงต่อลักษณะปรากฏของอาหารทั้ง กลิ่น รส สี และลักษณะเนื้อสัมผัส การย่อยสลายโปรตีนมีบทบาทสำคัญต่อการเกิดกระบวนการหมักของอาหารหมักหลายๆ ชนิด ทั้งจากเนื้อสัตว์และธัญพืช ตัวอย่างอาหารหมักที่เกิดจากการย่อยสลายของโปรตีน ที่สำคัญ ได้แก่ บูด กะปิ น้ำปลา ปลาร้า ซีอิ๊ว และ ถั่วเน่า การย่อยสลายของโปรตีนเกิดได้โดยเอนไซม์ที่มีอยู่ในเนื้อหรือวัตถุดิบเริ่มต้นและจากเชื้อจุลินทรีย์ที่ผลิตเอนไซม์โปรติเอส การย่อยสลายของโปรตีนทำให้เกิดเปปไทด์และกรดอะมิโนชนิดต่างๆ ซึ่งมีผลต่อรสชาติของอาหารหมักและเป็นสารตั้งต้นที่สามารถทำปฏิกิริยากับองค์ประกอบอื่นๆ ในอาหาร เช่น น้ำตาล ไขมัน เกิดเป็นสารใหม่ที่มีกลิ่น สี และลักษณะเฉพาะตัว

เนื่องจากแบคทีเรียชอบเค็มมีความสามารถในการทนเกลือมากกว่าจุลินทรีย์ชนิดอื่นๆ แบคทีเรียชอบเค็มกลุ่มนี้ จึงน่าจะมีความสำคัญในอาหารหมักที่มีเกลือสูง เช่น น้ำปลา ปลา ร้า กะปิ และบูดู ซึ่งอาจจะเกี่ยวข้องกับการย่อยสลายโปรตีนและการสร้างสารให้กลิ่นรสที่เป็นลักษณะเฉพาะตัว Kim and Dordick (1997) ได้ศึกษาโปรติเอสของเชื้อ *Halobacterium halobium* Chaiyanan และ คณะ (1999) รายงานการค้นพบ *Halobacillus thailandensis* sp. nov. ซึ่งเป็นแบคทีเรียชอบเค็มชนิดใหม่ที่แยกได้จากน้ำปลา ซึ่งมีลักษณะแตกต่างจากเชื้อสายพันธุ์อื่นๆ รวมทั้งความสามารถในการย่อยสลายโปรตีน

นอกจากนี้ยังมีรายงานเกี่ยวกับเอนไซม์โปรติเอส (extracellular protease) ที่ผลิตจากเชื้อแบคทีเรียชอบเค็มสูง และปานกลาง ที่ไม่ได้แยกจากปลาหมัก เช่น น้ำปลา บูดู ปลา ร้า และ กะปิ ในประเทศไทย แต่แยกได้จากสิ่งแวดล้อมที่มีเกลือเป็นองค์ประกอบ ดังต่อไปนี้

2.3.1. เอนไซม์โปรติเอสที่ผลิตจากแบคทีเรียชอบเค็มสูง การผลิตเกิดขึ้นในช่วง exponential phase เช่นการผลิต serine protease จากเชื้อ *Natrialba magadii* (เดิมคือ *Natronobacterium magadii*; haloalkaliphilic archaeobacteria) *Natronococcus occultus* NCMIB 2129 ซึ่งเป็น haloalkaliphilic bacteria *Halobacterium mediterranei* 1538, Halophilic archaeobacterium 172P1, *Halobacterium halobium* ATCC 43214 และ *Halobacterium* sp. strain TuTA (Gimenez และ คณะ, 2000; Kamekura และ Seno, 1993; Ryu และ คณะ, 1994; Schmitt และ คณะ, 1990; Stepanov และ คณะ, 1992; Studdert และ คณะ, 1997) คุณสมบัติของเอนไซม์โปรติเอสจากแบคทีเรียทนเค็มสูง แสดงในตารางที่ 2.3

2.3.2. เอนไซม์โปรติเอสที่ผลิตจากแบคทีเรียชอบเค็มปานกลาง ปัจจุบันยังมีการศึกษาไม่มาก พบว่ามีเพียงการรายงานจาก *Pseudomonas* sp. strain CP76 ที่แยกจากน้ำ และ ตะกอนจาก solar salterns และ hypersaline soils ในประเทศสเปน เพียงสายพันธุ์เดียว ซึ่งสามารถผลิต protease CPI (Mw = 38 kDa) โดยเชื้อผลิตเอนไซม์นี้ได้มากสุดในช่วงปลายของ exponential phase และแสดง optimal activity ที่ 55 °C พีเอช 8.5 และความเข้มข้นของเกลือที่ 7.5% (Sanchez-Porol และ คณะ, 2003)

2.4 ชนิดของเอนไซม์โปรติเอส

โปรติเอสเป็นเอนไซม์ที่ย่อยสลายพันธะเปปไทด์ในโปรตีน โปรติเอสเป็นเอนไซม์ที่กลุ่มที่มีการซื้อขายมากถึง 60 % เนื่องจากโปรติเอสเป็นเอนไซม์เร่งปฏิกิริยาสำหรับการดำรงชีวิต จึงมีความหลากหลายและผลิตโดยสิ่งมีชีวิตทุกชนิด เช่น พืช สัตว์ และจุลินทรีย์ โปรติเอสจากพืชที่เป็นที่รู้จักกันดี คือ papain โปรติเอสจากสัตว์ส่วนใหญ่ผลิตจากตับอ่อน เช่น trypsin, chymotrypsin, pepsin และ rennin โปรติเอสจากจุลินทรีย์ ผลิตได้จากแบคทีเรีย รา แต่ส่วนใหญ่โปรติเอสที่ใช้ในอุตสาหกรรมจะได้จากแบคทีเรีย และเป็น neutral protease ซึ่งเร่งปฏิกิริยาได้ดีในช่วงพีเอช 5-8 และ alkaline protease ที่เร่งปฏิกิริยาได้ดีในช่วงพีเอช 10 ซึ่งเหมาะกับอุตสาหกรรมซักฟอก โปรติ

เอนไซม์จัดอยู่ใน subgroup ที่ 4 ของเอนไซม์กลุ่มที่ 3 คือ กลุ่ม Hydrolase โดย Nomenclature Committee of the International Union of Biochemistry and Molecular Biology

ตารางที่ 2.3 คุณสมบัติของเอนไซม์โปรติเอสจากแบคทีเรียชอบเค็มสูง

Extremely halophile	Native molecular mass (kDa)	Optimal condition			Inhibitor
		NaCl	pH	Temperature (°C)	
<i>Natrialba magadii</i>	45	1.5 M	8-10	60	DFP,PMSF, chymostatin
Halophilic archaeobacterium 172P1	42-46	-	10.7	75	-
<i>Halobacterium mediterranei</i> 1538	41	4.5M	8-8.5	55	-
<i>Halobacterium halobium</i> ATCC 43214	66	4M	10	-	DMF
<i>Natronococcus occultus</i> NCMIB 2129	45	1-2M	-	-	DFP,PMSF, chymotrypsin
<i>Halobacterium</i> sp. strain TuTA	60	-	-	-	PMSF, DFP, leupeptin

เอนไซม์ที่ย่อยโปรตีน (proteolytic enzyme) เกี่ยวข้องกับกระบวนการทางสรีรวิทยามากมาย สามารถทำงานด้วยกลไกการย่อย 2 แบบคือ

-การย่อยแบบจำกัด (limited proteolysis) เป็นการย่อยพันธะเปปไทด์ของโปรตีนเป้าหมายจำนวนหนึ่งหรือจำนวนจำกัด เพื่อ activate หรือเปลี่ยนแปลงโปรตีนที่อยู่ในรูป inactivate เช่น การเปลี่ยน พรีฮอว์โมนเป็นฮอว์โมน

-การย่อยแบบไม่จำกัด (unlimited proteolysis) เป็นการย่อยโปรตีนเป็นกรดอะมิโน โดยโปรตีนที่ถูกย่อยมัก conjugate กันก่อนเป็น multiple molecule ของ polypeptide ubiquitin ทำให้ย่อยได้เร็วในที่มี ATP อีกแนวทางประกอบด้วย compartmentation ของ โปรติเอส เช่น lysozymes โปรตีนที่อยู่ในรูป compartment จะถูกย่อยได้เร็ว

Beynon และ Bond (1990) และ Barrett (1994) แบ่งโปรติเอสตามกลไกการเร่งปฏิกิริยา คือ

1. Serine protease เป็นเอนไซม์ที่มี serine ตรงตำแหน่ง active site มีการตัดพันธะเปปไทด์ทั้งแบบ exopeptidase และ endopeptidase บริเวณ catalytic site ประกอบด้วย Serine (nucleophile), Histidine และ Aspartate (electrophile) เร่งปฏิกิริยาได้ดีที่พีเอช 7.0-11.0 มี Isoelectric point อยู่ระหว่างพีเอช 4.0-6.0 และมีความจำเพาะกว้างต่อซับสเตรต มีมวลโมเลกุล 18-35 kDa ยกเว้น serine protease จาก *Blakeslea trispora* มีมวลโมเลกุล 126 kDa Serine protease สามารถถูกยับยั้งแบบ reversible โดย 3,4-dichloro isocoumarin (3,4-DCI), L-3-Carboxytrans-2,3-

epoxypropyl-leucylamido(4-guanidine) (E-64), diisopropylfluoro phosphate (DFP) phenylmethylsulfonyl fluoride (PMSF) และ tosyl-L-lysine chloromethyl ketone (TLCK) Serine protease บางชนิดถูกยับยั้งโดย thiol reagents เช่น p-chloromercuribenzoate (PCMB)

2. Aspartic protease (acidic protease) ส่วนใหญ่ผลิตจาก ยีสต์ และรา พบน้อยมากในแบคทีเรีย ตัดพันธะเปปไทด์แบบ endopeptidase มี Aspartic residue ที่บริเวณเร่งปฏิกิริยา ซึ่งประกอบด้วย Aspartate, Xaa และ Glycine (Xaa อาจเป็น Serine หรือ Threonine) เร่งปฏิกิริยาได้ดีที่พีเอช 3.0-4.0 มีมวลโมเลกุล 30-45 kDa ถูกยับยั้งการเร่งปฏิกิริยาโดย pepstatin, diazo acetyl-DL-norleucine methyl ester (DAN) และ 1,2 epoxy-3-(p-nitrophenoxy) propane (EPNP) แบ่งเป็น 2 กลุ่ม คือ Pepsin-like enzyme ผลิตโดย *Aspergillus* spp. และ *Penicillium* spp. ส่วน Rennin-like enzymes ผลิตโดย *Endothia* spp. และ *Mucor* spp.

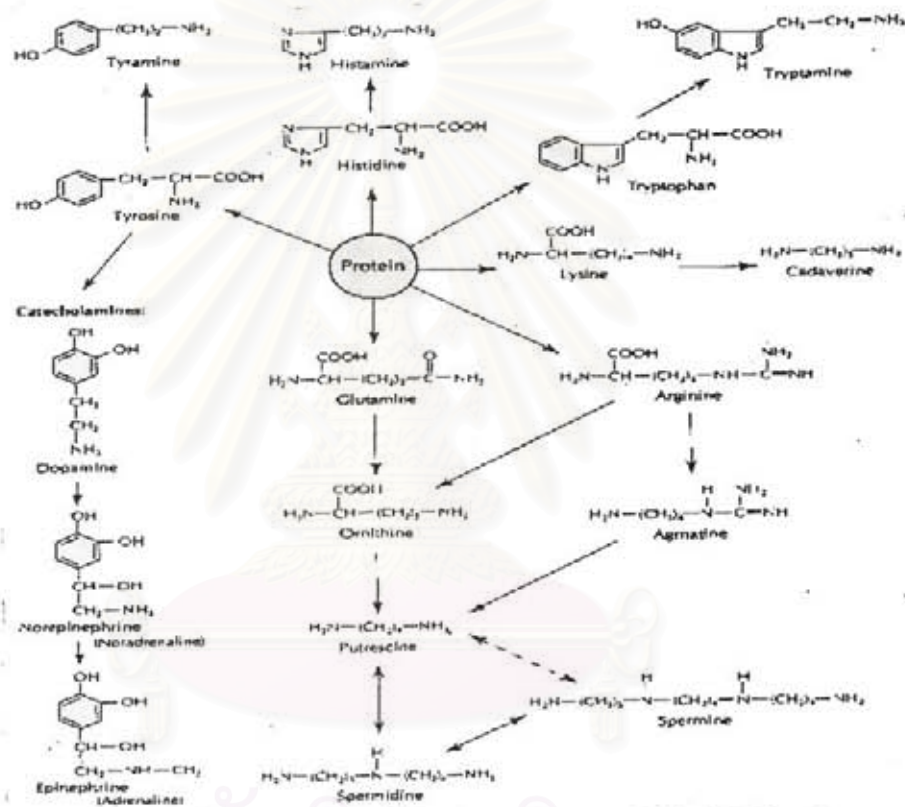
3. Cysteine/Thiol protease ที่ catalytic size ประกอบด้วย Cysteine 25, Histidine 159 และ Asparagine 175 พีเอชที่เหมาะสมคือสภาวะที่เป็นกลาง มีการเร่งปฏิกิริยาบ้างเล็กน้อยที่พีเอชต่ำ การเร่งปฏิกิริยาถูกยับยั้งได้โดย thiol group เช่น PCMB แต่ไม่ถูกยับยั้งโดย DFP หรือ metal chelating reagents

4. Metalloprotease เป็นโปรติเอสที่มีลักษณะจำเพาะ คือต้องการ divalent metal ions สำหรับเร่งปฏิกิริยา มีทั้งแบบ exopeptidase และ endopeptidase เช่น Thermolysin จาก *Bacillus stearothermophilus* ซึ่งเป็น neutral protease ที่เป็นเปปไทด์สายเดี่ยวไม่มี disulfide bridge มีมวลโมเลกุล 34 kDa ประกอบด้วย Zn^{++} อะตอมฝังในโครงสร้างพับตัวของโปรตีน และมี Ca^{++} 4 อะตอม ซึ่งทำให้โปรติเอสชนิดนี้ทนความร้อน

คุณสมบัติของเอนไซม์โปรติเอสที่สามารถตัดพันธะเปปไทด์ทำให้เกิดเปปไทด์ขนาดสั้นๆ จึงนำเอนไซม์โปรติเอสไปประยุกต์ใช้ในระดับอุตสาหกรรม เช่น อุตสาหกรรมผลิตสารซักล้าง (detergent) อุตสาหกรรมอาหาร และอุตสาหกรรมเครื่องหนัง (Rao และ คณะ, 1998)

อุตสาหกรรมผลิตสารซักล้าง ใช้เอนไซม์โปรติเอส 25% ของเอนไซม์โปรติเอสทั้งหมดที่ขายในตลาด โดยสารซักล้างที่มีชื่อทางการค้า Burnus เป็นชนิดแรก (1913) ที่ผลิตโดยมีเอนไซม์โปรติเอสเป็นองค์ประกอบ (pancreatic extract) ในปี 1956 มีการใช้เอนไซม์โปรติเอสจากแบคทีเรียเป็นองค์ประกอบใช้ชื่อทางการค้า BIO-40 โดยพบว่าสารซักล้างที่ผลิตมากที่สุดคือ ผงซักฟอกผลิตมากถึง 13 ตันต่อปี ในปัจจุบันนี้เอนไซม์โปรติเอสที่ใช้สำหรับอุตสาหกรรมผลิตสารซักล้างคือ เอนไซม์โปรติเอสที่ผลิตจากแบคทีเรียสกุล *Bacillus* สำหรับอุตสาหกรรมเครื่องหนังในอดีตจะใช้โซเดียมซัลไฟด์ ซึ่งเป็นสารที่เป็นอันตรายและทำให้เกิดมลพิษ ในปัจจุบันนี้จะใช้เอนไซม์โปรติเอสเนื่องจากจะทำให้ได้เครื่องหนังที่คุณภาพดีกว่าใช้สารเคมีและไม่ทำให้เกิดสิ่งแวดล้อมเป็นพิษ สำหรับในอุตสาหกรรมอาหาร เช่นการผลิตเนยแข็ง ใช้เอนไซม์โปรติเอสในกลุ่ม acid aspartic protease จากทั้งสัตว์และจุลินทรีย์เพื่อตกตะกอนโปรตีนในนม นอกจากนี้ยังใช้ alkaline และ

นอกจากปริมาณของไนโตรเจนในน้ำปลาแล้ว ดัชนีแสดงคุณภาพของน้ำปลา คือ ปริมาณ histamine จัดเป็นสารประกอบเอมีนเกิดจากกระบวนการเปลี่ยนแปลงทางชีวเคมีของกรดอะมิโน และอนุพันธ์ของกรดอะมิโนนั้นๆ โดยการเกิดปฏิกิริยา decarboxylation ซึ่งสามารถพบได้ทั้งในพืช สัตว์ และจุลินทรีย์ กลไกการเกิดสารประกอบเอมีนในอาหาร เริ่มจากโปรตีนเกิดการสลายตัว (proteolysis) เป็นกรดอะมิโนอิสระ จากนั้นเกิดปฏิกิริยา decarboxylation โดยเอนไซม์ decarboxylase จากจุลินทรีย์ที่มีในอาหาร ได้เป็นสารประกอบเอมีนชนิดต่างๆ ดังภาพที่ 2.2



ภาพที่ 2.2 แสดงการเกิดสารประกอบเอมีน

ปกติแล้วการรับประทานอาหารที่มีสารประกอบเอมีนจะไม่เกิดอันตราย ยกเว้นกรณีบุคคลที่เป็นโรคเกี่ยวกับความดันเลือดผิดปกติ หรือ ปริมาณสารประกอบเอมีนปริมาณสูง ทำให้ผู้บริโภคเกิดความคิดปกติ ใต้แก้มจะมีผื่นแดงเกิดขึ้นในช่องปาก (burning sensation) ปวดศีรษะ ท้องร่วง คลื่นไส้ อาเจียน หัวใจเต้นแรงและเร็ว อาการเหล่านี้จะเกิดขึ้นในระยะเวลา 2-3 ชั่วโมง โดยการอาการแพ้จะมากหรือน้อยขึ้นอยู่กับความต้านทานที่แตกต่างกันของร่างกายผู้บริโภค โดยปกติแล้วปริมาณสารประกอบเอมีนที่ยอมรับให้มีได้ของ Histamine ที่ 100 มิลลิกรัม/ กิโลกรัมอาหาร

บทที่ 3

วิธีการวิจัย

3.1 แหล่งของเชื้อ การเก็บตัวอย่างและการแยกเชื้อ

การเก็บตัวอย่าง เก็บน้ำปลาจากบ่อหมักที่มีระยะเวลาการหมักที่แตกต่างกันจากโรงงานในจังหวัดสมุทรปราการ สมุทรสงครามและชลบุรี ประมาณ 110 ตัวอย่าง และเก็บตัวอย่างอาหารหมักที่เกลือสูงได้แก่ ปลาร้า และบูดจากตลาดสดในจังหวัดภาคกลาง ภาคตะวันออก ภาคตะวันออกเฉียงเหนือ และภาคใต้ ประมาณ 30 ตัวอย่าง

การแยกเชื้อและทำให้บริสุทธิ์ นำส่วนของเหลวจากตัวอย่างประมาณ 50-100 μ l หยดลงบนอาหาร Halobacterium agar (HA) ที่มีโซเดียมคลอไรด์ 25% แล้วเกลี่ยด้วยแท่งแก้วอยู่ที่ปราศจากเชื้อ (Spread plate technique) บ่มที่อุณหภูมิ 37°C นาน 7-14 วัน จากนั้นเลือกเชื้อที่มีลักษณะโคโลนีแตกต่างกันเป็นตัวแทนแต่ละตัวอย่างไปทำให้บริสุทธิ์โดยการ streak ลงบน HA หรืออาหารเหลว Halobacterium broth (HB) เพื่อนำไปศึกษาต่อไป

3.2. การคัดเลือกเชื้อที่สร้างเอนไซม์โปรทีเอสขั้นต้นและการพิสูจน์เอกลักษณ์

นำเชื้อที่แยกได้มาตรวจสอบความสามารถย่อยเคซีนและเจลาตินแล้วจัดกลุ่มเชื้อที่ได้โดยการศึกษาลักษณะดังต่อไปนี้

3.2.1 ศึกษาลักษณะพื้นฐานวิทยาและการเจริญของเชื้อบนอาหารแข็ง ศึกษาลักษณะเซลล์โดยการย้อมสีแกรม รูปร่างและขนาดของเซลล์ การสร้างเอนโดสปอร์ และลักษณะโคโลนีของเชื้อทั้งทางด้านรูปร่าง ขนาด สี เนื้อโคโลนีความโปร่งแสงหรือความทึบแสง บนอาหาร HA และตรวจสอบการเคลื่อนที่ของแบคทีเรีย (Grant และ Larsen, 1990)

3.2.2 ศึกษาลักษณะทางสรีรวิทยาและชีวเคมี ทดสอบการสร้างเอนไซม์คาตาเลส การสร้างเอนไซม์ออกซิเดส การสร้างเอนไซม์ยูรีเอส การทดสอบ Oxidation-Fermentation การทดสอบเมทิลเรด ความสามารถในการหมักคาร์โบไฮเดรต (Carmen และ คณะ, 1978) การรีดิฟัสไนเตรต การย่อย Tween 80 การเจริญในสภาวะที่ไม่มีออกซิเจน ความสามารถในการเจริญบนอาหารที่มี NaCl ความเข้มข้น 0, 8, และ 25% การเจริญในอาหารที่มี pH 4, 5, 8 และ 9 และการเจริญที่ระดับอุณหภูมิ 40, 45 และ 50°C (Kamekura และ Dyal-Smith, 1995)

3.2.3 การศึกษา DNA-DNA homology แยกและทำให้ DNA บริสุทธิ์ (Marmur, 1961; Tamaoka, 1994) นำเชื้อตัวแทนของแต่ละกลุ่มจากการคัดเลือกข้างต้น มาเลี้ยงในอาหารเหลว HB บ่มที่ 30 องศาเซลเซียส 3-5 วัน เก็บเซลล์โดยการปั่น แล้วทำให้เซลล์แตกด้วย lysozyme กำจัดโปรตีนและไขมันด้วย phenol-chloroform และตกตะกอนด้วย 95 % เอทานอล แล้วทำให้บริสุทธิ์โดยใช้เอนไซม์ RNase A (Sigma) DNA-DNA hybridization (Ezaki และ คณะ, 1989;

Tanasupawat และ คณะ ,2000) ทำการตรึง DNA ของเชื้อคัดเลือก ในปริมาณที่เท่ากัน ลงในหลุมของ microdilution plates ทำการ hybridize ด้วย DNA probe ซึ่งเตรียมมาจาก DNA ของเชื้อ type strain โดยติดฉลากด้วย photobiotin ตรวจสอบ photobiotin โดยการทำให้เกิดเป็นสารประกอบเชิงซ้อนกับ streptavidin ที่เชื่อมอยู่กับแอนไซม์ peroxidase แล้วจึงทดสอบหาปฏิกิริยาของแอนไซม์ โดยเติมสารตั้งต้น 3,3', 5,5' tetramethylbenzidine ทำให้เกิดสี ตรวจสอบด้วยเครื่อง colorimetric microplate reader ที่ความยาวคลื่น 450 นาโนเมตร เปรียบเทียบกับ 100 % homology ของ positive control (DNA จากเชื้อมาตรฐาน type strain ที่ใช้ในการเปรียบเทียบได้แก่แบคทีเรียชอบเค็มปานกลางและแบคทีเรียชอบเค็มสูงเช่น *Halobacterium salinarum* JCM 8978, *Halobacterium saccharovorum* JCM 8865, *Halococcus morrhuae* JCM 8876 และ *Halococcus saccharolyticus* JCM 8878)

3.2.4 การวิเคราะห์ลำดับเบสบนสาย 16S rDNA และการวิเคราะห์สายวิวัฒนาการ (phylogenetic analysis) ทำการวิเคราะห์ลำดับเบสบนสาย 16S rDNA ของแบคทีเรีย ที่คัดเลือกได้ โดยวิธี Thermal DNA sequencing ด้วยเครื่อง Automated DNA sequencer ABI 377 ที่ห้องปฏิบัติการดีเอ็นเอเทคโนโลยี มหาวิทยาลัยเกษตรศาสตร์ วิทยาเขตกำแพงแสน จังหวัดนครปฐม primer ที่ใช้กับแบคทีเรียชอบเค็มปานกลาง ได้แก่ 9F (5'-GAGTTTGATCCTGGCTCAG-3') 1541R (5'-AAGGAGGTGATCCAACC-3') 339F (5'-CTCCTACGGGAGGCAGCAG-3') 357R (5'-CTGCTGCCTCCCGTAG-3') 785F (5'-GGATTAGATACCCTGGTAGTC-3'); 802R (5'-TACCAGGGTATCTAATCCC-3'); และ 1099F (5'-GCAACGAGCGCAACCC-3') และ primer ที่ใช้กับแบคทีเรียชอบเค็มสูง ได้แก่ D30F (5'-ATTCCGGTTCATCCTGC-3') D56R (5'-GYTACCTTGTTACGACTT-3') D33R (5'-TCGCGCCTGCGCCCCGT-3') และ D34R (5'-GGTCTCGCTCGTTGCCTG-3') จากนั้นนำผลที่ได้ไปทำ multiple alignment และสร้าง phylogenetic tree ด้วยวิธี neighbor-joining (Saitou และ Nei, 1987) และทำ bootstrap analyses (ทำซ้ำ 1000 ครั้ง) โดยใช้โปรแกรม CLUSTAL_X (Thompson และคณะ, 1997)

3.3. การศึกษาการผลิตแอนไซม์

3.3.1 การเตรียมเชื้อจุลินทรีย์และการเตรียมแอนไซม์ ทำการเตรียมเชื้อเริ่มต้น โดยนำเชื้อจากงานอาหารเลี้ยงเชื้อ 1 โคโลนี ลงในอาหารเลี้ยงเชื้อ JCM no.168 โดยเลี้ยงเชื้อแบคทีเรียชอบเค็มปานกลางในอาหารที่มี NaCl 10 % เป็นเวลา 3 วัน และเชื้อแบคทีเรียชอบเค็มสูงรหัสในอาหารที่มี NaCl 25 % เป็นเวลา 7 วัน โดยทั้งสองกลุ่มเลี้ยงในตู้ควบคุมอุณหภูมิ (Memmert, BE500) ที่ 37 องศาเซลเซียส และเขย่าด้วยความเร็วรอบ 200 รอบต่อนาที หลังจากนั้น ทำการถ่ายเชื้อปริมาตร 1 มิลลิลิตร ลงในอาหารเลี้ยงเชื้อปริมาตร 35 มิลลิลิตร และเลี้ยงในสภาวะข้างต้น

นำอาหารเลี้ยงเชื้อทั้งหมดที่ได้ใส่ในหลอด centrifuge และนำไปหมุนเหวี่ยงที่ความเร็วรอบ 10,000 รอบต่อนาที อุณหภูมิ 4 องศาเซลเซียส เป็นเวลา 10 นาที และทำการแยกส่วนใส่ออก

จากตัวเซลล์เพื่อนำมาใช้ในการหาโปรตีนและกิจกรรมของ extracellular protease ทำการเก็บส่วน
 ใสที่ได้ ที่ -20 องศาเซลเซียส นำเซลล์ที่แยกส่วนใสออกมาทำการล้างเซลล์ให้ปราศจาก
 extracellular protease และ โปรตีน โดยการเติม 25 มิลลิลิตร ของสารละลาย 0.05 M phosphate
 buffer pH 7.0 ที่มี NaCl 10 หรือ 25% นำไปหมุนเหวี่ยงที่ความเร็วรอบ 10,000 รอบต่อนาที
 อุณหภูมิ 4 องศาเซลเซียส เป็นเวลา 10 นาที เทส่วนใสออก และทำการล้างซ้ำอีก 1 ครั้ง นำเซลล์ที่
 ล้างแล้ว 2 รอบมาเติมสารละลายบัฟเฟอร์ 2 มิลลิลิตร และทำให้เซลล์แตกด้วยเครื่อง Sonicator
 (Vibra Cell VCX600) โดยใช้ amplitude 30% pulse 5 วินาที และพัก 25 วินาที จำนวน 6 รอบ
 นำไปหมุนเหวี่ยงที่ความเร็วรอบ 10,000 รอบต่อนาที อุณหภูมิ 4 องศาเซลเซียส เป็นเวลา 10 นาที
 แยกส่วนใสออก จากนั้นเติมสารละลายบัฟเฟอร์ 1 มิลลิลิตร ในตะกอนและทำให้เซลล์แตกอีกรอบ
 นำส่วนใสทั้งหมดรวมกันเพื่อนำมาใช้ในการหาโปรตีนและกิจกรรมของ intracellular protease

3.3.2 การหาปริมาณโปรตีน โดยวิธีของ Lowry และ คณะ (1951) นำเอนไซม์ที่เจือจางใน
 อัตราส่วนที่เหมาะสม ปริมาตร 100 ไมโครลิตร ทำปฏิกิริยากับสารละลาย D (50 ส่วนของ
 สารละลาย 2% sodium carbonate ใน 0.1N NaOH และ 1 ส่วนของสารละลาย 0.5% $\text{CuSO}_4 \cdot 5\text{H}_2\text{O}$
 ใน 1% sodium citrate) 1 มิลลิลิตร ผสมให้เข้ากันตั้งทิ้งไว้ที่อุณหภูมิห้อง (ประมาณ 25 องศา
 เซลเซียส) เป็นเวลา 10 นาที หลังจากนั้นเติมสารละลาย 1 N Folin-Ciocalteu's phenol 100
 ไมโครลิตร ผสมให้เข้ากันตั้งทิ้งไว้ที่อุณหภูมิห้องเป็นเวลา 30 นาที นำไปวัดค่าการดูดกลืนแสงที่
 ความยาวคลื่น 750 นาโนเมตร นำค่าที่ได้ไปเปรียบเทียบกับกราฟมาตรฐานโปรตีน โดยใช้ bovine
 serum albumin (BSA) เป็นสารมาตรฐาน

3.3.3 การวัดกิจกรรมของเอนไซม์โปรติเอส ทำการวัดกิจกรรมของเอนไซม์โปรติเอส
 โดยใช้ Casein (Difco), Casein (Hammastens) และ Fish protein powder เป็นสับสเตรต โดยใช้วิธีที่
 ดัดแปลงจาก An และ คณะ (1995) นำตัวอย่างเอนไซม์ 1 มิลลิลิตร ทำปฏิกิริยากับสารละลาย
 Casein 1.5 % ในสารละลายบัฟเฟอร์ที่มี 10 หรือ 25% NaCl ที่อุณหภูมิ 37 องศาเซลเซียส เป็นเวลา
 60 นาที ทำการหยุดปฏิกิริยาที่เกิดขึ้น โดยเติมกรดไตรคลอโรอะซิติก 50% ปริมาตร 250 ไมโครลิตร
 หลังจากนั้น ทำการแยกสลายส่วนใสโดยนำไปหมุนเหวี่ยงที่ความเร็วรอบ 2,000 รอบต่อนาที
 อุณหภูมิ 4 องศาเซลเซียส เป็นเวลา 10 นาที นำส่วนใสที่ได้วิเคราะห์ปริมาณ TCA soluble peptide
 ตามวิธีของ Lowry และ คณะ (1951) โดยเปลี่ยนใช้ Tyrosine เป็นสารมาตรฐาน

สำหรับ Fish protein powder ทำปฏิกิริยาโดยใช้เอนไซม์ 1 มิลลิกรัม กับสารละลาย
 สับสเตรต ซึ่งประกอบด้วย Fish protein powder 15 มิลลิกรัมและสารละลายบัฟเฟอร์ที่มี 10 หรือ
 25% NaCl ทำวัดกิจกรรมของเอนไซม์เช่นเดียวกับการใช้ Casien

บทที่ 4

ผลการวิจัยและการอภิปรายผล

4.1 แหล่งของเชื้อแบคทีเรีย การเก็บตัวอย่างและการแยกเชื้อ

ผลของการแยกเชื้อแบคทีเรียจากตัวอย่างน้ำปลาที่เก็บจากโรงงานในจังหวัดสมุทรปราการ สมุทรสงคราม ชลบุรี และระยอง และแยกแบคทีเรียจากตัวอย่างอาหารหมักที่เกลือสูง ได้แก่ ปลาข้าว ปลาจ่อม กุ้งจ่อม บูด ปูดอง และกะปิ จากตลาดสดในจังหวัดต่างๆรวม 110 ตัวอย่าง ได้แบคทีเรียทั้งหมด 279 ไอโซเลต ดังตารางที่ 4.1

4.2 การคัดเลือกเชื้อแบคทีเรียที่สร้างเอนไซม์โปรติเอสขั้นต้นและลักษณะของเชื้อ

ผลของการคัดเลือกแบคทีเรียที่สามารถย่อยเคซีนและเจลาตินขั้นต้น พบว่าแบคทีเรีย 45 ไอโซเลตมีปฏิกิริยาการย่อยแบ่งได้เป็นแบคทีเรียที่ชอบเกลือปานกลาง (10% NaCl) 38 ไอโซเลต และแบคทีเรียที่ชอบเกลือสูง (20-25%) 7 ไอโซเลตดังตารางที่ 4.2 (ภาพที่ 4.1 และ 4.2) จากผลการศึกษาลักษณะทางสัณฐานวิทยาของแบคทีเรีย 45 ไอโซเลต พบว่าเป็นแบคทีเรียรูปร่างแท่ง 40 ไอโซเลตและแบคทีเรียรูปร่างกลม 5 ไอโซเลต ส่วนใหญ่เป็นแบคทีเรียแกรมบวก มีลักษณะโคโลนีเป็นสีขาว สีครีม สีครีมเหลือง บางไอโซเลตเป็นสีเหลืองและสีแดงเมื่อเจริญบนอาหารวุ้น สามารถสร้างเอนไซม์แคตาเลส ออกซิเดส และเจริญที่ 45 °C บางไอโซเลตย่อย Tween 80 ได้ ส่วนใหญ่ไม่ใช้อาร์จินีนและไม่เจริญในอาหารที่ขาด NaCl นอกจากนี้ ส่วนใหญ่ไม่สร้างกรดจากน้ำตาล glucose, galactose, xylose, mannose, fructose, sucrose, maltose, celobiose และ trehalose ดังแสดงผลในตารางที่ 4.3 และ 4.4

ตารางที่ 4.1 ชนิดตัวอย่างอาหารหมัก แหล่งที่มา รหัสเชื้อและจำนวนไอโซเลต

ชนิดตัวอย่าง / อายุการหมัก	จำนวน ตัวอย่าง	แหล่งที่มา	รหัสเชื้อ	จำนวนไอโซเลต
น้ำปลา / เริ่มหมัก	1	สมุทรปราการ	IO-1	1
น้ำปลา / 10 วัน	1		IS10-1, IS10-2, IS10-3, IS10-4	4
น้ำปลา / 20 วัน	1		IB20-2	1
น้ำปลา / 30 วัน	2		IS30-1, IB30-2	2
น้ำปลา / 40 วัน	2		IS40-1B, IB40-1, IS40-3, IS40-3B, IS40-1R, IB40-1B	6
น้ำปลา / 50 วัน	2		IS50-2(1), IB50-2(1)	2
น้ำปลา / 60 วัน	1		IB60-1	1
น้ำปลา / 2 เดือน	1	สมุทรปราการ	PS2	1
น้ำปลา / 7 เดือน	2		PS7-1, PB7-3	2

น้ำปลา/ 9 เดือน	1		PS9-2	1	
น้ำปลา/ 10 เดือน	1		PB10-3, PB10-4	2	
น้ำปลา/ 11 เดือน	2		PS11-2B, PS11-2S, PS11-2, PS11-5, PB11-1	5	
น้ำปลา/ 12 เดือน	2		PS12-1, PS12-5, PB12-1	3	
น้ำปลา/ เริ่มหมัก	1	สมุทรสงคราม	KF1-3B	1	
น้ำปลา/ 11 วัน	1		KS11-1, KS11-2	2	
น้ำปลา/ 35 วัน	1		KS35-3, KS35	2	
น้ำปลา/ 54 วัน	1		KS54-1, KS54-2B	2	
น้ำปลา/ 87 วัน	1		KS87-2, KS87-3	2	
น้ำปลา/ 200 วัน	1		KS200-2	1	
น้ำปลา/ 333วัน	1		KS333-2, KS333-3B	2	
น้ำปลา/ 1 เดือน	2		สมุทรสงคราม	DB1-1, DB1-1B, DB1-4, DB1-11, DB1-31, DS1-5, DS1-3B	7
น้ำปลา/ 2 เดือน	1			DS2-5	1
น้ำปลา/ 3 เดือน	1			DS3-1, DS3-11	2
น้ำปลา/ 4 เดือน	2			DS4-1, DS4-2, DB4-1, DB4-2	4
น้ำปลา/ 5 เดือน	1	สมุทรสงคราม	DB5-1B, DB5-2, DB5-4	3	
น้ำปลา/ 6 เดือน	2		DS6-1A, DS6-1Y, DB6-4, DB6-5, DS6-6	5	
น้ำปลา/ 7 เดือน	1		DS7-1, DS7-4, DS7-5	3	
น้ำปลา/ 8 เดือน	2		DS8-2, DS8-4, DS8-5, DB8-2, DB8-4B, DB8-4,	6	
น้ำปลา/ 9 เดือน	1		DB9-1	1	
น้ำปลา/ 10 เดือน	2		DS10-3, DB10-1, DB10-2, DB10-5,	4	
น้ำปลา/ 18 เดือน	2		DS18-1, DB18-1	2	
น้ำปลา/ 26 เดือน	1		DS26-1, DS26-2	2	
น้ำปลา/ เริ่มหมัก	2	ชลบุรี	CSO-1-1, CSO-1-2, CBO-1, CBO-2	4	
น้ำปลา/ 2 เดือน	1		CS2	1	
น้ำปลา/ 9 เดือน	1		CS9-1	1	
น้ำปลา/ 10 เดือน	1		CS10	1	
น้ำปลา/ 2 เดือน	1	ระยอง	RF2-3, RF2-5	2	

น้ำปลา/3 เดือน	1		RF3	1
น้ำปลา/4 เดือน	1		RF4-2	1
น้ำปลา/5 เดือน	1		RF5-1, RF5-2, RF5-3, RF5-4	4
น้ำปลา/6 เดือน	1		RF6	1
น้ำปลา/11 เดือน	1		RF11-1, RF11-2, RF11-3	3
น้ำปลา/12 เดือน	1		RF12-15	1
น้ำขูด	1	ปัตตานี	BN1-2, BN1-3	2
ปลาร้า	1	บุรีรัมย์	PR4-1, PR4-2	2
	1	บุรีรัมย์	PR5-1, PR-2	2
	1	กรุงเทพฯ ฯ	PJ-1-1	1
	1	กรุงเทพฯ ฯ	PL1-2, PL1-3	2
	1	กรุงเทพฯ ฯ	PC1-1, PC1-2, PC1-3	3
กะปิ	1	ขอนแก่น	CHN1-1, CHN1-2, CHN1-3	3
	1		CHN2-1, CHN2-2, CHN2-3	3
	1		CHN3-1, CHN3-2	2
ปูด ง	1		CHN5-1, CHN5-2,	2
ปลาร้า	1		CHN6-2	1
	1		CHN7-2	1
	1		CHN8-2A, CHN8-2B, CHN8-3	3
ปลาร้า	1		RBU1-1, RBU1-2A, RBU1-2B, RBU1-3	4
ปลาร้า	1		RBU2-1A, RBU2-1B, RBU2-2, RBU2-3, RBU2-4	5
ปลาร้า	1		RBU3-1, RBU3-2	2
	1	RBU4-2	1	
	1	RBU5-1, RBU5-2	2	
กะปิ	1	RBU8-1	1	
	1	RBU9-1A, RBU9-1B, RBU9-2, RBU9-3, RBU9-4	5	
	1	RBU10-1, RBU10-2	2	
ปลาร้า	1	ฉะเชิงเทรา	CC1-1, CC1-3	2
ปลาร้า	1		CC2-1, CC2-2	2
	1		CC7-1, CC7-3, CC7-4	3
	1		CC8-2A, CC8-2B	2
โตปลา	1		CC9-1, CC9-2, CC9-3, CC9-4	4

กะปิ	1	สมุทรปราการ	PK1-1, PK1-2W, PK1-2Y, PK1-3	4
กุ้งจ่อม	1	สุรินทร์	SU1-1	1
ปลาร้า	1	บุรีรัมย์	BUR1-1, BUR1-2	2
	1		BUR2-1	1
ปลาร้า	1	พิจิตร	PC1-1	1
กะปิ	1	สมุทรสาคร	SSK1-1, SSK1-2	2
	1		SSK2-1, SSK2-2	2
	1		SSK3-1, SSK3-2, SSK3-4, SSK3-5	4
	1		SSK4-1, SSK4-2	2
	1		SSK5-1, SSK5-2S, SSK5-3, SSK5-4, SSK5-5	5
	1		SSK6-1, SSK6-2, SSK6-3, SSK6-4, SSK6-5, SSK6-6	6
ปลาร้า	1		SSK7-2, SSK7-3, SSK7-4	3
กะปิ	1		SSK8-1, SSK8-3	2
	1		SSK9-1, SSK9-2, SSK9-3, SSK9-4S, SSK9-4B, SSK9-5,	6
	1		SSK10-1, SSK10-2, SSK10-3, SSK10-4, SSK10-5	5
	1		SSK11-1, SSK11-2	2
กะปิ	1	นครศรีธรรมราช	PN1-1, PN1-2, PN1-3, PN1-4, PN1-5, PN1-6, PN1-7, PN1-8, PN1-9, PN1-10, PN1-11, PN1-12, PN1-13	13
	1		PN2-1, PN2-2, PN2-3, PN2-4, PN2-5, PN2-6, PN2-7, PN2-8, PN2-9, PN2-10, PN2-11, PN2-12, PN2-13, PN2-14, PN2-15, PN2-16, PN2-17, PN2-18, PN2-19	19
	1		PN3-1, PN3-2	2
	1		PN4-1, PN4-2, PN4-3	3
	1		PN5-1, PN5-2, PN5-3, PN5-4	4

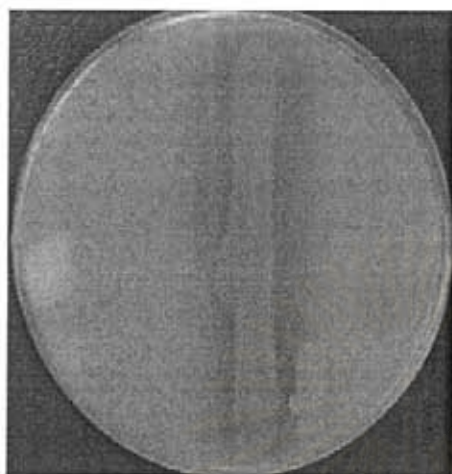
กะปิ	1	นครศรีธรรมราช	PN7-1, PN7-2, PN7-3, PN7-4, PN7-5	5
	1		PN8-1, PN8-2, PN8-3, PN8-4	4
	1		PN9-1, PN9-2, PN9-3	3
	1		PN10-1, PN10-2, PN10-3	3
	1		PN11-1, PN11-2, PN11-3	3
	1		PN12-1, PN12-2, PN12-3	3
	1		PN13-1, PN13-2, PN13-3, PN13-4	4
รวม	110			279

ตารางที่ 4.2 การย่อยเคซีนและเจลาตินของสายพันธุ์ที่คัดเลือกได้

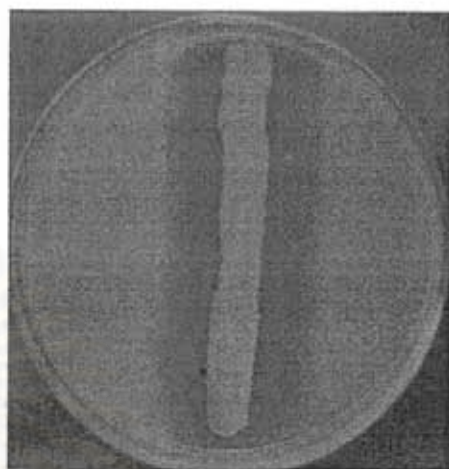
Strain	Cascin (10 % NaCl)	Gelatin (10 % NaCl)
IS40-3	++	+
IO-1	+	+
PS9-2	+	+
KF1-3B	+	+
CS2	+	+
CS9-1	+	+
CS10	+	+
RF2-5	+++	++
RF5-1	+	+
RF5-2	+	+
RF12-1S	+	+
CHN2-1	+++	-
RBU1-1	+++	+++
CC7-1	+	++
BUR1-2	+	+++
SSK2-2	++	+++
SSK3-2	+++	+++
SSK3-4	+	++
SSK7-3	+++	+++
SSK7-4	+	-

SSK8-3	+	+
SSK9-1	+	+++
SSK9-3	+	+++
SSK10-5	++	+++
PN1-6	+	++
PN2-3	+++	++
PN2-10	++	+++
PN2-19	++	+++
PN3-1	+	+++
PN4-2	+	+++
PN5-1	+++	+++
PN5-2	+	-
PN8-4	++	+++
PN9-1	+	++
PN9-3	+	++
PN10-1	++	+++
PN10-2	+	+
PN13-3	+	++
Strain	Casein (25 % NaCl)	Gelatin (25 % NaCl)
DS2-5	+++	+
DB10-5	++	+
KS87-2	++ (20% NaCl)	-
DB10-1	+++	+
DS6-1A	++	+
RF6	++	+
IB20-2	++	+

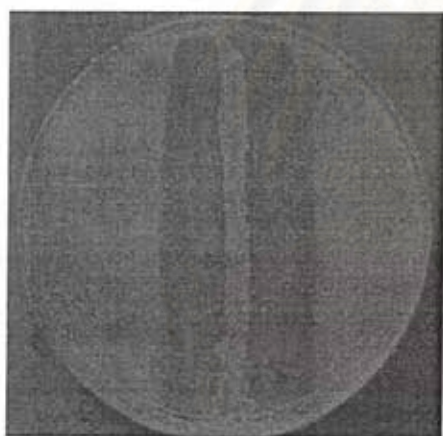
+++, strong; ++, moderate; +, weak reaction



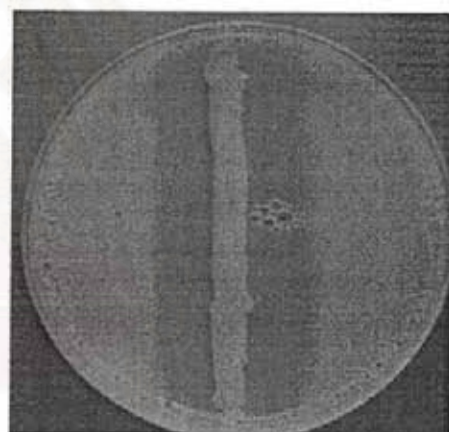
IS40-3



SSK3-2

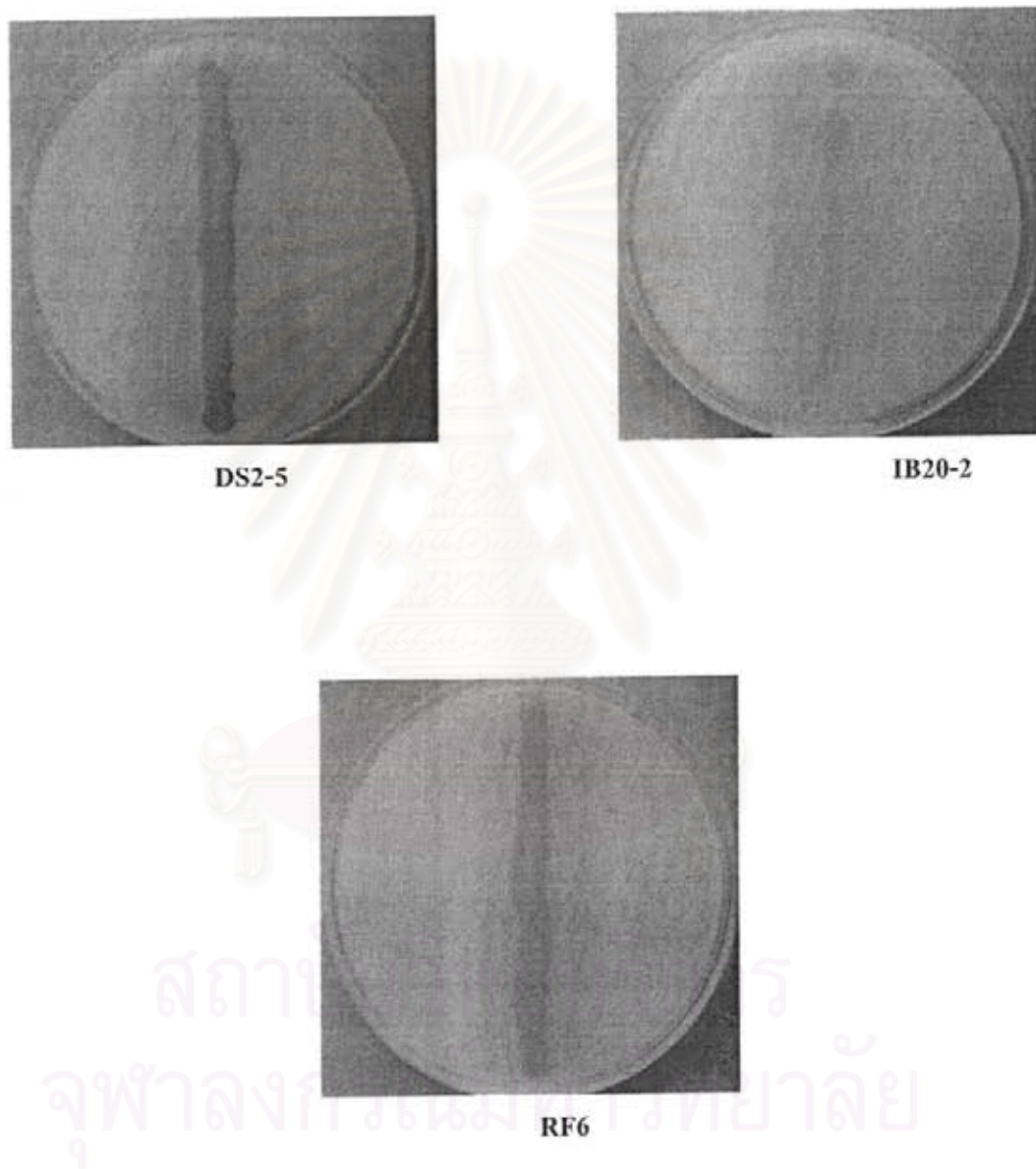


RF2-5



RBU1-1

สถาบันวิทยบริการ
ภาพที่ 4.1 ลักษณะ โคโลนีของแบคทีเรียชอมเต็มปานกลางที่สามารถย่อยเคซีน
จุฬาลงกรณ์มหาวิทยาลัย



ภาพที่ 4.2 ลักษณะโคโลนึ่งของเบคที่เรีชอบเต็มสูงที่สามารถย่อเคซีน

ตารางที่ 4.3 ลักษณะทั่วไปของแบคทีเรียชอบเค็มที่คัดเลือกได้

Strain	Cell form	Gram	Endospore	Pigmentation	Catalase	Oxidase	Tween 80	Arginine	Growth	
									at 45 °C	in 0 % NaCl
IS40-3	Rods	+	+	White	+	+	+	-	+	-
IO-1	Rods	+	+	White	+	+	+	-	+	-
PS9-2	Rods	+	+	White	+	+	+	-	+	-
KF1-3B	Rods	+	+	White	+	+	+	-	+	-
CS2	Cocci	+	-	Cream-Yellow	+	-	-	-	-	-
CS9-1	Cocci	+	-	Cream-Yellow	+	-	-	-	-	-
CS10	Cocci	+	-	Cream-Yellow	+	-	-	-	-	-
RF2-5	Rods	+	+	White	+	+	-	-	+	-
RF5-1	Rods	+	+	White	+	-	-	-	-	-
RF5-2	Rods	+	+	White	+	+	-	-	-	-
RF12-1S	Rods	+	-	White	+	+	+	-	-	+
CHN2-1	Rods	+	+	White	+	+	-	+	+	-
RBU1-1	Rods	+	+	White	+	+	-	w	+	-

Strain	Cell form	Gram	Endospore	Pigmentation	Catalase	Oxidase	Tween 80	Arginine	Growth	
									at 45 °C	in 0 % NaCl
CC7-1	Rods	+	+	White	+	+	-	+	+	-
BUR1-2	Rods	+	-	Cream	+	+	NG	-	+	-
SSK2-2	Rods	+	-	White	+	-	-	w	+	-
SSK3-2	Rods	+	+	White	+	+	-	w	+	+
SSK3-4	Rods	+	+	White	+	+	-	-	+	-
SSK7-3	Rods	+	-	Cream-Yellow	+	+	-	+	+	-
SSK7-4	Rods	+	-	Yellow	+	+	+	+	+	-
SSK8-3	Rods	+	+	White	+	+	-	+	+	-
SSK9-1	Rods	+	+	Cream	+	+	-	-	+	+
SSK9-3	Rods	+	+	Cream	+	+	-	-	+	+
SSK10-5	Rods	+	+	White	+	+	-	+	+	+
PN1-6	Rods	+	+	Cream	+	+	NG	w	-	-
PN2-3	Rods	+	+	Cream	+	+	-	+	+	-
PN2-10	Rods	+	+	Cream	+	+	-	+	+	w
PN2-19	Rods	+	-	Cream	+	+	-	+	+	+

Strain	Cell form	Gram	Endospore	Pigmentation	Catalase	Oxidase	Tween 80	Arginine	Growth	
									at 45°C	in 0% NaCl
PN3-1	Rods	+	-	Cream-Yellow	+	+	-	+	+	-
PN4-2	Rods	+	+	White	+	+	-	-	+	-
PN5-1	Rods	+	+	Cream	+	+	-	+	+	w
PN5-2	Rods	+	+	Orange	+	+	-	-	+	-
PN8-4	Rods	+	-	White	+	+	-	+	+	-
PN9-1	Rods	+	-	White	+	+	-	-	+	-
PN9-3	Rods	+	+	White	+	+	-	-	+	-
PN10-1	Rods	+	+	Cream	+	+	-	-	+	-
PN10-2	Rods	+	-	White	+	+	-	-	+	-
PN13-3	Rods	+	-	Cream	+	+	-	+	+	+

Strain	Cell form	Gram	Endospore	Pigmentation	Catalase	Oxidase	Tween 80	Arginine	Growth	
									at 45 °C	in 0 % NaCl
DS2-5	Rods	-/+	-	Red	+	+	-	-	+	-
DB10-5	Rods	-/+	-	Red	+	+	-	-	+	-
KS87-2	Rods	-/+	-	Red	+	+	+	-	+	-
DB10-1	Rods	-/+	-	Red	+	+	+	-	+	-
DS6-1A	Cocci	-/+	-	Red	+	+	+	-	-	-
RF6	Cocci	-/+	-	Red	+	+	-	-	-	-
IB20-2	Rods	-/+	-	Red	+	+	+	-	+	-

+, positive; w, weak; -, negative; NG, no growth

สถาบันวิทยบริการ
จุฬาลงกรณ์มหาวิทยาลัย

ตารางที่ 4.4 การผลิตกรดจากคาร์โบไฮเดรตของแบคทีเรียชอบแก๊มที่คัดเลือกได้

Strain	Glucose	Galactose	Xylose	Mannose	Fructose	Sucrose	Maltose	Cellobiose	Trehalose
IS40-3	+	-	+	-	+	+	+	+	-
IO-1	+	-	+	-	+	+	+	-	-
PS9-2	+	-	+	-	-	-	-	-	-
KF1-3B	+	+	+	+	+	+	+	+	-
CS2	+	+	-	+	+	+	+	+	+
CS9-1	+	+	-	+	+	+	+	+	+
CS10	+	+	-	+	+	+	+	+	+
RF2-5	-	-	-	-	-	-	-	-	-
RF5-1	+	w	-	+	+	-	-	-	-
RF5-2	+	w	-	w	-	-	-	-	-
RF12-1S	+	+	-	+	+	-	-	+	-
CHN2-1	-	-	-	-	-	-	-	-	-
RBU1-1	-	-	-	-	-	-	-	-	-

Strain	Glucose	Galactose	Xylose	Mannose	Fructose	Sucrose	Maltose	Cellobiose	Trehalose
CC7-1	+	w	w	+	+	-	+	w	-
BUR1-2	+	+	-	+	+	-	-	-	+
SSK2-2	+	+	-	+	+	-	-	+	-
SSK3-2	+	w	-	w	+	+	w	-	-
SSK3-4	+	w	-	w	+	-	-	-	-
SSK7-3	+	w	w	-	+	+	+	-	w
SSK7-4	+	w	w	+	+	+	+	-	+
SSK8-3	w	w	w	+	w	+	+	w	+
SSK9-1	-	-	-	-	-	-	-	-	-
SSK9-3	-	-	-	-	-	-	-	-	-
SSK10-5	+	-	-	w	w	w	-	-	-
PN1-6	-	-	-	-	-	-	-	-	-
PN2-3	+	-	-	-	w	w	w	-	-
PN2-10	+	+	-	-	w	w	w	-	-
PN2-19	+	+	-	-	w	w	-	-	-

Strain	Glucose	Galactose	Xylose	Mannose	Fructose	Sucrose	Maltose	Cellobiose	Trehalose
PN3-1	-	-	-	-	-	-	-	-	-
PN4-2	-	-	-	-	-	-	-	-	-
PN5-1	+	-	-	+	w	+	w	-	-
PN5-2	+	+	-	+	+	-	-	-	-
PN8-4	+	w	-	+	w	w	w	-	-
PN9-1	-	-	-	-	-	-	-	-	-
PN9-3	-	-	-	-	-	-	-	-	-
PN10-1	w	-	-	-	-	-	-	-	-
PN10-2	+	+	w	+	+	+	+	+	+
PN13-3	+	+	-	w	+	+	+	-	+

สถาบันวิทยบริการ
จุฬาลงกรณ์มหาวิทยาลัย

Strain	Glucose	Galactose	Xylose	Mannose	Fructose	Sucrose	Maltose	Cellobiose	Trehalose
DS2-5	-	-	-	-	-	-	-	-	-
DB10-5	-	-	+	-	-	-	-	+	-
KS87-2	-	-	+	-	-	-	-	-	-
DB10-1	-	-	-	-	-	-	-	-	-
DS6-1A	-	-	+	-	-	-	-	-	-
RF6	-	-	-	-	-	-	-	-	-
IB20-2	-	-	-	-	-	-	-	-	-

+, positive; w, weak ; -, negative

สถาบันวิทยบริการ
จุฬาลงกรณ์มหาวิทยาลัย

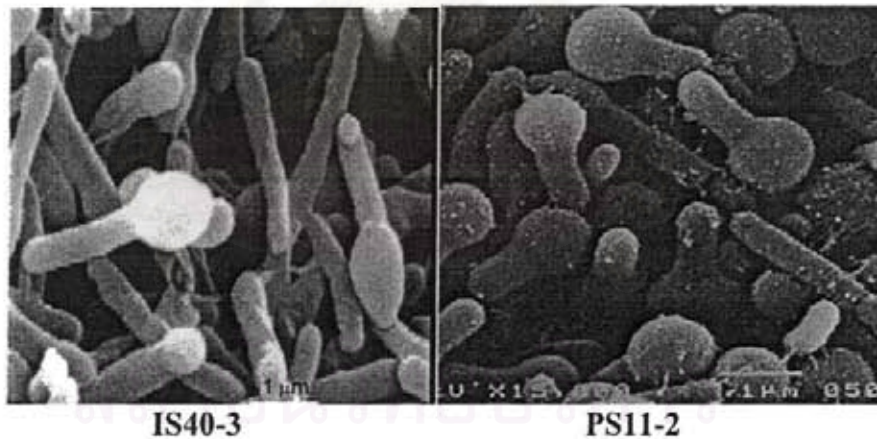
4.3 การพิสูจน์เอกลักษณ์ของแบคทีเรียตัวแทนที่น่าสนใจ

นำแบคทีเรียตัวแทนของสายพันธุ์ที่สามารถย่อยเคซีนและเจลาตินได้รวมทั้งแบคทีเรียสายพันธุ์อื่นที่น่าสนใจจำนวน 85 สายพันธุ์มาทำการศึกษาทางอนุกรมวิธาน ผลการศึกษาพบว่าสามารถแบ่งกลุ่มแบคทีเรียชอบเค็มปานกลางได้ ดังนี้

แบคทีเรียรูปร่างเป็นแท่งซึ่งสามารถสร้างสปอร์รูปกลมที่ปลายของเซลล์ (ภาพที่ 4.3) จัดอยู่ในสกุล *Lentibacillus* แบ่งได้เป็น 4 กลุ่มโดยอาศัย ความคล้ายคลึงของ DNA-DNA similarity (%) ดังนี้

กลุ่มที่ 1 มีแบคทีเรีย 3 สายพันธุ์ ได้แก่ BN2-2, DB8-4 และ KS333-3B มี DNA-DNA homology มากกว่า 71 % เมื่อเทียบกับ *Lentibacillus salicampi* JCM 11462^T (ตารางที่ 4.5) (Wayne และคณะ 1987) จึงพิสูจน์เอกลักษณ์ได้เป็น *Lentibacillus salicampi* (Yoon และคณะ 2002)

กลุ่มที่ 2 มีแบคทีเรีย 5 สายพันธุ์ ได้แก่ IS40-3, IS40-2, IS10-5, IO-1, และ PS9-2 มี DNA-DNA similarity มากกว่า 79 % เมื่อเทียบกับ IS40-3 แต่มีน้อยกว่า 32% เมื่อเทียบกับ *Lentibacillus salicampi* JCM 11462^T (ตารางที่ 4.5) และจากผลความคล้ายคลึงของ 16S rDNA เพียง 95.2% เมื่อเทียบกับ *Lentibacillus salicampi* JCM 11462^T (ภาพที่ 4.4) ดังนั้นจึงจัดกลุ่มที่ 2 เป็นแบคทีเรียชนิดใหม่ (Wayne และคณะ 1987; Yoon และคณะ 2002)



ภาพที่ 4.3 ลักษณะเซลล์และสปอร์ของแบคทีเรียสกุล *Lentibacillus* สายพันธุ์ IS40-3 และ PS11-2

ลักษณะทั่วไปของแบคทีเรีย *Lentibacillus* กลุ่มที่ 1 และกลุ่มที่ 2 เซลล์มีรูปร่างเป็นแท่งขนาด 0.4-0.5x1.5-6 μm เรียงตัวเดี่ยวๆ เป็นคู่ หรือเป็นสายสั้น มีสปอร์ที่ปลายของเซลล์ กลุ่มที่ 2 เซลล์มักเกาะกันเป็นแท่งโค้ง สร้างสปอร์รูปกลมรีที่ปลายของเซลล์ (ภาพที่ 4.3) ทั้งสองกลุ่มสร้าง เอนไซม์คาตาเลส ออกซิเดส วิติวสไนเตรท สลายเคซีน เจลาติน และ ทวิน 80 สร้างกรดจากฟรุกโตส กลูโคส กลีเซอรอล ไวโบส และ โซโลส ไม่สร้างยูเรียเอส ไฮโดรเจนซัลไฟด์ อินโดล

ปฏิกิริยา Voges-Proskauer และ เมทิลเรด และไม่สลาย อาร์จินีน แป้ง ไทโรซีน ไทรบิวทีรีน เฟนนิลอะลาซีน ไฮโปแซนธิด และแซนธิด เจริญได้ในสภาวะที่ไม่มีอากาศในอาหารที่เค็มในเครท เจริญได้เหมาะสมในอาหารที่มี NaCl 10-15%, pH 7 และที่ 30-37°C ลักษณะแตกต่างกันของทั้งสองกลุ่มดังแสดงไว้ในตารางที่ 4.6

กลุ่มที่ 3 มีแบคทีเรีย 15 สายพันธุ์ได้แก่ KF1-1, PB7-3, PS11-2, DB1-1, DS1-3B, DB4-2, DS4-2, DB5-1B, DS6-1, DS7-5, DB8-6, DB9-1, DS10-3B, DS26-3, CB0-1 มี DNA-DNA similarity มากกว่า 70.8% เมื่อเทียบกับ PS11-2 และ PB7-3 แต่ร้อยละ 17.1% เมื่อเทียบกับ IS40-3 และ *Lentibacillus salicampi* JCM 11462^T (ตารางที่ 4.7) และจากผลความคล้ายคลึงของ 16S rDNA ของ PS11-2 เมื่อเทียบกับ IS40-3 และ *Lentibacillus salicampi* JCM 11462^T เป็น 97.3% และ 95.5% ตามลำดับ (ภาพที่ 4.4) ดังนั้นจึงจัดเชื้อทั้ง 15 สายพันธุ์อยู่ในกลุ่มชนิดเดียวกัน (Wayne และคณะ 1987) และ เป็นเชื้อชนิดใหม่ (Yoon และคณะ 2002)

ลักษณะทั่วไปของแบคทีเรีย *Lentibacillus* กลุ่มที่ 3 เซลล์มีรูปร่างเป็นแท่ง ขนาดกว้าง 0.4x0.6 และยาว 1.0x3.0 μm หรือมากกว่านี้ เรียงตัวเดี่ยวๆ เป็นคู่ หรือเป็นสายสั้น เคลื่อนที่ได้ สร้างสปอร์รูปกลมที่ปลายของเซลล์ (ภาพที่ 4.3) โคโลนิบนอาหารวุ้น JCM no.168 มีลักษณะกลมมีสีขาวครีม ขอบเรียบ ยกสูง ขนาดเส้นผ่าศูนย์กลาง 0.1-0.8 มม. สร้างเอนไซม์คาตาเลส ออกซิเดส ไม่สร้างยูเรียเอส ไม่สลายเคซีน เจลาติน เอสคิวลิน อาร์จินีน แป้ง ไทโรซีน ทวีน 80 ไทรบิวทีรีน เฟนนิลอะลาซีน ไฮโปแซนธิด และแซนธิด และ ไม่สร้างกรดจาก อะราบีโนส เซลโลบิโอส ฟรุคโตส กาแลคโตส กลูโคส กลีเซอรอล แลคโตส มอลโตส แมนนิทอล แมนโนส เมลิบิโอส เมลิซิโดส อินนอซิดอล แรฟิโนส แรมโนส โรโบส ซาลิซิน ซอร์บิตอล ซูโครส ทรีฮาโลส และ ซาโลส ไม่เจริญในสภาวะที่ไม่มีอากาศในอาหารที่เค็มในเครท เจริญได้ในอาหารที่มี NaCl อย่างน้อย 12% และเจริญได้เหมาะสมในอาหารที่มี เจริญได้ NaCl 20-26%, pH 6-8 และที่ 30-37°C เจริญได้ที่ 40°C แต่ไม่เจริญที่ 10, 45 และ 50 °C มี *meso*-DAP (diaminopimelic acid) เป็นองค์ประกอบของผนังเซลล์ ลักษณะแตกต่างกันของทั้งสองกลุ่มดังแสดงไว้ในตารางที่ 4.8

ตารางที่ 4.5 DNA-DNA similarity ของ *Lentibacillus* กลุ่มที่ 1 และ 2

Strain	(% Similarity with labelled strain (%))		
	JCM 11462 ^T	IS40-3 ^T	PS9-2
Group I BN2-2	96	1	12
DB8-4	71	1	19
KS333-3B	102	14	8
Group II IS40-3 ^T	12	100	113
IS40-2	32	98	111
IS10-5	27	96	118
IO-1	13	82	85
PS9-2	14	79	100
<i>L. salicampi</i> JCM11462 ^T	100	13	11

ตารางที่ 4.6 ลักษณะแตกต่างของ *Lentibacillus* กลุ่มที่ 1 และ 2

Characteristics	Group 1		Group 2	
	(3 isolates)	JCM 11462 ^T	(5 isolates)	IS40-3
Spore shape	SO	SO	O	O
Spore position	Terminal	Terminal	Terminal	Terminal
Motility	+	+	-	-
Colony size (mm, diameter)	0.2-1.3	0.2-1.3	0.9-3.9	1.3-3.2
Max. temperature for growth (°C)	40	40	45	45
NaCl range (%)	3-25	3-25	3-30	3-30
Acid production from				
Cellobiose	w	+	-	-
D-Galactose	w	+	-	-
D-Mannose	w	+	-	-
Salicin	w	w (2) ^a	-	-
Sucrose	-	-	w (4)	w

^aNumber of weak positive strains are shown in parentheses.

กลุ่มที่ 4 มีแบคทีเรีย 2 สายพันธุ์ได้แก่ PN5-2 และ PN7-6 แบคทีเรีย PN7-6 มี DNA-DNA similarity มากกว่า 98%เมื่อเทียบกับ PN5-2 แต่น้อยกว่า 16.4 % เมื่อเทียบกับ IS40-3 และ PS11-2 ดังตารางที่ 4.8 และจากผลความคล้ายคลึงของ 16S rDNA ของ PN7-6 เมื่อเทียบกับ *L. salarius* KCTC 3911^T, *L. salicampi* JCM 11462^T, *L. juripiscarius* JCM 12147^T (IS40-3), *L. lacisalsi* KCTC 3915^T and PS11-2 เป็น 96.4 %, 96.2 %, 96.1%, 95.4%, และ 94.7% ตามลำดับ (ภาพที่ 4.4) ดังนั้นจึงจัดแบคทีเรียทั้ง 2 สายพันธุ์เป็นเชื้อชนิดเดียวกัน (Wayne และคณะ 1987) และ เป็นแบคทีเรียชนิดใหม่ (Yoon และคณะ, 2002)

ลักษณะทั่วไปของแบคทีเรีย *Lentibacillus* กลุ่มที่ 4 เซลล์มีรูปร่างเป็นแท่ง ขนาด กว้าง 0.2x0.4 และยาว 0.6x2.0µm เรียงตัวเดี่ยวๆ เป็นคู่ หรือเป็นสายสั้น สปอร์มีรูปร่างกลมอยู่ที่ปลายเซลล์ ไม่เคลื่อนที่ โคลนีสบนอาหารร่วน JCM no.168 มีลักษณะกลมมีสีแดง ขอบเรียบ ยกสูง ขนาดเส้นผ่าศูนย์กลาง 1.2-3.0 มม. สร้างเอนไซม์คาตาเลส ออกซิเดส และซูเรียเอส ริคิวดไนเตรท สลายเจลาติน และ อาร์จีนิน ไม่สลาย เอสคิวลิน เคซีน แป้ง ไทโรซีน ทวิน 80 เฟนิลอะลาซีน ไฮโปแซนธิล และแซนธิล สร้างกรดจาก ฟรุกโตส กาแลคโตส กลูโคส กลีเซอรอล กลูโคส กลีเซอรอล แมนโนส แมนนิทอล ไรโบส ซอร์บิตอล และ ซูโครส ไม่สร้างกรดจาก อะมิโนคาบิน อะราบิโนส เซลโลบิโอส อิบูลิน แลคโตส มอลโตส เมลลิบิโอส เมลลิซิโตส แอลฟา-เมธิล-ดี-กลูโคไซด์ อินนอซิทอล แรฟิโนส แรมโนส ซาลิซิน ทริฮาโลส และ ไฮโลส เจริญได้ในสภาวะที่ไม่มีอากาศในอาหารที่เติมไนเตรท เจริญ

ได้เหมาะสมในอาหารที่มี NaCl 15%, pH 7 และที่ 37°C เจริญได้ในอาหารที่มี NaCl 0-28%, pH 5-9 และ เจริญได้ที่ 15-50°C ลักษณะแตกต่างกันจากแบคทีเรียกลุ่มอื่นดังแสดงไว้ในตารางที่ 4.9

ตารางที่ 4.7 DNA-DNA similarity ของ *Lentibacillus* กลุ่มที่ 3

Strain	(% Similarity with labelled strain)		
	JCM11462 ^T	PS11-2	PB7-3
KF1-1	14.2	93	103.4
PB7-3	11.9	93.8	100
PS11-2	11.3	100	103
DB1-1	13.7	95.2	99.4
DS1-3B	13.9	97.7	95.8
DB4-2	11.5	93.4	95.4
DS4-2	11.5	88.2	97.2
DB5-1B	19.4	102.8	112.9
DS6-1	12.5	96.4	103.4
DS7-5	14	96.2	99.8
DB8-6	12.8	95.7	103.4
DB9-1	4.9	78.7	88.3
DS10-3B	17.5	96.8	90.9
DS26-3	13.3	70.8	101.4
CB0-1	11.1	84	70.9
IS40-3	12.9	17	17.1
<i>L. salicampi</i> JCM 11462 ^T	100	13	10.9

ND, not determined.

ตารางที่ 4.8 DNA-DNA similarity ของ *Lentibacillus* กลุ่มที่ 4

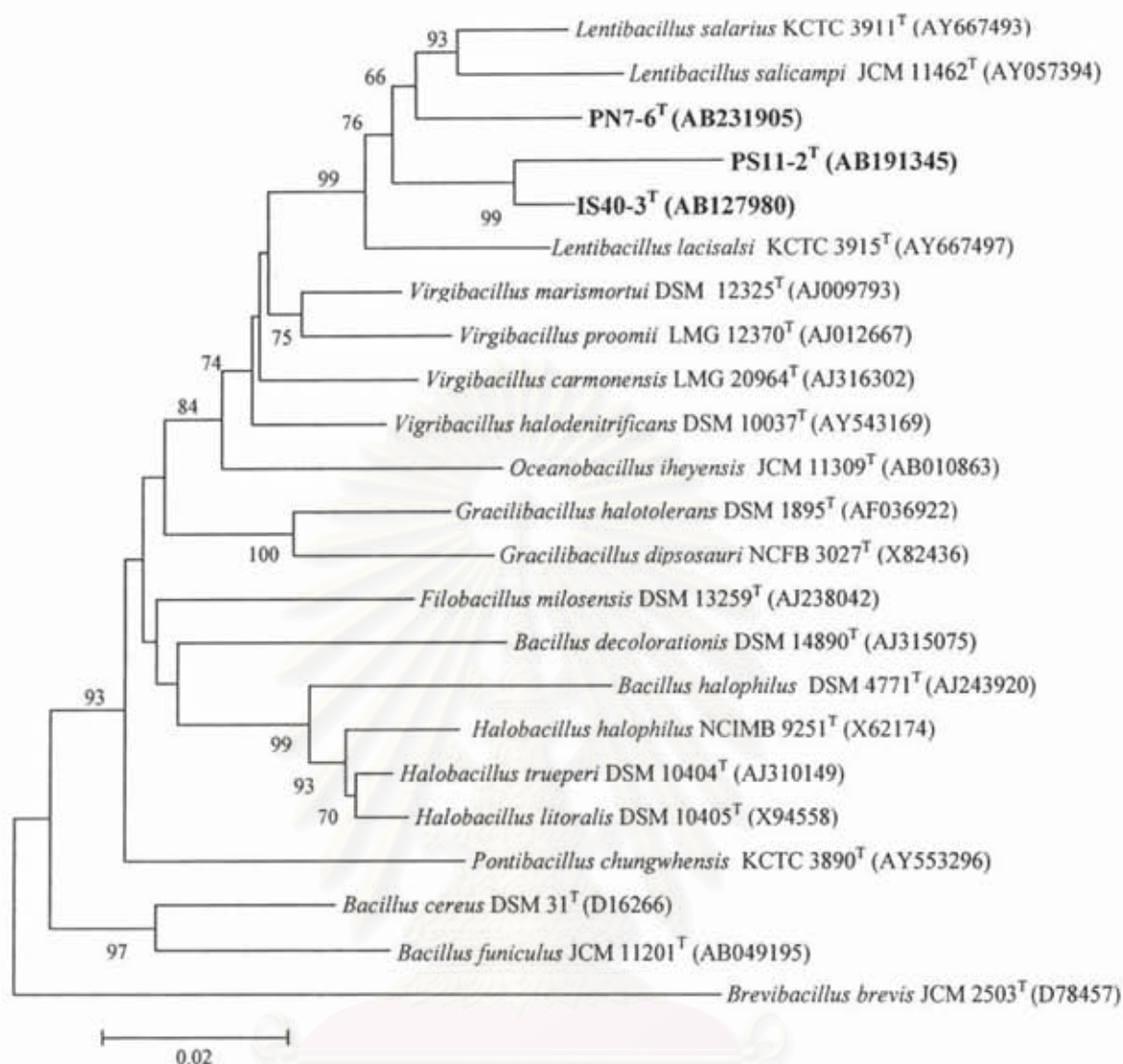
Strain	(% Similarity with labelled strain)			
	PN5-2	PN7-6	JCM11462 ^T	PS11-2
PN5-2	100	98	2.3	3.4
PN7-6	118	100	10.2	12.7
IS40-3	16.2	5.9	18	18.8
<i>L. salicampi</i> JCM 11462 ^T	16.5	16.4	100	4.5
PS11-2	8	6	6.2	100

ตารางที่ 4.9 ลักษณะแตกต่างของ *Lentibacillus* species

Characteristics	IS40-3	PS11-2	PN7-6	KCTC 3911 ^T	JCM 11462 ^T	KCTC3915 ^T
Spore shape	O	S	S	S/O	S/O	S
Pigmentation	-	-	Red	-	-	-
Motility	-	+	-	+	+	+
Colony size (mm, diameter)	1.3-3.2	0.2-0.6	1.2-3.0	NA	0.2-1.3	NA
Maximum growth (°C)	45	40	50	50	40	40
NaCl range (%)	3-30	12-30	3-28	1-20	3-25	5-25
Oxidase	+	+	+	-	+	+
Nitrate reduction	+	-	+	+	+	+
Hydrolysis of aesculin	-	-	-	+	-	-
Hydrolysis of casein	+	-	-	-	+	-
Hydrolysis of Tween 80	+	-	-	-	+	-
Acid from: Cellobiose	-	-	-	NA	w	NA
D-Glucose	+	-	+	+	+	-
D-Galactose	-	-	+	NA	w	NA
D-Fructose	+	-	+	+	-	+
Maltose	-	-	-	+	w	-
D-Mannitol	-	-	+	w	-	-
D-Mannose	-	-	w	+	w	-
D-Ribose	+	-	+	+	-	+
Salicin	-	-	-	-	w	-
Sucrose	w	-	w	NA	-	NA
D-Trehalose	-	-	-	W	-	-
D-Xylose	+	-	-	+	-	w

Strains: *L. salarius* KCTC 3911^T; 3, *L. salicampi* JCM 11462^T; *L. lacisalsi* KCTC 3915^T

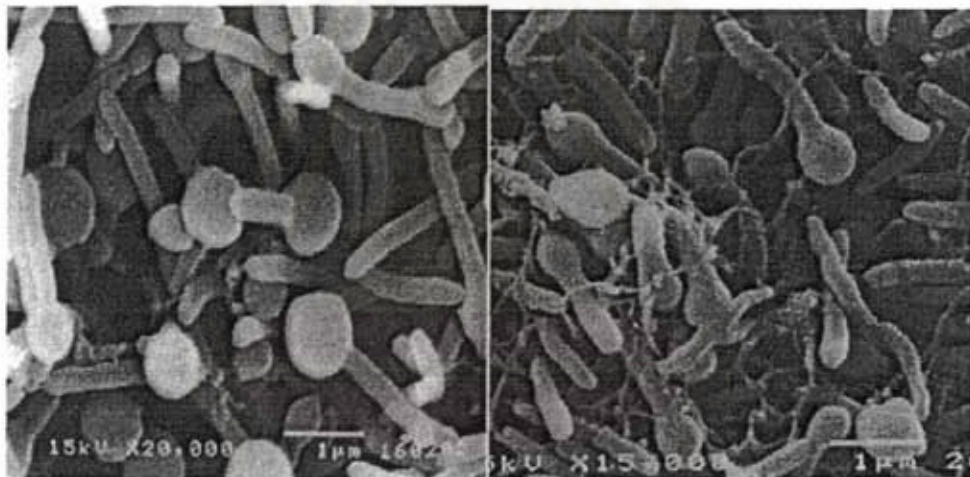
+, positive; -, negative; w, weak; NA, not available. Spore shape: S, spherical; O, oval.



ภาพที่ 4.4 Phylogenetic tree of IS40-3, PS11-2 and PN7-6, based on 16S rDNA sequence.

แบคทีเรีย กลุ่มที่ 5 มีรูปร่างแท่งสร้างสปอร์รูปกลมรีที่ปลายของเซลล์ (ภาพที่ 4.5) มี 2 สายพันธุ์ได้แก่ RF2-5 และ RBU1-1 ทั้ง 2 สายพันธุ์ มี DNA-DNA homology เพียง 17.6 และ 23.4% เมื่อเทียบกับ *Filobacillus milosensis* JCM 12288^T และ RF2-5 มี DNA-DNA homology 16.9% เมื่อเทียบกับ RBU1-1 และจากผลความคล้ายคลึงของ 16S rDNA ของ RF2-5 และ RBU1-1 เมื่อเทียบกับ *Filobacillus milosensis* JCM 12288^T เป็น 97.3 % และ 97.0 % ตามลำดับ (ภาพที่ 4.6) ดังนั้นจึงจัดแบคทีเรียทั้ง 2 สายพันธุ์อยู่ในสกุลเดียวกันและเป็นแบคทีเรียชนิดใหม่ แต่ต่างชนิดกัน (Schlesner และคณะ, 2001)

แบคทีเรียกลุ่มที่ 5 เซลล์มีรูปร่างเป็นแท่ง ข้อมติคสี่แกรมบวก ขนาด 0.4-0.5 x 1.5-4 μm เคลื่อนที่ได้ สร้างสปอร์รูปกลมรีที่ปลายของเซลล์ โคโลนีบนอาหารวุ้น JCM no.168 มีลักษณะกลมมีสีขาวครีม ขอบเรียบ ยกสูง ขนาดเส้นผ่าศูนย์กลาง 0.9-3.9 มม. สร้างเอนไซม์คาตาเลส ออกซิเดส ไม่สร้างซูเรียเอส ไมร์คิวสไนเตรท สามารถสลายเคซีน เจลาติน และ ทวีน 80 ไม่สลายอาร์จินีน DNA แป็ง ไทโรซีน เฟนิลอะลานีน ไฮโปแซนธิล และแซนธิล ไม่สร้างกรดจากอะมิคาลิน อะราบิโนส เซลโลบิโอส แลคโตส มอลโตส เมลลิบิโอส ฟรุคโตส กาแลคโตส กลูโคส กลีเซอรอล อินูลิน แลคโตส มอลโตส แมนนิทอล แมนโนส เมลลิบิโอส เมลิซิโดส แอลฟา-เมทิลกลูโคไซด์ อินนอซิทอล แรฟิโนส แรมโนส ไรโบส ซาลิซิน ซอร์บิตอล ซูโครส ทรีฮาโลส และไซโลส เจริญในสภาวะที่ไม่มีอากาศในอาหารที่เติมไนเตรท เจริญได้ในอาหารที่มี NaCl 2-30 % และเจริญได้เหมาะสมในอาหารที่มี เจริญได้ NaCl 10-20%, pH 7 และที่ 37°C เจริญได้ที่ 15-48 °C และมี *meso*-DAP เป็นองค์ประกอบของผนังเซลล์ ลักษณะแตกต่างกันของทั้งสองสายพันธุ์ดังแสดงไว้ในตารางที่ 4.10



RF2-5

RBU1-1

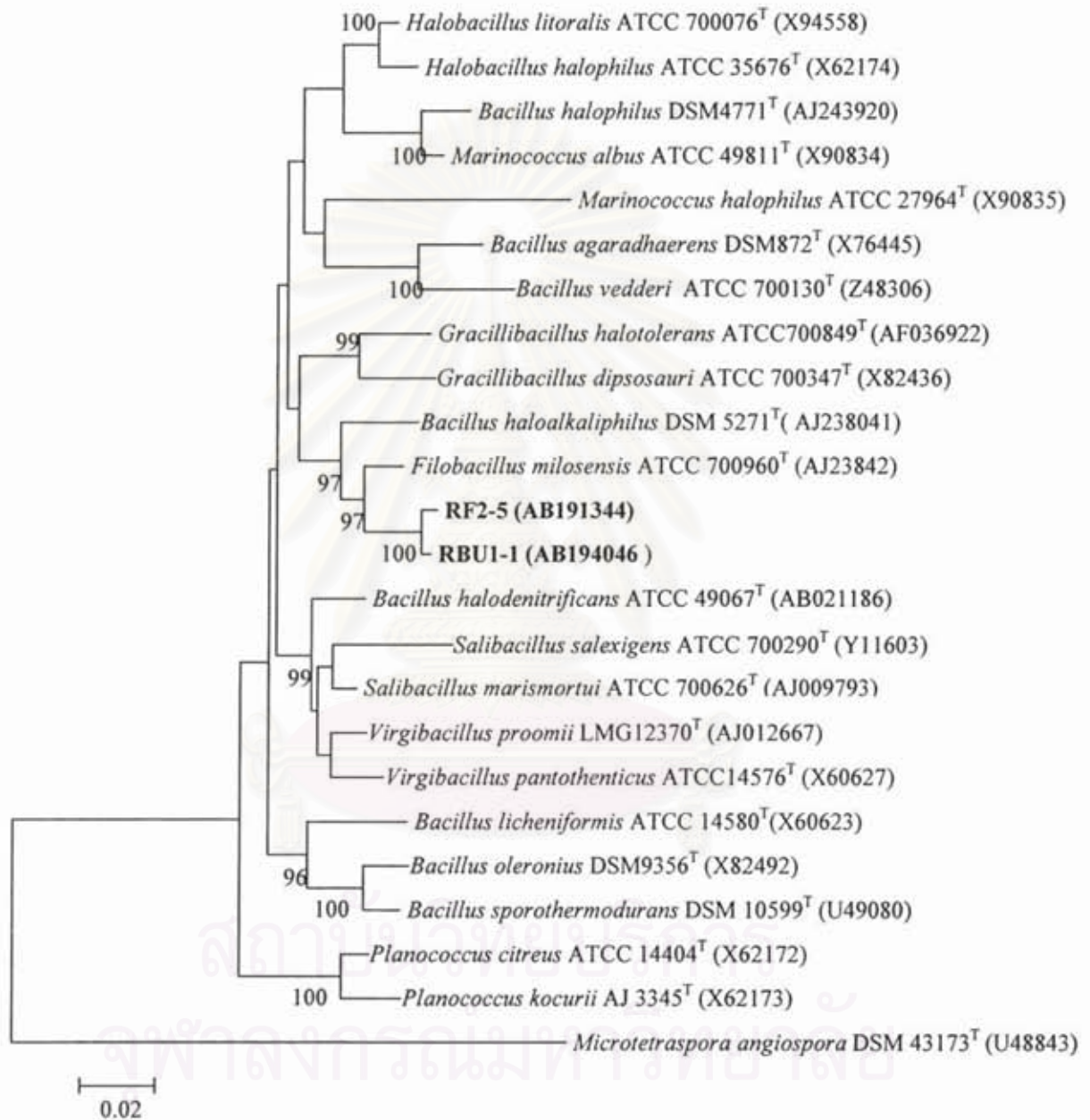
ภาพที่ 4.5 ลักษณะเซลล์และสปอร์ของแบคทีเรียสกุล *Filobacillus* สายพันธุ์ RF2-5 และ RBU1-1

ตารางที่ 4.10 ลักษณะแตกต่างของ *Filobacillus* species

Characteristics	RF2-5	RBU1-1	JCM 12288 ^T
Spore shape	Oval to spherical	Oval to spherical	Spherical
NaCl range (% w/v)	2-30	2-30	2-23
Growth at pH 6.0	+	+	-
Hydrolysis of arginine	+	+	-
gelatin	+	+	-
casein	+	+	-

starch	+	+	-
Acid from glucose	+	-	-
salicin	+	-	-
Murein type	<i>meso</i> -DAP	<i>meso</i> -DAP	Ornithine

+, positive; -, negative.



ภาพที่ 4.6 Phylogenetic tree of RF2-5 and RBUI-1 based on 16S rDNA sequence

กลุ่มที่ 6 และ 7 มีแบคทีเรีย 7 สายพันธุ์ กลุ่มที่ 6 ได้แก่ SSK3-2, SSK9-1, SSK10-5, PN2-3, PN2-10, และ PN5-1 กลุ่มที่ 7 ได้แก่ SSK2-2 พบว่าแบคทีเรียกลุ่มที่ 6 มี DNA-DNA similarity มากกว่า 70 % เมื่อเทียบกับ *Virgibacillus halodenitrificans* JCM 12304^T (=DSM 10037^T) และ SSK3-2 (ตารางที่

4.11) และพบว่า SSK3-2 มีความคล้ายคลึงของ 16S rDNA เป็น 99.8 % เมื่อเทียบกับ *V. halodenitrificans* JCM 12304^T (ภาพที่ 4.7) และ SSK2-2 มีคล้ายคลึงเป็น 98.8% กับ *V. picturae* DSM 14867^T แบคทีเรียทั้งสองกลุ่มนี้มี *meso*-DAP เป็นองค์ประกอบของผนังเซลล์ ดังนั้นจึงจัดแบคทีเรียทั้ง 7 สายพันธุ์อยู่ในสกุลเดียวกัน และกลุ่มที่ 6 จำนวน 6 สายพันธุ์เป็น *V. halodenitrificans* และกลุ่มที่ 7 หนึ่งสายพันธุ์คล้ายคลึงกับ *V. picturae* (Arahal และคณะ 2000, Heyrman และคณะ 2003, Yoon และคณะ 2004)

แบคทีเรียกลุ่มที่ 6 และ 7 เซลล์มีรูปร่างเป็นแท่ง ข้อมติคี่แกรมบวก ขนาด 0.4-0.5 x 1.5-3 µm เคลื่อนที่ได้ สร้างสปอร์กลมแบบellipsoidal ที่ปลายของเซลล์ โคลนีนบนอาหารรุ่น JCM no.168 มีลักษณะกลมมีสีขาวครีม ขอบเรียบ ยกสูง สร้างเอนไซม์คาตาเลส ออกซิเดส สร้างยูเรียเอส ริควิสไนเดรท ใช้อาร์จินีนย่อยแป้ง ไม่สามารถย่อยเคซีน เจลาติน ไทโรซีน DNA และ ทวิน 80 เฟนิลอะลานีน ไฮโปแซนธิล และแซนธิล สร้างกรดจากอะราบิโนส ฟรุกโตส กาแลคโตส กลูโคส ไรโบส และไซโลส ไม่สร้างกรดจากอะมิคาลิน เซลโลบิโอส แลคโตส มอลโตส เมลลิวไรโอส กลีเซอรอล อินูลิน แลคโตส มอลโตส แมนนิทอล แมนโนส เมลลิวไรโอส เมลลิวไรโอส แอลฟา-เมทิลกลูโคไซด์ อินนอซิทอล แรฟิโนส แรมโนส ไรโบส ซาลิซิน ซอร์บิตอล ซูโครส และ ทรีฮาโลส เจริญได้ในอาหารที่มี NaCl 3-25 % และเจริญได้เหมาะสมในอาหารที่มี NaCl 10% เจริญได้ที่ 10-45 °C และ pH 6-9 และมี *meso*-DAP เป็นองค์ประกอบของผนังเซลล์ ลักษณะแตกต่างกันของทั้ง 7 สายพันธุ์ดังแสดงไว้ในตารางที่ 4.12

ตารางที่ 4. 11 DNA-DNA similarity ของ *Virgibacillus* species.

Strain	(% Similarity with labelled strain)	
	SSK3-2	JCM 12304 ^T
Group VI SSK3-2	100	70.0
SSK9-1	94.3	77.3
SSK10-5	72.1	70.0
PN2-3	92.0	74.4
PN2-10	90.6	73.9
PN5-1	96.9	74.7
<i>V. halodenitrificans</i> JCM 12304 ^T	70.0	100
Group VII SSK2-2	10.8	12.8

ND, not determined

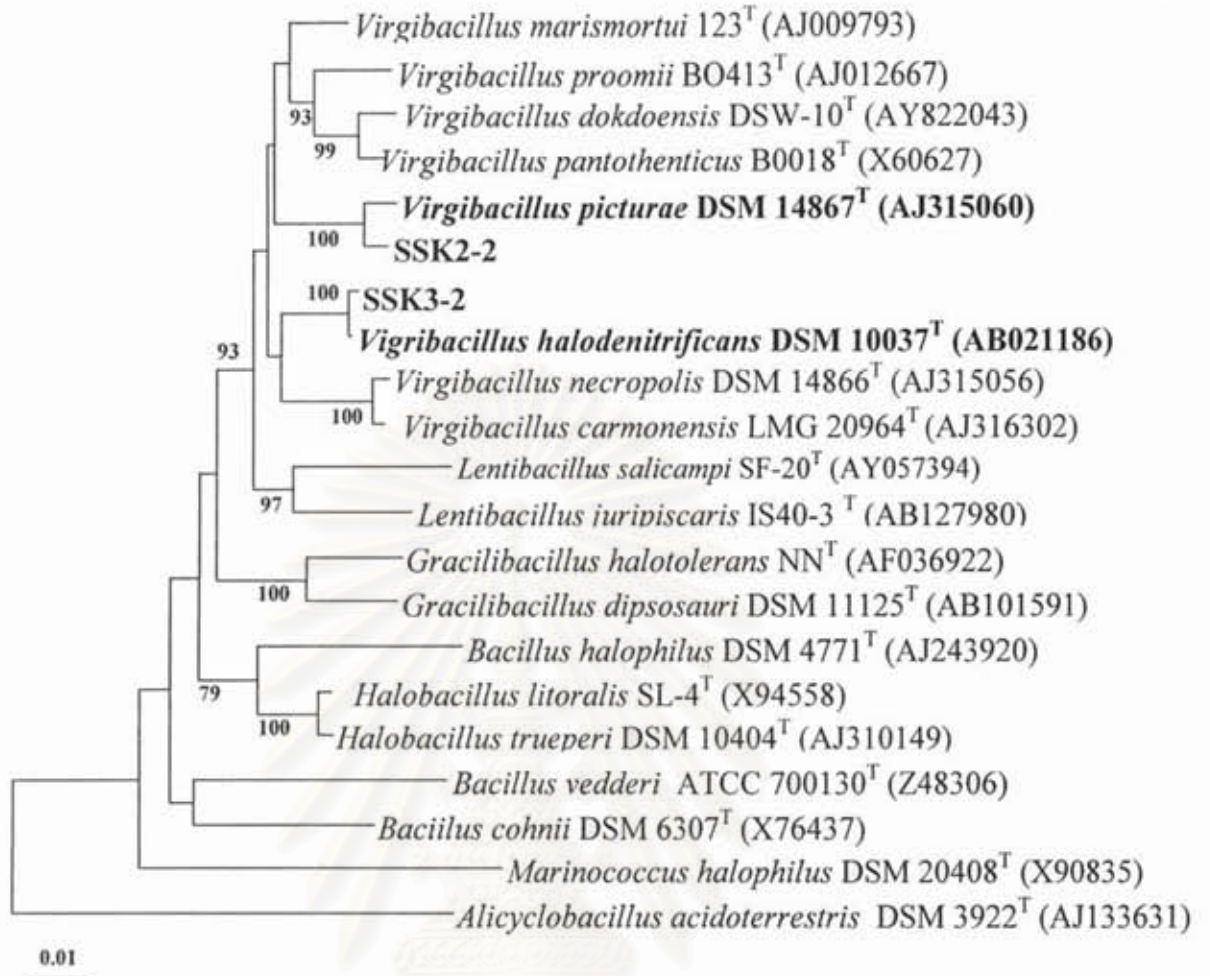
ตารางที่ 4.12 ลักษณะแตกต่างของ *Virgibacillus* species.

Characteristics	Group VI (6)	<i>V. halodenitrificans</i> JCM 12304 ^T	Group VII (1)	<i>V. picturæ</i> KCTC 3821 ^T
Spore shape	E	E	E/S	E/S
Gram strain	V	V	+	+
Spore position	T/ST	T/ST	T	T
Nitrate reduction	+	+	-	+
Hydrolysis of casein	+	+	w	w
Hydrolysis of gelatin	+	+	V	V
Growth at 45 °C	+	+	-	-
Growth in 0% NaCl	V	V	-	w
Acid from:				
D-Fructose	+(-1)	+	+	w
Galactose	-(+1)	+	+	w
Glucose	+	+	+	w
Mannitol	-(+1)	V(+1)	+	w
Mannose	-(+2)	+	+	w
Melibiose	-	-	-	w
Rhamnose	-	-	-	-
Trehalose	-	+	-	V

+, positive; w, weak positive; -, negative; V, variable; ND, not determined.

E, ellipsoidal; S, spherical; C, central; ST, subterminal; T, terminal.

ศูนย์บริการ
จุพาลงกรณ์มหาวิทยาลัย



ภาพที่ 4.7 Phylogenetic tree of SSK2-2 and SSK3-2 based on 16S rDNA sequence

สถาบันวิทยบริการ
จุฬาลงกรณ์มหาวิทยาลัย

กลุ่มที่ 8 มีแบคทีเรีย 3 สายพันธุ์ได้แก่ CS2 CS9-1 และ CS10 มี DNA-DNA similarity 41.7-44.2% เมื่อเทียบกับ *Marinococcus halophilus* JCM 02479^T (ตารางที่ 4.13) และพบว่า CS2 มีผลความคล้ายคลึงของลำดับเบสในช่วง 16S rDNA เป็น 99.5% เมื่อเทียบกับ *Marinococcus halophilus* JCM 02479^T (= DSM 20408^T) ดังแสดงไว้ในภาพที่ 4.8 และ พบว่ามี meso-DAP เป็นองค์ประกอบของผนังเซลล์ ดังนั้นจึงจัดแบคทีเรียทั้ง 3 สายพันธุ์อยู่ในสกุลเดียวกัน และเป็นแบคทีเรีย *Marinococcus* (Li และคณะ 2005)

แบคทีเรียกลุ่มที่ 8 เซลล์มีรูปร่างกลม ข้อมติคสี่แกรมบวก ขนาด 0.4-0.5 x 1.5-3 µm เคลื่อนที่ได้ ไม่สร้างสปอร์ โคโลนิบนอาหารร่วน JCM no.168 มีลักษณะกลมมีสีขาวครีม ขอบเรียบ ยกสูง สร้างเอนไซม์คาตาเลส ย่อยเคซีน ไม่สร้างเอนไซม์ออกซิเดส ไนริควิสไนเตรท ไม่สร้างอินโดล ไม่สามารถย่อยไทโรซีน ทวิน 80 เฟนิล อะลานีน ไฮโปแซนธิล และแซนธิล สร้างกรดจากอะรามิโนส ฟรุกโตส และมอลโตส ไม่สร้างกรดจากอินูลิน แมนโนส เมลลิบิโอส เมลิซิโดส แรพีโนส ซาลิซิน ซอร์บิตอล ซูโครส ทรีฮาโลสและไซโลส เจริญได้ในอาหารที่มี NaCl 5-20 % และเจริญได้เหมาะสมในอาหารที่มี NaCl 10% เจริญได้ที่ 15-45 °C และ pH 5-9 และมี meso-DAP เป็นองค์ประกอบของผนังเซลล์ ลักษณะแตกต่างกันของทั้ง 3 สายพันธุ์ดังแสดงไว้ในตารางที่ 4.14

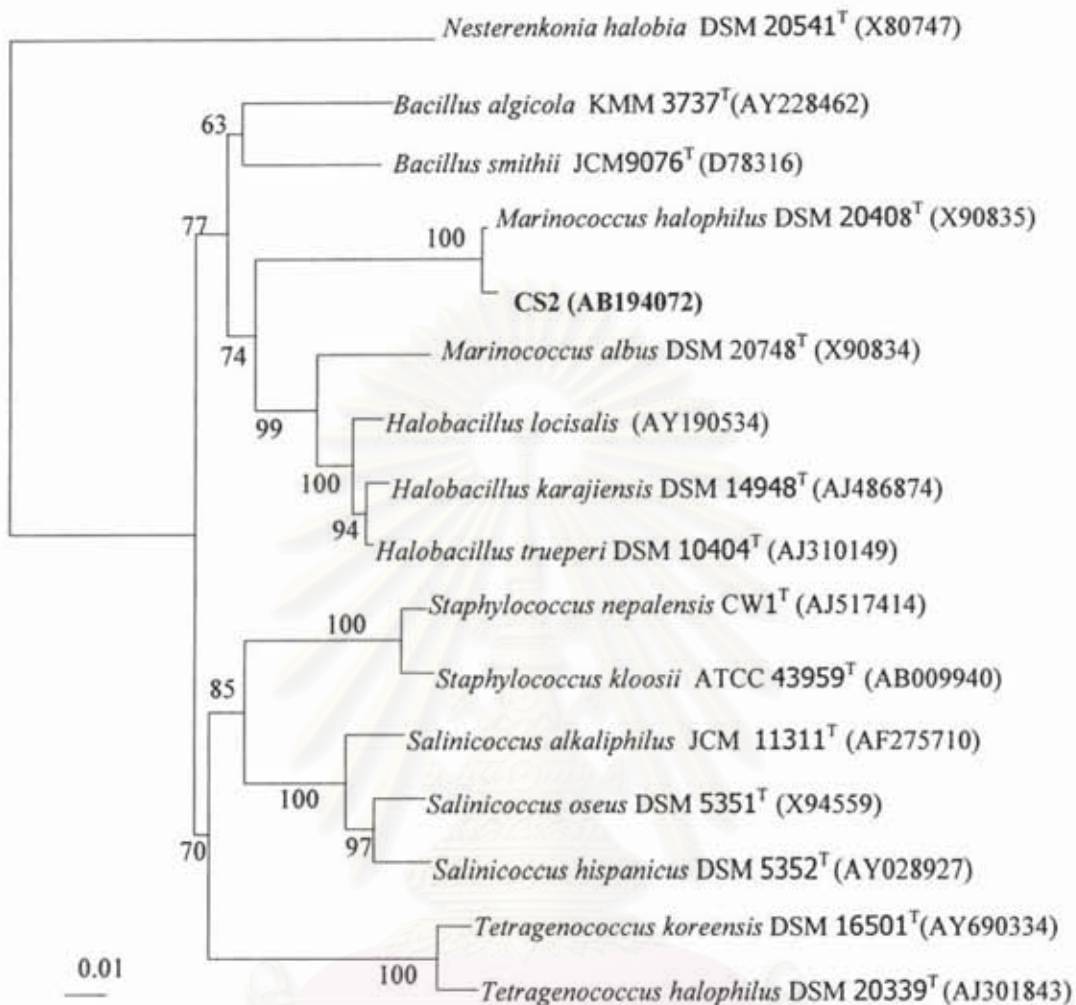
ตารางที่ 4.13 DNA-DNA similarity ของ *Marinococcus* species

Strain	(%) Similarity with labelled strain
	JCM 02479 ^T
CS2	42.9
CS9-1	44.2
CS10	41.7
<i>M. halophilus</i> JCM 02479 ^T	100

ตารางที่ 4.14 ลักษณะแตกต่างของ *Marinococcus* species

Characteristics	JCM			
	CS2	CS9-1	CS10	02479 ^T
Colony pigment	Yellow	Yellow	Yellow	Yellow
NaCl range (%)	5-20	5-20	5-20	5-20
pH range	5-9	5-9	6-8	6-10
Acid from				
L-Arabinose	+	+	+	+
D-Cellobiose	+	+	-	+
D-Fructose	+	+	+	+
Galactose	+	+	-	+
Glucose	+	+	-	+
Glycerol	+	+	-	+
Inulin	-	-	-	-
myo-Inositol	+	+	-	+
Lactose	+	+	-	+
Maltose	+	+	+	+
Mannitol	-	-	w	+
Mannose	-	-	-	+
Melibiose	-	-	-	+
Melezitose	-	-	-	+
D-Raffinose	-	-	-	+
Rhamnose	-	-	w	+
Ribose	w	w	w	w
Salicin	-	-	-	-
Sucrose	-	-	-	-
Sorbitol	-	-	-	-
Trehalose	-	-	-	-
Xylose	-	-	-	w
Hydrolysis of : Arginine				
Gelatin	+	+	-	-
Casein	+	+	+	+
Tween 80	-	-	-	-
Starch	+	+	-	+
DNA	w	w	-	w

+, positive; w, weak positive; -, negative.



ภาพที่ 4.8 Phylogenetic tree of CS2 based on 16S rDNA sequence.

กลุ่มที่ 9 มีแบคทีเรีย 15 สายพันธุ์ ได้แก่ PN1-2, PN1-7, PN1-8, PN1-9, PN1-10, PN2-2, PN2-9, PN, 2-14, PN15, PN2-16, PN2-20, PN7-1, PN7-7, PN7-8 และ PN7-9 พบว่า PN1-2 มี DNA-DNA similarity มากกว่า 76.6% เมื่อเทียบกับแบคทีเรีย 14 สายพันธุ์ และ 2.0-29.0% เมื่อเทียบกับ *Salinicoccus roseus* JCM 14630^T (=DSM 5351^T) (ตารางที่ 4.15) และจากผลความคล้ายคลึงของลำดับเบสในช่วง 16S rDNA ของ PN1-2 เมื่อเทียบกับ *Salinicoccus roseus* JCM 14630^T เป็น 97.3 % (ภาพที่ 4.9) *Salinicoccus roseus* DSM 5351^T และ PN1-2 มี L-lysine เป็นองค์ประกอบของผนังเซลล์ ดังนั้นจึงจัดแบคทีเรียชนิดใหม่ทั้ง 15 สายพันธุ์ในสกุล *Salinicoccus* (Ventosa และคณะ, 1990)

แบคทีเรียกลุ่มที่ 9 เซลล์มีรูปร่างกลม ขั้วมดิสแกรมบวก ขนาด 0.6-0.8 μm ไม่เคลื่อนที่ ไม่สร้างสปอร์ โคโลนิบนอาหารวุ้น JCM no.168 มีลักษณะกลมมีสีส้ม ขอบเรียบ ยกสูง สร้างเอนไซม์

กาตาลเลสและ ออกซิเคส ไม่สร้างยูเรียเอส ไม่รีดิวสไนเตรท ไม่สามารถย่อยเคซีน อาร์จินีน เจลาติน แป้ง และทวีน 80 ไม่สร้างอินโคล เมธิลเรด และ VP ไม่ใช่ซิเตรทและเอสคิวลิน สร้างกรดจาก ฟรุกโตส กลูโคส กลีเซอรอล ไรโบส และ ทรีฮาโลส ไม่สร้างกรดจากอะมิคคาติน อะราบิโนส เซลโลบิโอส กาแลกโตส กลูโคเนท อินนอซิทอล อินูลิน แลคโตส มอลโตส แมนนิทอล แมนโนส เมลิบิโอส เมลิซิโตส เมทิลกลูโคไซด์ แรฟิโนส แรมโนส ซาลิซิน ซอร์บิตอล ซูโครส และ ทรีฮาโลส ไซโลส เจริญได้ในอาหารที่มี NaCl 1.5-25 % และเจริญได้เหมาะสมในอาหารที่มี NaCl 10% เจริญได้ที่ 15-45 °C และ pH 6-9 และมี meso-DAP เป็นองค์ประกอบของผนังเซลล์ ลักษณะแตกต่างกันของทั้ง 4 สายพันธุ์ดังแสดงไว้ในตารางที่ 4.16

ตารางที่ 4.15 DNA-DNA similarity ของ *Salinicoccus*

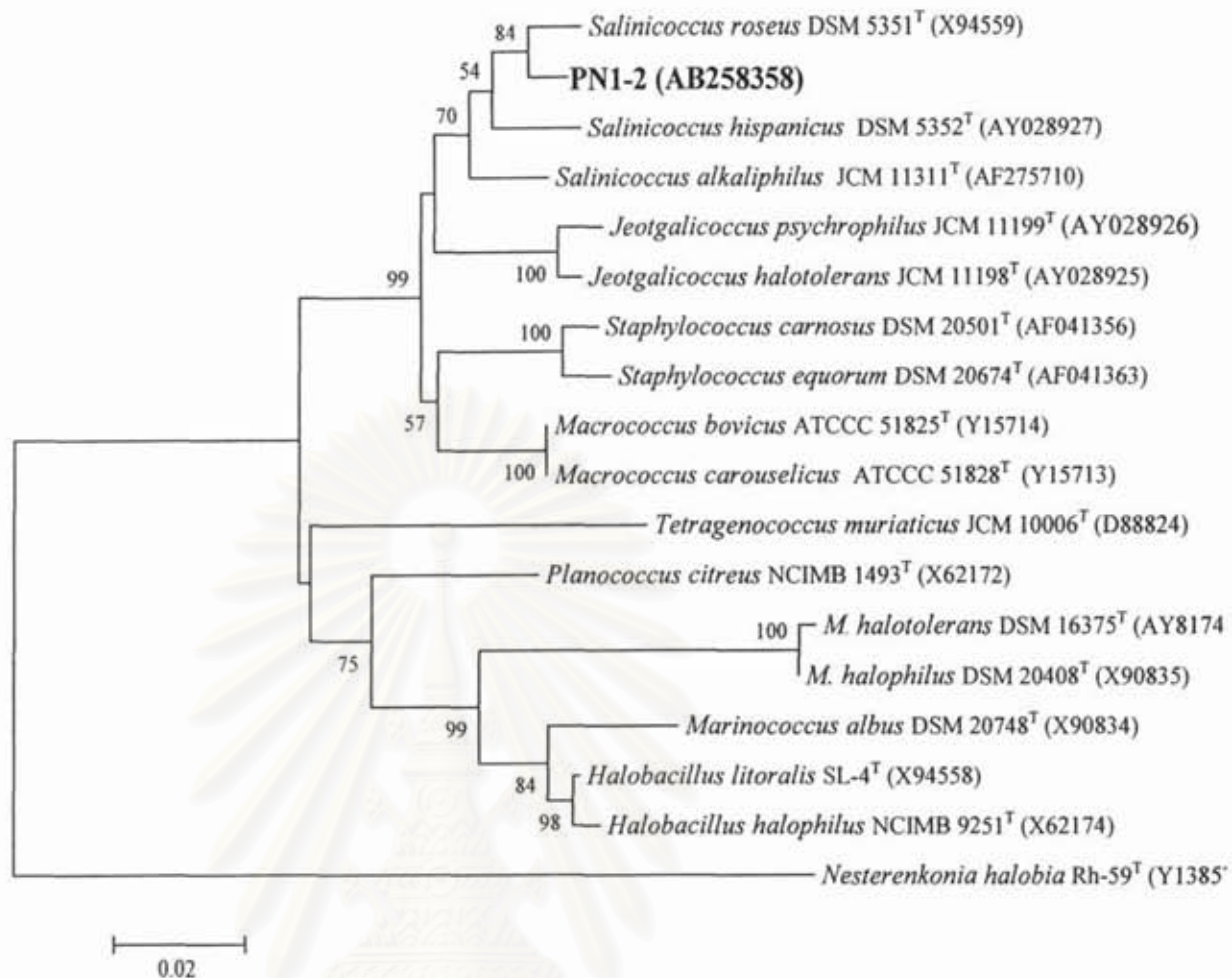
Strain	DNA-DNA relatedness with labeled strain (%):	
	PN1-2 ^T	JCM 14630 ^T
PN1-7	97.4	16.8
PN1-8	89.0	29.0
PN1-9	95.4	10.3
PN1-10	89.9	3.0
PN2-2	76.6	5.6
PN2-9	98.8	16.1
PN2-14	92.9	17.2
PN2-15	93.4	9.9
PN2-16	82.9	2.0
PN2-20	96.7	7.3
PN7-1	91.2	16.8
PN7-7	96.4	23.0
PN7-8	85.0	14.0
PN7-9	92.5	19.0
PN1-2 ^T	100	17.3
<i>S. roseus</i> JCM 14630 ^T	21.7	100

ตารางที่ 4.16 ลักษณะแตกต่างของ *Salinicoccus* species

Characteristics	1	2	3	4	5
Cell size (µm)	0.6-0.8	1-2.5	1-2.5	0.5-0.8	0.6-1.1
Colony pigmentation	Orange	Pink-red	Reddish orange	Pinkish	Light yellow
pH range for growth	6-9	5-9	6-9	6.5-11.5	7.0-8.0
Optimum pH for growth	8.5	7.5	8.0	9.5	NA
NaCl range for growth (%)	1.5-25	0.5-25	0.9-25	0.0-25	0.0-20
Temperature range for growth (°C)	15-45	15-37	15-40	10-49	4-42
Optimum temperature for growth (°C)	37	37	37	32	30-35
Methyl red test	-	-	+	-	NA
Urease	-	-	+	+	-
Nitrate reduction	-	-	+	+	+
Hydrolysis of:					
Casein	-	+	-	-	-
Aesculin	-	-	+	+	-
Gelatin	-	+	+	-	NA
Tween 80	-	+	-	-	-
Starch	-	+	-	-	-
Acid production from :					
Fructose	+	-	+	-	-
Galactose	-	-	+	-	-
D-Glucose	+	-	+	+	-
Maltose	-	-	+	-	-
D-Mannitol	-	-	+	+	+
Sucrose	-	-	NA	-	-

Strains: 1, PN1-2; 2, *Salinicoccus roseus* DSM 5351^T (data from Ventosa *et al.*, 1990); 3, *S. hispanicus* DSM 5352^T (Ventosa *et al.*, 1992); 4, *S. alkaliphilus* JCM 11311^T (Zhang *et al.*, 2002); 5, *Jeotgalicoccus halotolerans* JCM 11198^T (Yoon *et al.*, 2003).

+, positive; -, negative; NA, no data available.



ภาพที่ 4.9 Phylogenetic tree of PN1-2 based on 16S rDNA sequence

กลุ่มที่ 10 มีแบคทีเรีย 4 สายพันธุ์ได้แก่ DS26-2, KS11-1, KS87-5 และ PB12 มี DNA-DNA similarity มากกว่า 97.4 % เมื่อเทียบกับ กับ *Chromohalobacter salexigens* KCTC 12941^T และ DS26-2 มี DNA-DNA similarity มากกว่า 85.6% เมื่อเทียบกับ KS11-1, KS87-5 และ PB12 (ตารางที่ 4.17) และจากผลความคล้ายคลึงของ 16S rDNA ของ DS26-2 เมื่อเทียบกับ *Chromohalobacter salexigens* KCTC 12941^T เป็น 99.3 % (ภาพที่ 4.10) และมี meso-DAP เป็นองค์ประกอบของผนังเซลล์ ดังนั้นจึงจัดแบคทีเรียทั้ง 4 สายพันธุ์อยู่ในสกุลเดียวกัน และเป็น *Chromohalobacter salexigens* (Arahal และคณะ, 2001)

แบคทีเรียกลุ่มที่ 10 เซลล์มีรูปร่างเป็นแท่ง ขัอมติคีแกรมลบ ขนาด 0.4-0.5 × 1.5-3 μm เคลื่อนที่ได้ ไม่สร้างสปอร์ โคโลนิบนอาหารร่วน JCM no.168 มีลักษณะกลมมีสีขาวครีม ขอบเรียบ ยกสูง สร้างเอนไซม์คาตาเลส ออกซิเดส สร้างยูเรียเอส ริควิสไนเตรท และสามารถย่อยแป้ง ไม่สามารถย่อยเคซีน เจลาติน ไทโรซีน DNA เบนนิลอะลานีน ไฮโปแซนธิล และแซนธิล ไม่สร้างอินโดล สร้างกรดจากอะรามิโนส ฟรุคโตส กาแลคโตส กลูโคส ไรโบส และไซโลส ไม่สร้างกรด

จากอะมิกดาลิน เซลโลบิโอส กลีเซอรอล อินูลิน อินนอซิทอล แลคโตส มอลโตส แมนนิทอล แมนโนส เมลิบิโอส เมลิซิโดส แรพีโนส แรมโนส ซาลิซิน ซอร์บิตอล ซูโครส และ ทรีฮาโลส เจริญได้ในอาหารที่มี NaCl 3-25 % และเจริญได้เหมาะสมในอาหารที่มี NaCl 10% เจริญได้ที่ 10-45 °C และ pH 6-9 และมี *meso*-DAP เป็นองค์ประกอบของผนังเซลล์ ลักษณะแตกต่างกันของทั้ง 4 สายพันธุ์ดังแสดงไว้ในตารางที่ 4.18

ตารางที่ 4.17 DNA-DNA similarity ของ *Chromohalobacter* spp.

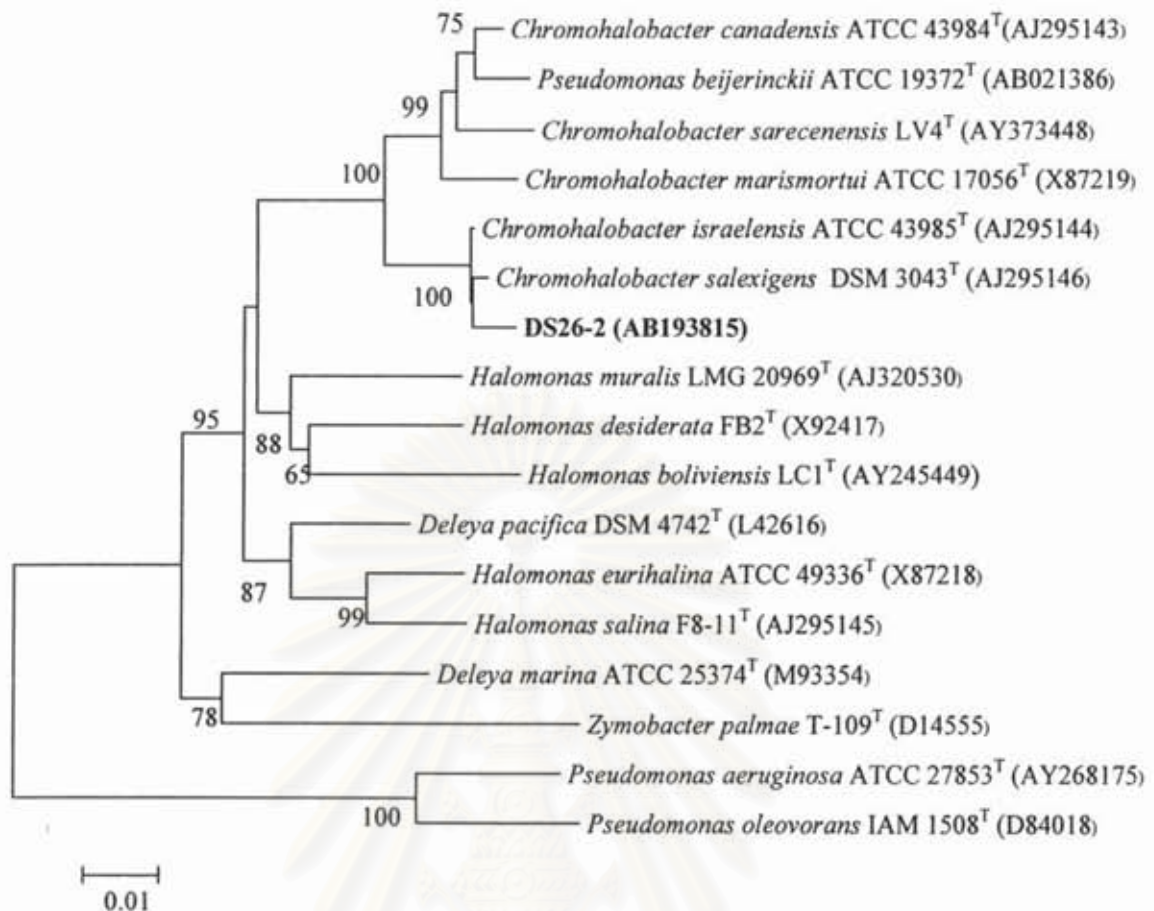
Strain	% Homology with labeled strains	
	KTCC 12941 ^T	DS26-2
DS26-2	97.4	100.0
KS11-1	106.1	102.9
KS87-5	102.3	101.1
PB12	105.6	100.6
<i>C. salexigens</i> KCTC 12941 ^T	100.0	85.6

ตารางที่ 4.18 ลักษณะแตกต่างกันของ *Chromohalobacter* spp.

Characteristics	KTCC				
	DS26-2	KS87-5	KS11-1	PB12	12941 ^T
Cell shape	Rods	Rods	Rods	Rods	Rods
Temperature range (°C)	10-45	10-45	10-45	10-45	10-45
NaCl range (%)	3-25	3-25	3-25	3-25	0.9-25
pH range	6-9	6-9	6-9	6-9	5-10
Acid production from					
Amygdalin	-	-	-	-	-
L-Arabinose	+	+	+	+	+
D-Cellobiose	-	w	-	w	w
D-Fructose	+	+	+	+	+
Galactose	+	+	+	+	+
Glucose	+	+	+	+	+
Glycerol	-	-	-	-	-
Inulin	-	-	-	-	-

myo-Inositol	-	-	-	-	-
Lactose	-	-	-	-	-
Maltose	-	-	-	-	-
Mannitol	-	-	-	-	-
Mannose	-	-	-	-	w
Melibiose	-	-	-	-	-
Melzitose	-	-	-	-	-
Raffinose	-	-	-	-	-
Rhamnose	-	-	-	-	-
Ribose	+	+	+	+	+
Salicin	-	-	-	-	-
Sucrose	-	-	-	-	-
Sorbitol	-	-	-	-	-
Trehalose	-	-	-	-	-
Xylose	+	+	+	+	+
Urease	+	+	+	+	-
Hydrolysis of					
Tyrosine	-	-	-	-	-
Gelatin	-	-	-	-	-
Casein	-	-	-	-	-
Starch	+	+	+	+	+
DNA	-	-	-	-	-
Indole	-	-	-	-	-
Cell wall composition	DAP	DAP	NT	NT	DAP

+, positive; w, weak positive; -, negative; DAP, *meso*-diaminopimelic acid; NT, not tested.



ภาพที่ 4.10 Phylogenetic tree of DS26-2 based on 16S rDNA sequence

ผลการศึกษาทางอนุกรมวิธานของแบคทีเรียชอบเค็มสูง พบว่าสามารถแบ่งกลุ่มแบคทีเรียชอบเค็มสูงได้ดังนี้

กลุ่มแบคทีเรียชอบเค็มสูงที่มีรูปร่างแท่งทั้งหมด 10 สายพันธุ์ (กลุ่ม A) ได้แก่ DB1-1, DB1-11, DB1-31, DS2-5, DB10-5, IB20-2, IB60-1, IS10-4, IS30-1 และ IS50-2(1) และแบคทีเรียชอบเค็มสูงที่มีรูปร่างกลม กลุ่ม B (1 สายพันธุ์) ได้แก่ RF6 พบว่าแบคทีเรียกลุ่ม A มี DNA-DNA similarity มากกว่า 70 % เมื่อเทียบกับ *H. salinarum* JCM 8978^T และกลุ่ม B มี DNA-DNA similarity 79.9 % เมื่อเทียบกับ *H. saccharolyticus* JCM 8878^T (ตารางที่ 4.19) และจากผลความคล้ายคลึงของ 16S rDNA ของ DS2-5 เมื่อเทียบกับ *H. salinarum* JCM 8978^T เป็น 99.9% และ RF6 เมื่อเทียบกับ *H. saccharolyticus* JCM 8878^T เป็น 99.3% (ภาพที่ 4. 11) ดังนั้นจึงจัดแบคทีเรียทั้ง 10 สายพันธุ์ (กลุ่ม A) อยู่ในสกุลเดียวกันและเป็น *H. salinarum* (Kamekura และ Dyal-Smith, 1995) ส่วน RF6 เป็น *H. saccharolyticus* (Montero และคณะ 1989)

แบคทีเรียกลุ่ม A เซลล์มีรูปร่างเป็นแท่ง ข้อมติคี่แกรมลบ ขนาด 0.4-0.5 x 1.5-3 μm เคลื่อนที่ได้ ไม่สร้างสปอร์ โคลนบนอาหารร่วน JCM no.168 มีลักษณะกลมมีสีแดง ชอบเรียบ ยกสูง สามารถ

ย่อยเคซีน และเจลาติน แต่ไม่สามารถย่อยอาร์จินินและทรีน 80 ไม่สร้างกรดจากเซลโลบิโอส กลูโคส แลคโตส แมนนิทอล เมลลิบิโอส แรฟิโนส ซูโครส และ ทรีฮาโลส ไม่สามารถใช้อะราบิโนส กลูโคส ฟรุคโตส กาแลคโตส แรฟิโนส ไซโลส อาร์จินีน กลูตามิกแอซิก และเซอรินเป็นแหล่งคาร์บอน เจริญได้ในอาหารที่มี NaCl 15-30 % และเจริญได้ที่ 10-45 °C และ pH 6-9 ลักษณะแตกต่างกันของ ทั้ง 2 กลุ่มแสดงไว้ในตารางที่ 4.20

ตารางที่ 4.19 DNA-DNA similarity ของแบคทีเรีย Group A และ B

Strain	% Similarity with labelled strains	
	JCM 8978 ^T	JCM 8876 ^T
Group A		
DB1-1	101.1	15.9
DB1-11	98.5	1.6
HDB1-31	92.3	4.7
DS2-5	89.5	3
DB10-5	98.8	2.7
IB20-2	94.6	13.9
IB60-1	92.9	8.9
IS10-4	87.3	2.5
IS30-1	94.6	4.8
IS50-2(1)	97.3	16.7
<i>H. salinarum</i> JCM 8978 ^T	100	8.8
Group B	RF6	JCM 8878 ^T
1. RF6	100	79.9
<i>H. saccharolyticus</i> JCM 8878 ^T	88.5	100

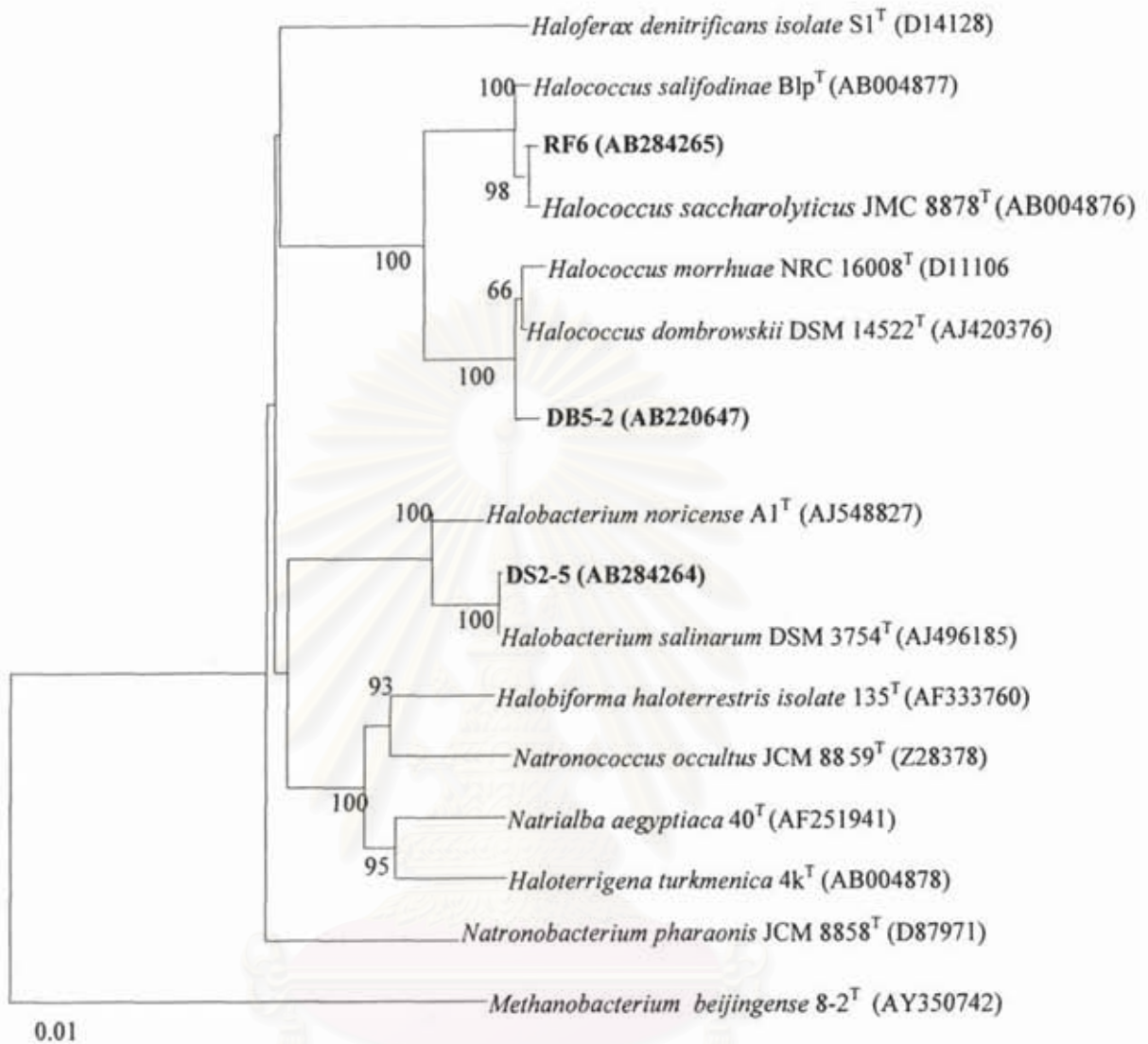
จุฬาลงกรณ์มหาวิทยาลัย

ตารางที่ 4.20 ลักษณะของแบคทีเรียชอบเค็มสูง Group A และ B

Characteristics	Group A	JCM 8978 ¹	Group B	JCM 8878 ¹
NaCl range (%)	15-30	15-30	15-30	15-30
Hydrolysis of				
Arginine	-	-	-	-
Casein	+	+	+	+
Gelatin	+	+	+	+
Tween 80	-	-	-	-
Acid from				
Arabionose	-	-	-	-
Cellobiose	-	-	-	-
Glucose	-	-	-	-
Lactose	-	-	-	-
Mannitol	-	-	-	-
Melibiose	-	-	-	-
Raffinose	-	-	-	-
Sucrose	-	-	-	-
Trehalose	-	-	-	-
Utilization of				
Arabionose	-	-	-	-
Glucose	-	-	-	-
Fructose	-	-	-	-
Galactose	-	-	-	-
Raffinose	-	-	-	-
Xylose	-	-	-	-
Arginine	-	-	-	-
Glutamic acid	-	-	-	-
Serine	-	-	-	-

+, positive; -, negative.

สถาบันวิทยบริการ
จุฬาลงกรณ์มหาวิทยาลัย

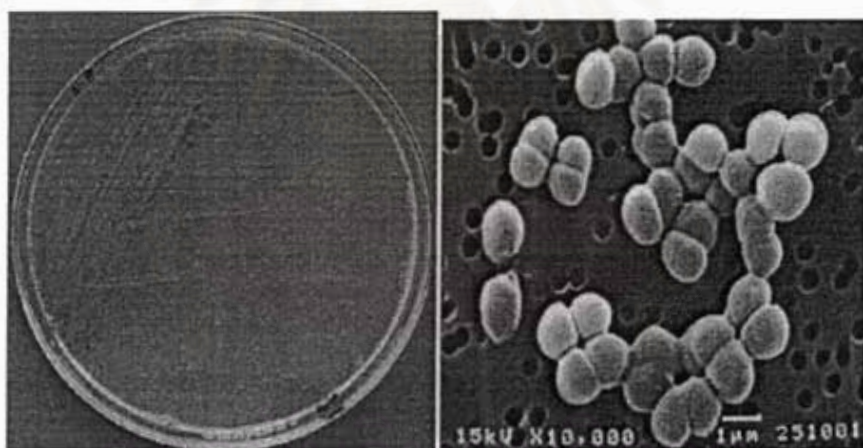


ภาพที่ 4.11 Phylogenetic tree of RF6, IS10-2, DB5-2, and DS2-5 based on 16S rDNA sequences

จุฬาลงกรณ์มหาวิทยาลัย

กลุ่มแบคทีเรียรูปร่างกลม มี 15 สายพันธุ์ (Group C) พบว่าแบคทีเรียกลุ่มนี้ มี DNA-DNA similarity มากกว่า 78.9% เมื่อเทียบกับ DB5-2 และมี DNA-DNA similarity 21.6-49.9% กับ *H. morrhuae* JCM 8876^T และ *H. dombrowskii* JCM 12289^T (ตารางที่ 4.21) และจากผลความคล้ายคลึงของ 16S rDNA ของ กลุ่ม DB5-2 และ IS10-2 เมื่อเทียบกับ *H. dombrowskii* JCM 12289^T เป็น 99.1% และ *H. morrhuae* JCM 8876^T เป็น 98.6-98.7% (ภาพที่ 4.11) ดังนั้นจึงจัดแบคทีเรียทั้ง 15 สายพันธุ์อยู่ในสกุล *Halococcus* และเป็นแบคทีเรียชนิดใหม่ (Kocur และ Hodgkiss, 1973; Stan-Lotter และคณะ, 2002)

แบคทีเรียกลุ่มนี้ เซลล์มีรูปร่างกลม ข้อมคดสี่แกรมลบ ขนาด 0.8-1.2 μm ไม่เคลื่อนที่ โคลโลนิบนอาหารวุ้น JCM no.168 มีลักษณะกลมมีสีแดงขอบเรียบ ยกสูง (ภาพที่ 4.12) สร้างเอนไซม์คาเลส ออกซิเดส ใช้ฟรุคโตส และกลูตามิกแอซิก ไม่สามารถรีดิวสไนเตรท ย่อยเคซีน เจลาติน อาร์จินีน และ ทวิน 80 สร้างกรดจากอะราบิโนส เซลโลบิโอส กลูโคส แลคโตส แมนนิทอล เมลลิบิโอส แรพีโนส ซูโครส และ ทรีฮาโลส ไม่สามารถใช้อะราบิโนส กาแลกโตส แรพีโนส ไซโลส อาร์จินีน และเซอริน เจริญได้ในอาหารที่มี NaCl 20-30 % มี MgCl_2 0.5-5% เจริญได้ที่ 15-45 $^{\circ}\text{C}$ และ pH 6-10 ลักษณะแตกต่างกันของ สายพันธุ์และ *H. dombrowskii* JCM 12289^T และ *H. morrhuae* JCM 8876^T ดังแสดงไว้ในตารางที่ 4.22



ภาพที่ 4.12 ลักษณะ โคลโลนีและเซลล์ของแบคทีเรีย *Halococcus* sp. DB5-2

จุฬาลงกรณ์มหาวิทยาลัย

ตารางที่ 4.21 DNA-DNA similarity ของแบคทีเรียขอบเค็มสูง Group C

Strain	JCM 8876 ^T	JCM 12289 ^T	DB5-2 ^T
DB5-2	36.1	41.0	100.0
IS10-2	30	21.6	91.3
DS4-1	42.3	42.3	98.4
KS35-3	49.4	45.6	78.9
DB8-2	38.6	36.7	81.1
DS7-4	43.5	47.9	97.1
DS10-5	43.5	46.6	97.5
DB10-5	45.7	41.3	86.6
DS6-1A	41.5	40.3	84.5
DS6-2	39.8	24.3	83.8
KS333-2	43.0	35.6	85.9
DB1-4	49.0	31.6	90.2
DS6-6	44.6	34.1	88.7
DB8-5	46.3	44.4	84.2
KS87-3	49.9	32.7	91.5
<i>H. morrhuae</i> JCM 8876 ^T	100.0	34.1	25.7
<i>H. dombrowskii</i> JCM 12289 ^T	ND	100.0	42.3

ตารางที่ 4.22 ลักษณะแตกต่างของ *Halococcus* species

Characteristics	DB5-2 and 14 strains	<i>H. morrhuae</i> JCM 8876 ^T	<i>H. dombrowskii</i> JCM 12289 ^T
NaCl range (%)	20-30	20-30	20-30
pH range	6-10	6-10	6-10
MgCl ₂ range (%)	0.5-5	0.5-5	0-5
Nitrate reduction	-	-	+
Catalase	+	+	+
Oxidase	+	+	+
Hydrolysis of:			
Arginine	-	-	ND
Casein	-	-	ND
Gelatin	-	-	+
Tween 80	-	-	ND
Acid from			
Arabinose	+	-	w
Cellobiose	+	-	-
Glucose	+	-	-
Lactose	+	-	-
Mannitol	+	-	-
Melibiose	+	-	-
Raffinose	+	-	-
Sucrose	+	-	-
Trehalose	+	-	-
Utilization of:			
Arabinose	-	-	+
Fructose	+	-	+
Glucose	V	-	-
Galactose	-	-	+
Raffinose	-	-	-
Xylose	-	-	+
Glutamic acid	+	-	-
Arginine	-	-	-
Serine	-	-	-

+, positive; w, weak positive; -, negative; ND, no data.

4.4 การศึกษาการผลิตเอนไซม์

ผลการศึกษาการผลิตเอนไซม์โปรทีเอส ได้ใช้ casein และ fish powder เป็น substrate โดยการตรวจสอบปฏิกิริยาที่ 30° C และ 37° C พบว่าแบคทีเรียชอบเค็มสูง (extremely halophile) สายพันธุ์ DS2-5, KS87-2 และ DB10-1 ให้ค่า specific activity 0.2230-2.6524 U/ mg protein และ unit activity 0.652-4.76 U/ ml of enzyme ที่ 37° C และ specific activity 1.6452-5.4643 U/ mg protein และ 0.913-4.044 U/ ml of enzyme ที่ 30° C โดยใช้ casein เป็น substrate (ตารางที่ 4.23) และให้ค่า specific activity 0.7808-1.9927 U/ mg protein และ unit activity 2.283-6.000 U/ ml of enzyme ที่ 37° C และ specific activity 0.3525-6.7468 U/ mg protein และ unit activity 0.261-5.283 U/ ml of enzyme ที่ 30° C โดยใช้ fish powder เป็น substrate (ตารางที่ 4.24)

ส่วนแบคทีเรียชอบเค็มปานกลาง (moderate halophile) สายพันธุ์ RF2-5 และ RBUI-1 สร้างเอนไซม์ได้มากที่สุดที่ความเข้มข้นของเกลือ 5% อย่างไรก็ตามสายพันธุ์ RF2-5, SSK10-5, PN2-19, RBUI-1, SSK2-2 และ SSK3-2 ยังสามารถสร้างเอนไซม์ได้มากที่สุดที่ความเข้มข้นของเกลือ 10% ซึ่งให้ค่า specific activity สูง 11.1140-29.7991 U/ mg protein และ unit activity 15.131-27.783 U/ ml of enzyme ที่ 37° C และให้ค่า specific activity สูง 23.8335-32.8760 U/ mg protein และ unit activity 9.848-17.805 U/ ml of enzyme ที่ 30° C โดยใช้ casein เป็น substrate (ตารางที่ 4.23) และพบว่าการใช้ fish powder เป็น substrate จะให้ค่า specific activity 12.7219-29.7991 U/ mg protein และ unit activity 15.131-27.783 U/ ml of enzyme ที่ 37° C และ specific activity 13.9652-49.5517 U/ mg protein และ unit activity 6.326-17.740 U/ ml of enzyme ที่ 30° C ดังตารางที่ 4.24 เนื่องจากอาศัยผลการวิเคราะห์ลำดับเบสในช่วง 16S rDNA ทำให้สามารถแบ่งกลุ่มแบคทีเรียชอบเค็มได้เป็นแบคทีเรียชอบเค็มสูงที่ต้องการเกลือในการเจริญมากกว่า 15% และแบคทีเรียชอบเค็มปานกลาง ดังที่กล่าวมาแล้วในข้อ 4.3 จากผลที่กล่าวมานี้จะเห็นว่าแบคทีเรียชอบเค็มสูงสามารถสร้างเอนไซม์ได้น้อยกว่าแบคทีเรียชอบปานกลางทั้งนี้อาจเนื่องมาจากความเข้มข้นของเกลือที่ใส่ลงไปในอาหารซึ่งอาจมีผลต่อการวิเคราะห์การสร้างเอนไซม์ด้วย นอกจากนี้ยังได้ตรวจสอบกิจกรรมของ intracellular และ extracellular protease ของบางสายพันธุ์โดยใช้ Casein (Hammasten) และ fish powder เป็นสับสเตรทได้ผลปฏิกิริยาดังตารางที่ 4.25 อย่างไรก็ตามการศึกษาเอนไซม์โปรทีเอสจากแบคทีเรียชอบเค็มยังมีรายงานไม่มาก (Stepnov และคณะ, 1992; Studdert และคณะ, 1997; Ryu และคณะ, 1994; Gimenez และคณะ, 2000; Duong และคณะ, 1981; Sanchez-Porro และคณะ, 2003) ซึ่งยังน่าสนใจที่ต้องมีศึกษาอีก

ตารางที่ 4.23 Protease activities of isolates on casein as substrate

Isolate no.	Protein			Protease activities													
	% NaCl	OD	Conc Protein	OD (750 nM)		Conc. Tyrosin		OD (750nm)		Conc. Tyrosine		Net Tyrosine		Specific activity		Unit activity	
		(750nm)	mg/ml			Blank (nmole)				Sample (nmole)		(nmole)		U/mg protein		U/ ml of enzyme)	
				37 C	30 C	37 C	30 C	37C	30 C	37 C	30C	37C	30 C	37C	30C	37C	30C
DS2-5	25	0.747	3.011	0.745	0.859	2539.229	2985.326	0.759	0.895	2594.013	3126.198	54.784	140.873	0.3032	3.1515	0.913	2.348
KS87-2	20	0.455	1.795	0.555	0.528	1795.735	1690.080	0.628	0.542	2081.393	1744.864	285.658	54.784	2.6524	1.6452	4.761	0.913
DB10-1	25	0.726	2.924	0.74	0.759	2519.663	2594.013	0.75	0.821	2558.795	2836.627	39.131	242.614	0.2230	5.4643	0.652	4.044
IS40-3	10	0.29	1.107	0.4	0.389	1189.200	1146.155	0.447	0.42	1373.117	1267.462	183.917	121.307	2.7690	5.0545	3.065	2.022
IO-1	10	0.3	1.149	0.581	0.646	1897.476	2151.829	0.668	0.697	2237.918	2351.399	340.442	199.570	4.9382	5.7249	5.674	3.326
PS9-2	20	0.355	1.378	0.442	0.495	1353.551	1560.947	0.543	0.547	1748.777	1764.430	395.226	203.483	4.7802	7.6728	6.587	3.391
PS11-2	10	0.445	1.753	0.555	0.52	1795.735	1658.775	0.574	0.583	1870.084	1905.302	74.349	246.527	0.7069	7.4032	1.239	4.109
KF1-3B	10	0.425	1.67	0.511	0.513	1623.557	1631.383	0.586	0.523	1917.042	1670.515	293.485	39.131	2.9290	1.2763	4.891	0.652
CS2	10	0.37	1.441	0.498	0.506	1572.686	1603.991	0.581	0.532	1897.476	1705.733	324.790	101.741	3.7565	3.4050	5.413	1.696
CS10	10	0.353	1.37	0.537	0.52	1725.298	1658.775	0.644	0.552	2144.003	1783.995	418.705	125.220	5.0937	3.8864	6.978	2.087

จุฬาลงกรณ์มหาวิทยาลัย

Isolate no.	% NaCl (750nm)	OD	Conc Protein mg/ml	OD (750 nM)		Conc. Tyrosin Blank (nmole)		OC (750nm)		Conc. Tyrosine Sample (nmole)		Net Tyrosine (nmole)		Specific activity U/mg protein		Unit activity U/ ml of enzyme)	
				37 C	30 C	37 C	30 C	37C	30 C	37 C	30C	37C	30 C	37C	30C	37C	30C
				RF2-5	5	0.295	1.128	0.512	0.507	1627.470	1607.905	1.045	0.885	3713.168	3087.067	2085.698	1479.163
	10	0.351	1.361	0.422	0.435	1275.289	1326.159	0.631	0.598	2093.132	1963.999	817.844	637.840	10.0122	25.1912	13.631	10.631
	15	0.335	1.295	0.565	0.49	1834.866	1541.381	0.612	0.635	2018.783	2108.785	183.917	567.404	2.3675	16.7376	3.065	9.457
SSK10-5	10	0.313	1.203	0.353	0.372	1005.283	1079.632	0.532	0.501	1705.733	1584.426	700.450	504.794	9.7033	23.8335	11.674	8.413
PN2-3	10	0.415	1.628	0.347	0.472	981.804	1470.945	0.481	0.491	1506.163	1545.294	524.359	74.349	5.3681	3.5711	8.739	1.239
PN2-10	10	0.321	1.236	0.379	0.501	1107.024	1584.426	0.556	0.512	1799.648	1627.470	692.624	43.044	9.3363	1.8929	11.544	0.717
PN2-19	10	0.322	1.241	0.345	0.369	973.978	1067.893	0.496	0.519	1564.860	1654.862	590.882	586.969	7.9381	28.3560	9.848	9.783
PN5-1	10	0.335	1.295	0.375	0.369	1091.372	1067.893	0.524	0.489	1674.428	1537.468	583.056	469.575	7.5053	20.8700	9.718	7.826
PN8-4	10	0.304	1.166	0.511	0.455	1623.557	1404.422	0.632	0.547	2097.046	1764.430	473.489	360.008	6.7702	11.7419	7.891	6.000
RF5-1	10	0.306	1.174	0.447	0.456	1373.117	1408.335	0.569	0.528	1850.518	1690.080	477.402	281.745	6.7777	10.5050	7.957	4.696
RF5-2	10	0.275	1.045	0.444	0.43	1361.377	1306.594	0.577	0.545	1881.824	1756.603	520.446	450.010	8.3020	16.8923	8.674	7.500

จุฬาลงกรณ์มหาวิทยาลัย

Isolate no.	% NaCl (750nm)	OD	Conc Protein mg/ml	OD (750 nM)		Conc. Tyrosine Blank (nmole)		OC (750nm)		Conc. Tyrosine Sample(nmole)		Net Tyrosine (nmole)		Specific activity U/mg protein		Unit activity U/ ml of enzyme)	
				37 C	30 C	37 C	30 C	37C	30 C	37 C	30C	37C	30 C	37C	30C	37C	30C
				RF12-1S	10	0.278	1.057	0.462	0.498	1431.814	1572.686	0.54	0.523	1737.038	1670.515	305.224	97.828
CHN2-1	10	0.449	1.770	0.525	0.462	1678.341	1431.814	0.534	0.477	1713.559	1490.511	35.218	58.697	0.3317	1.8634	0.587	0.978
RBU1-1	5	0.264	0.999	0.475	0.492	1482.684	1549.208	0.77	0.765	2637.057	2617.492	1154.373	1068.284	19.2588	37.4837	19.240	17.805
	10	0.264	0.999	0.385	0.397	1130.503	1177.460	0.649	0.576	2163.569	1877.910	1033.066	700.450	17.2350	30.3225	17.218	11.674
	15	0.277	1.053	0.561	0.524	1819.213	1674.428	0.635	0.534	2108.785	1713.559	289.572	39.131	4.5826	1.1625	4.826	0.652
CC7-1	10	0.364	1.416	0.379	0.379	1107.024	1107.024	0.499	0.487	1576.599	1529.642	469.575	422.618	5.5287	18.5848	7.826	7.044
SSK2-2	10	0.298	1.141	0.367	0.369	1060.067	1067.893	0.649	0.554	2163.569	1791.822	1103.502	723.929	16.1241	32.8760	18.392	12.065
SSK3-2	10	0.248	0.932	0.337	0.375	942.673	1091.372	0.65	0.526	2167.482	1682.254	1224.809	590.882	21.8947	29.2227	20.413	9.848
SSK7-3	10	0.369	1.436	0.502	0.473	1588.339	1474.858	0.582	0.578	1901.389	1885.737	313.050	410.878	3.6324	13.6414	5.218	6.848
PN10-1	10	0.285	1.086	0.335	0.339	934.846	950.499	0.415	0.386	1247.897	1134.416	313.050	183.917	4.8022	9.1501	5.218	3.065
PN10-2	10	0.232	0.866	0.276	0.259	703.972	637.449	0.301	0.274	801.800	696.146	97.828	58.697	1.8834	3.5445	1.630	0.978

Protease unit = 1 n mole of tyrosine/ minute/ 1ml of enzyme

ตารางที่ 4.24 Proteolytic activities of isolates on fish powder as substrate

Isolate no.	Protein				Protease activities															
	OD	Conc	OD	750 nM	Conc.Tyrosine				OD 750nm				Conc. Tyrosine		Net tyrosine		Specific activity		Unit activity	
	%NaCl	(750nm)	Protein		Blank (nmole)				Sample(nmole)				(nmole)		U/mg		U/ml of enzyme			
		mg/ml		37 C	30 C	37 C	30 C	37C	30 C	37 C	30C	37C	30 C	37C	30C	37C	30C			
DS2-5	25	0.747	3.011	0.783	0.774	2687.928	2652.710	0.875	0.855	3047.936	2969.673	360.008	316.963	1.9927	6.7468	6.000	5.283			
KS87-2	20	0.455	1.79463	0.528	0.503	1690.080	1592.252	0.567	0.535	1842.692	1717.472	152.612	125.220	1.4173	3.9527	2.544	2.087			
DB10-1	25	0.726	2.92352	0.74	0.75	2519.663	2558.795	0.775	0.754	2656.623	2574.447	136.969	15.653	0.7808	0.3525	2.283	0.261			
IS40-3	10	0.29	1.10731	0.389	0.364	1146.155	1048.327	0.453	0.413	1396.596	1240.070	250.440	191.743	3.7695	8.2152	4.174	3.196			
IO-1	10	0.3	1.14896	0.666	0.548	2230.092	1768.343	0.775	0.663	2656.623	2218.353	426.531	450.010	6.1872	11.2615	7.109	7.500			
PS9-2	20	0.355	1.37807	0.498	0.464	1572.686	1439.640	0.535	0.494	1717.472	1557.034	144.786	117.394	1.7511	3.9288	2.413	1.957			
PS11-2	10	0.445	1.75296	0.57	0.554	1854.432	1791.822	0.63	0.6	2089.219	1971.825	234.788	180.004	2.2323	5.2633	3.913	3.000			
KF1-3B	10	0.425	1.66967	0.489	0.49	1537.468	1541.381	0.541	0.498	1740.951	1572.686	203.483	31.305	2.0312	1.0670	3.391	0.522			
CS2	10	0.37	1.44056	0.495	0.485	1560.947	1521.816	0.513	0.521	1631.383	1662.688	70.436	140.873	0.8149	4.7432	1.174	2.348			
CS10	10	0.353	1.36974	0.498	0.494	1572.686	1557.034	0.524	0.518	1674.428	1650.949	101.741	93.915	1.2380	3.1431	1.696	1.565			

สถาบันวิทยบริการ
จุฬาลงกรณ์มหาวิทยาลัย

Isolate no.	Protein			Protease activities													
	OD	Conc	OD	750 nM	Conc. Tyrosine		OD 750nm		Conc. Tyrosine		Net tyrosine		Specific activity		Unit activity		
	%NaCl	(750nm)	Protein		Blank (nmole)		Sample(nmole)				(nmole)		U/mg		U/ml of enzyme		
			mg/ml	37 C	30 C	37 C	30 C	37C	30 C	37 C	30C	37C	30 C	37C	30C	37C	30C
RF2-5	5	0.295	1.12813	0.512	0.476	1627.470	1486.598	0.905	0.765	3165.330	2617.492	1537.860	1130.894	22.7199	36.8130	25.631	18.848
	10	0.351	1.36141	0.453	0.453	1396.596	1396.596	0.685	0.55	2304.441	1776.169	907.846	379.573	11.1140	13.9652	15.131	6.326
	15	0.335	1.29476	0.539	0.548	1733.125	1768.343	0.612	0.663	2018.783	2218.353	285.658	450.010	3.6771	13.9150	4.761	7.500
SSK10-5	10	0.313	1.20312	0.418	0.331	1259.636	919.194	0.709	0.571	2398.356	1858.345	1138.720	939.151	15.7745	37.4462	18.979	15.653
PN2-3	10	0.415	1.62801	0.356	0.329	1017.022	911.368	0.615	0.513	2030.522	1631.383	1013.500	720.016	10.3757	33.7086	16.892	12.000
PN2-10	10	0.321	1.23644	0.404	0.396	1204.852	1173.547	0.698	0.573	2355.312	1866.171	1150.460	692.624	15.5077	28.5736	19.174	11.544
PN2-19	10	0.322	1.24061	0.357	0.369	1020.935	1067.893	0.599	0.507	1967.912	1607.905	946.977	540.012	12.7219	25.2106	15.783	9.000
PN5-1	10	0.335	1.29476	0.402	0.376	1197.026	1095.285	0.684	0.544	2300.528	1752.690	1103.502	657.406	14.2047	27.2556	18.392	10.957
PN8-4	10	0.304	1.16563	0.355	0.359	1013.109	1028.761	0.715	0.568	2421.835	1846.605	1408.726	817.844	20.1426	38.3964	23.479	13.631
RF5-1	10	0.306	1.17396	0.455	0.421	1404.422	1271.375	0.625	0.587	2069.654	1920.955	665.232	649.579	9.4443	23.7941	11.087	10.826
RF5-2	10	0.275	1.04482	0.457	0.421	1412.248	1271.375	0.636	0.491	2112.698	1545.294	700.450	273.919	11.1734	9.9898	11.674	4.565

สถาบันวิทยบริการ
จุฬาลงกรณ์มหาวิทยาลัย

Isolate no.	Protein		Protease activities														
	OD	Conc	OD	750 nM	Conc.Tyrosine		OD	750nm	Conc. Tyrosine		Net tyrosine		Specific activity		Unit activity		
	%NaCl	(750nm)	Protein		Blank (nmole)				Sample(nmole)		(nmole)		U/mg		U/ml of enzyme		
			mg/ml	37 C	30 C	37 C	30 C	37C	30 C	37 C	30C	37C	30 C	37C	30C	37C	30C
RF12-1S	10	0.278	1.05732	0.491	0.462	1545.294	1431.814	0.524	0.52	1674.428	1658.775	129.133	226.961	2.0355	7.7041	2.152	3.783
CHN2-1	10	0.449	1.76964	0.441	0.469	1349.638	1459.206	0.516	0.493	1643.123	1553.121	293.485	93.915	2.7641	3.5493	4.891	1.565
RBU1-1	5	0.264	0.999	0.539	0.508	1733.125	1611.818	0.888	0.759	3098.806	2594.013	1365.682	982.195	22.7841	30.3709	22.761	16.370
	10	0.264	0.999	0.539	0.396	1733.125	1173.547	0.701	0.56	2367.051	1815.300	633.927	641.753	10.5760	19.8439	10.565	10.696
	15	0.277	1.05315	0.539	0.439	1733.125	1341.812	0.658	0.587	2198.787	1920.955	465.662	579.143	7.3694	17.9079	7.761	9.652
CC7-1	10	0.364	1.41556	0.404	0.381	1204.852	1114.850	0.556	0.473	1799.648	1474.858	594.796	360.008	7.0031	14.8518	9.913	6.000
SSK2-2	10	0.298	1.14063	0.381	0.383	1114.850	1122.677	0.619	0.509	2046.175	1615.731	931.325	493.054	13.6083	21.5684	15.522	8.218
SSK3-2	10	0.248	0.93235	0.358	0.359	1024.848	1028.761	0.784	0.631	2691.841	2093.132	1666.993	1064.371	29.7991	49.5517	27.783	17.740
SSK7-3	10	0.369	1.43639	0.417	0.491	1255.723	1545.294	0.548	0.529	1768.343	1693.993	512.620	148.699	5.9480	5.9432	8.544	2.478
PN10-1	10	0.285	1.08648	0.394	0.352	1165.721	1001.370	0.415	0.385	1247.897	1130.503	82.176	129.133	1.2606	5.4625	1.370	2.152
PN10-2	10	0.232	0.8657	0.268	0.281	672.667	723.537	0.355	0.364	1013.109	1048.327	340.442	324.790	6.5543	20.1984	5.674	5.413

Protease unit= 1 n mole of tyrosine/ minute/ 1ml of enzyme

สถาบันวิทยบริการ
จุฬาลงกรณ์มหาวิทยาลัย

ตารางที่ 4.25 Intracellular และ Extracellular protease activity ของแบคทีเรียที่คัดเลือก

Substrate	Intracellular enzyme		Extracellular enzyme	
	Total activity (U)	Specific activity (U/ mg protein)	Total activity (U)	Specific activity (U/ mg protein)
Casein (Hammasten)				
IS 40-3	18.07 ± 2.15	3.48 ± 0.45	2.90 ± 1.69	0.06 ± 0.03
RBU 1-1	11.15 ± 0.48	2.08 ± 0.02	3.41 ± 0.48	0.06 ± 0.01
SSK 2-2	9.12 ± 0.48	1.14 ± 0.05	19.28 ± 0.24	0.24 ± 0.00
SSK 3-2	7.94 ± 0.72	9.76 ± 1.06	73.03 ± 2.41	8.97 ± 0.13
DS 2-5	0	0	5.82 ± 0.48	6.41 ± 0.93
PB 7-3	0	0	0	0
PS 11-1	0	0	11.77 ± 0.24	5.40 ± 0.08
RF 2-5	1127.17 ± 4.34	128.88 ± 0.97	10.41 ± 1.69	7.90 ± 1.62
Fish protein powder (FPP)				
IS 40-3	4.73 ± 0.96	0.91 ± 0.19	10.92 ± 1.93	0.21 ± 0.04
RBU 1-1	0.00 ± 0.00	0.00 ± 0.00	15.02 ± 2.90	0.28 ± 0.06
SSK 2-2	50.17 ± 0.72	6.25 ± 0.14	3.07 ± 1.45	0.04 ± 0.02
SSK 3-2	68.58 ± 4.78	8.51 ± 0.44	122.85 ± 5.79	1.51 ± 0.04
DS 2-5	0	0	12.82 ± 1.21	0.40 ± 0.06
PB 7-3	0	0	8.53 ± 0.97	0.15 ± 0.02
PS 11-1	21.50 ± 4.34	4.09 ± 0.78	1.71 ± 0.48	0.02 ± 0.01
RF 2-5	1250.02 ± 21.72	143.11 ± 2.23	4.27 ± 0.24	0.09 ± 0.00

1 ยูนิต เท่ากับ ปริมาณไทโรซีน 1 nmole ที่ถูกปลดปล่อยออกมาต่อนาที เมื่อใช้ Casein (Hammastens) และ FPP (Fish protein powder) เป็นสับสเตรท

บทที่ 5

ข้อสรุปและข้อเสนอแนะ

การวิจัยครั้งนี้สามารถคัดแยกแบคทีเรียที่ชอบเค็มจากอาหารหมักชนิดต่างๆที่เก็บจากตลาด และจากน้ำปลาที่ผลิตในจังหวัดสมุทรปราการ สมุทรสงคราม ระยอง รวมทั้งจากบูดูในจังหวัดปัตตานี รวม 110 ตัวอย่าง ได้แบคทีเรียที่ชอบเค็มได้จำนวน 279 ไอโซเลต จากผลการคัดเลือกแบคทีเรียที่ชอบเค็มที่สามารถผลิตเอนไซม์โปรทีเอสขึ้นต้นได้แบคทีเรียที่ชอบเค็มปานกลาง 38 ไอโซเลต และแบคทีเรียที่ชอบเค็มสูง 7 ไอโซเลต และจากการศึกษาทางอนุกรมวิธานของแบคทีเรียตัวแทน 82 สายพันธุ์ ที่น่าสนใจ โดยอาศัยผลจากการศึกษาลักษณะทางฟิโนไทป์ ลักษณะทางอนุกรมวิธานเคมี และ DNA-DNA similarity รวมทั้งการวิเคราะห์ลำดับเบสในช่วง 16S rDNA สามารถพิสูจน์เอกลักษณ์ของแบคทีเรียที่ชอบเค็มปานกลางจำนวน 56 สายพันธุ์ ได้ 10 กลุ่ม เป็นสกุล *Lentibacillus* 4 สปีชีส์ได้แก่ *Lentibacillus salicampi* 3 สายพันธุ์, *Lentibacillus* sp. nov. 5, *Lentibacillus* sp. nov. 15 สายพันธุ์, *Lentibacillus* sp. nov. 2 สายพันธุ์ *Filobacillus* sp. nov. 2 สายพันธุ์ *Virgibacillus halodenitrificans* 6 สายพันธุ์, *Virgibacillus* sp. nov. 1 สายพันธุ์, *Marinococcus* sp. 3 สายพันธุ์, *Salinicoccus* sp. nov. 15 สายพันธุ์ และ *Chromohalobacter salexigens* 4 สายพันธุ์, พบแบคทีเรียที่ชอบเค็มสูงจำนวน 26 สายพันธุ์ ได้ 3 กลุ่ม ซึ่งพิสูจน์เอกลักษณ์ได้เป็น *Halobacterium salinarum* 10 สายพันธุ์, *Halococcus saccharolyticus* 1 สายพันธุ์ และ *Halococcus* sp. nov. 15 สายพันธุ์ การวิจัยครั้งนี้พบว่าได้แบคทีเรียที่ชอบเค็มปานกลางใหม่ 6 สปีชีส์และแบคทีเรียที่ชอบเค็มสูงใหม่ 1 สปีชีส์

ผลการศึกษาการผลิตเอนไซม์โปรทีเอสโดยตรวจสอบปฏิกิริยาที่ 30° C และ 37° C พบว่าแบคทีเรียที่ชอบเค็มสูงสายพันธุ์ DS2-5, KS87-2 และ DB10-1 ให้ค่า unit activity 0.652-4.76 U/ ml of enzyme ที่ 37° C และ 0.913-4.044 U/ ml of enzyme ที่ 30° C โดยใช้ casein เป็น substrate และให้ค่า unit activity 2.283-6.000 U/ ml of enzyme ที่ 37° C และ 0.261-5.283 U/ ml of enzyme ที่ 30° C โดยใช้ fish powder เป็น substrate ส่วนแบคทีเรียที่ชอบปานกลางสายพันธุ์ RF2-5, SSK10-5, PN2-19, RBUI-1, SSK2-2 และ SSK3-2 สามารถสร้างเอนไซม์ได้มากที่ความเข้มข้นของเกลือ 10% ซึ่งให้ค่า unit activity 9.848-17.805 U/ ml of enzyme ที่ 30° C โดยใช้ casein เป็น substrate และพบว่าการใช้ fish powder เป็น substrate จะให้ค่า unit activity 15.131-27.783 U/ ml of enzyme ที่ 37° C และ unit activity 6.326-17.740 U/ ml of enzyme ที่ 30° C จากผลที่กล่าวมานี้จะเห็นว่าแบคทีเรียที่ชอบเค็มสูงสามารถสร้างเอนไซม์ได้น้อยกว่าแบคทีเรียที่ชอบปานกลางทั้งนี้อาจเนื่องมาจากความเข้มข้นของเกลือที่ใส่ลงไป ในอาหารซึ่งอาจมีผลต่อการวิเคราะห์การสร้างเอนไซม์ด้วย นอกจากนี้ยังพบว่าแบคทีเรียที่ชอบปานกลางบางสายพันธุ์มี intracellular protease ด้วย

เนื่องจากประเทศไทยมีอาหารหมักหลายชนิดที่มีเกลือสูง และจากผลการวิจัยครั้งนี้พบว่า
แบคทีเรียชอบเค็มปานกลางและแบคทีเรียชอบเค็มสูงสปีชีส์ใหม่หรือชนิดใหม่หลายชนิด จึงควรมี
การศึกษาทั้งด้านอนุกรมวิธานและเอนไซม์โปรทีเอสรวมทั้งเอนไซม์ชนิดอื่นๆในแบคทีเรียกลุ่มนี้
เพิ่มเติมอีก



สถาบันวิทยบริการ
จุฬาลงกรณ์มหาวิทยาลัย

เอกสารอ้างอิง

- ศิริเพ็ญ เวชชากรัณย์. 2533. สภาวะเหมาะสมสำหรับการเติบโตของแบคทีเรียชอบเค็มที่ผลิตโปรตีน
เอสวิตานินพอร์ปรีญูญามหาบัณฑิต สาขาจุลชีววิทยา คณะวิทยาศาสตร์ จุฬาลงกรณ์
มหาวิทยาลัย
- สมบูรณ์ ธนาศุภวัฒน์. 2543. การศึกษาแบคทีเรียชอบเค็มในอาหารหมัก ภาควิชาจุลชีววิทยา
คณะเภสัชศาสตร์ จุฬาลงกรณ์มหาวิทยาลัย (ข้อมูลยังไม่ตีพิมพ์)
- สาโรช ประเสริฐศิริวัฒน์. 2531. การเปลี่ยนแปลงของประชากรแบคทีเรียและชีวเคมีในการหมัก
น้ำปลา วิทยานิพนธ์ปริญญาโท สาขาจุลชีววิทยา คณะวิทยาศาสตร์ จุฬาลงกรณ์
มหาวิทยาลัย
- Arahal, D. R., Marquez, M. C., Volcani, B. E., Schleifer, K. H., and Ventosa, A. 2000.
Reclassification of *Bacillus marismortui* as *Salibacillus marismortui* comb. nov. *Int. J. Syst.
Evol. Microbiol.*, 50, 1501-1503.
- Aral, D. R., Teresa Garcia. M., Vargas, C., Canovas, D., Nieto, J. J., and Ventosa, A. 2001.
Chromohalobacter salexigens sp. nov., a moderately halophilic species includes *Halomonas
elongata* DSM 3043 and ATCC 33174. *Int. J. Syst. Evol. Microbiol.*, 51., 1456-1462.
- Anton, J., Meseguer, I., and Rodriguez-Valera, F. 1988. Production of an extra cellular
polysaccharide by *Haloferax mediterranei*. *Appl. Environ. Microbiol.* 54, 2381-2386.
- Barett, A. J. 1994. Proteolytic enzymes: serine and cysteine peptidase. *Method. Enzymol.*, 244, 1-15.
- Ben-Mahrez, K., Thierry, D., Sorokine, I., Danna-Muller, A., and Kohiyama, M. 1988. Detection
of circulating antibodies against c-myc protein in cancer patient sera. *British. J. Cancer.*, 57,
529-534.
- Bertrand, J.C., Almallah, M., Acquaviva, M., and Mille, G. 1990. Biodegradation of hydrocarbons by
an extremely halophilic archaeobacterium. *Lett. Appl. Microbiol.*, 11, 260-263.
- Beynon, R. J. and Bond, J. S. 1990. Proteolytic enzymes, a practical approach. eds. Rickwook, D. and
Hames, B. D. IRL Press, Eynsham, Oxford, England. pp. 1-250.
- Brink, B. and Damirik, C. 1990. Occurrence and formation of biologically active amines in foods. *Int.
J. Food Microbiol.*, 11, 73-84.
- Carmen, G. and Ramirez, C. 1978. *Halobacterium vallismortis*, an amylolytic and carbohydrate-
metabolizing, extremely halophilic bacterium. *Can. J. Microbiol.*, 24, 710-715.

- Chaiyanan, S., Chaiyanan, S., Maugele, T., Huq, A., Robb, F.T., and Colwell, R.R. 1999. Polyphasic taxonomy of a novel *Halobacillus*, *Halobacillus thailandensis* sp. nov. isolated from fish sauce. *System. Appl. Microbiol.*, 22, 360-365.
- Chaiyanan, S., Saranyanit, S., Chamaoot, M., and Kasormmala, C. 1988. Fish sauce fermentation by using microbial inoculation and recycling system. Food Conference'88 Bangkok, Thailand. Oct, 23-26.
- Chaveesuk, R., Smith, J., and Simpson, B. 1993. Production of fish sauce and acceleration of fish sauce fermentation using proteolytic enzymes. *J. Aquatic Food Product Tech.*, 2 (3), 59-77.
- Choorit, W. and Prasertsan, P. 1992. Characterization of proteases produced by newly isolated and identified proteolytic microorganisms from fermented fish (Budu). *World J. of Microbiol and Biotechnol.* 8, 284-286.
- Duong, V. Q., Shimidu, U., and Taga, N. 1981. Purification and some properties of halophilic protease produced by a moderately halophilic marine *Pseudomonas* sp., *Can. J. Microbiol.*, 27, 505 – 510.
- Ebert, K., Goebel, W., and Pfeifer, F. 1984. Homologies between heterogeneous extrachromosomal DNA populations of *Halobacterium halobium* and four new isolates. *Mol. Gen. Genet.*, 194, 91-97.
- Ezaki, T., Y. Hashimoto, Y., and Yabuuchi, E. 1989. Fluorometric deoxyribonucleic acid–deoxyribonucleic acid hybridization in microdilution wells as an alternative to membrane filter hybridization in which radioisotopes are used to determine genetic relatedness among bacterial strains. *Int. J. Syst. Bacteriol.*, 39, 224-229.
- Fernandez-Castillo, R., Rodriguez-Valera, F., Gonzalez Ramos, J., and Ruiz-Berraquero, F. 1986. Accumulation of poly (β -hydroxybutyric acid) by halobacteria. *Appl. Environ. Microbiol.*, 51, 214-216.
- Galinski, E.A. and Tindall, B.J. 1992. Biotechnological prospects for halophiles and halotolerant microorganisms. In *Molecular Biology and Biotechnology of Extremehalophiles*, eds. Herbert, R.D. and Sharp, R.J. pp. 76-114. London : Blackie.
- Gimenez, M. I., Studdert, C. A., Sanchez, J. J., and De Castro, R. E. 2000. Extracellular protease of *Natrialba magadii*: purification and biochemical characterization. *Extremophiles.* 4, 181-188.
- Grant, W.D. and Larsen, H. 1990. Extremely halophilic archaeobacteria, order Halobacteriales

- ord.nov., In *Bergey's Manual of Systematic Bacteriology*, vol.3. eds. Staley, J.T., Bryant, M.P., Pfennig, N., and Holt, J.G. pp.2216-2233, Baltimore, Md.: Williams & Wilkins.
- Heyrman, J., Logan, N. A., Busse, H-J., Balcaen, A., Lebbe, L., Rodriguez-Diaz, M., Swings, J., and De Vos, P. 2003. *Virgibacillus carmonensis* sp. nov., *Virgibacillus necropolis* sp. nov. and *Virgibacillus picturae* sp. nov., three novel species isolated from deteriorated mural paintings, transfer of the species of genus *Salibacillus* to *Virgibacillus*, as *Virgibacillus marismortui* comb. nov. and *Virgibacillus salexigens* comb. nov., and emended description of genus *Virgibacillus*. *Int. J. Syst. Evol. Microbiol.*, 53, 501-511.
- Holt, J. G., Krieg, N. R., Sneath, P-H, A., Staley, J. T., and Williams, S. T. 1994. *Bergey's Manual of Determinative Bacteriology*, ninth edition. Extremely halophilic, aerobic archaeobacteria (Halobacteria). eds. Hensyl, W. R. pp. 739-746. Baltimore, Md.: Williams & Wilkins.
- Kamekura, M. and Dyal-Smith, M. L. 1995. Taxonomy of the family Halobacteriaceae and the description of two new genera, *Halorubrobacterium* and *Natrialba*. *J.Gen.Appl.Microbiol.*, 41, 333-350.
- Kamekura, M., Hamakawa, T., and Onishi, H. 1982. Application of halophilic nuclease H of *Micrococcus varians* subsp. *halophilus* to commercial production of flavoring agent 5 LGMP. *Appl. Environ. Microbiol.*, 44, 994-995.
- Kamekura, M. and Seno, Y. 1993. Partial sequence of the gene for a serine protease from a halophilic archaeum *Haloferax mediterranei* R4, and nucleotide sequence of 16S rRNA encoding genes from several halophilic archaea. *Experimentia.*, 49, 503-513.
- Khire, J.M. and Pant, A. 1992. Thermostable, salt tolerant amylase from *Bacillus* sp. 64. *World. J. Microbiol. Biotechnol.*, 8, 167-170.
- Kim, J. and Dordick, J.S. 1997. Unusual salt and solvent dependence of a protease from an extreme halophile. *Biotech. Bioeng.*, 55, 471-479.
- Kocur, M. and Hodgkiss, W. 1973. Taxonomic status of the genus *Halococcus* Schoop. *Int. J. Syst. Bacteriol.*, 23, 151-156.
- Konig, H. 1988. Archaeobacteria. In *Biotechnology*, Vol. 6B, eds Rehm, H.J. and Reed, G. pp. 699-728. Weinheim : Verlag Chemie.
- Li, W. J., Schumann, P., Zhang, Y. Q., Chen, G. Z., Tian, X. P., Xu, L. H., Stackebrandt, E., and

- Jiang, C. L. 2005. *Marinococcus halotolerans* sp. nov., isolated from Qinghai, north-west China. *Int. J. Syst. Evol. Microbiol.*, 55, 1801-1804.
- Lopetcharat, K., Choi, Y. J., Park, J. W., and Daeschel, M. A. 2001. Fish sauce products and manufacturing: A review. *Food Rev. Int.*, 17 (1), 65-88.
- Lotong, N. 1998. *Koji*. In *Microbiology of Fermented Foods*, Vol.2, ed. by Wood, B.J.B., pp. 658-695, London: Blackie Academic & Professional.
- Lowry, O.H., Rosebrough, N.J., Farr, A.L., and Randall, R.J. 1951. Protein measurement with the folin phenol reagent. *J.Biol.Chem.*, 193, 265-275.
- Marmur, J. 1961. A procedure for the isolation of deoxyribonucleic acid from microorganism. *J.Mol. Biol.*, 3, 208-218.
- Montero, C. G., Ventosa, A., Rodriguez-Valera, F., Kates, M., Moldoveanu, N., and Ruiz-Berraquero, F. 1989. *Halococcus saccharolyticus* sp. nov., a new species of extremely halophilic non-alkaliphilic cocci. *Int. J. Syst. Evol. Microbiol.*, 12, 167-171.
- Phithakpol, B., Varayanond, W., Reungmanee-paitoon, S., and Wood, H. 1995. The Traditional Fermented Foods of Thailand, Institute of Food Research and Product Development, Kasetsart University, Bangkok, Thailand, 157 pp.
- Rao, M. B., Tanksale, A. M., Chatge, M. S., and Deshpande, V. V. 1998. Molecular and biotechnological aspects of microbial proteases. *Micorbiol. Mol. Biol. Rev.*, 597-635.
- Rodriguez-Valera, F. 1992 Biotechnological potential of halobacteria. In *The Archaeobacteria : Biochemistry and Biotechnology*, eds. Danson, M.J., Hough, D.W. and Lunt, G.G., pp. 135-147, London : Portland Press.
- Ryu, K., Kim, J., and Dordick, J. S. 1994. Catalytic properties and potential of an extracellular protease from an extreme halophile. *Enzyme Microb. Technol.*, 16, 266-275.
- Saitou, N. and Nei, M. 1987. The neighboring-joining method: a new method for reconstructing phylogenetic trees. *Mol. Biol. Evol.*, 4, 406-425.
- Sanchez-Poro, C., Mellodo, E., Bertoldo, C., Antranikian, G., and Ventosa, A. 2003. Screening and characterization of the protease CP1 produced by the moderately halophilic bacterium *Pseudomonas* sp. strain CP76. *Extremophiles.*, 7, 221-228.
- Schlesner, H., Lawson, P. A., Collins, M. D., Weiss, N., Wehmeyer, U., Volker, H., and Thomm, M. 2001. *Filobacillus milensis* gen. nov.sp. nov., a new halophilic

- spore-forming bacterium with Orn-D-Glu-type peptidoglycan. *Int. J. Syst. Evol. Microbiol.*, 51, 425-431.
- Schmitt, W., Rdest, U., and Goebel, Werner. 1990. Efficient high-performance liquid chromatographic system for the purification of a halobacterium serine protease. *J. Chromatography.*, 521, 211-220.
- Stan-Lotter, H., Pfaffenhuemer, M., Legat, A., Busse, H-J., Christian Radax, C., and Gruber, C. 2002. *Halococcus dombrowskii* sp. nov., an archaeal isolate from a Permian alpine salt deposit. *Int. J. Syst. Evol. Microbiol.*, 52, 1807-1814.
- Stepanov, V. M., Rudenskaya, G. N., Revina, L. P., Gryaznova, Y. B., Lysogorskaya, E. N., Filippova, I. Y., and Ivanova, I. I. 1992. A serine proteinase of an archaeobacterium, *Halobacterium mediterranei*. *Biochem. J.*, 285, 281-286.
- Studdert, C. A., De Castro, R. E., Seitz, K. H., and Sanchez, J. J. 1997. Detection and preliminary characterization of extracellular proteolytic activities of the haloalkaliphilic archaeon *Natronococcus occultus*. *Arch. Microbiol.*, 168, 532-535.
- Sukhumavasi, J., Kato, K., and Harada, T. 1975. Glucoamylase of a strain of *Saccharomycopsis fibuligera* isolated from mould bran (loog-pang) of Thailand. *J. Ferment. Technol.*, 53, 559-565.
- Tamaoka, J. 1994. Determination of DNA base composition. In *Chemical Methods in Prokaryotic Systematics*, eds. Goodfellow, M. and O'Donnell, A.G., pp.463-470, New York: John Wiley and Sons Ltd.
- Tanasupawat, S., Hashimoto, Y., Ezaki, T., Kozaki, M., and Komagata, K. 1991. Identification of *Staphylococcus carnosus* strains from fermented fish and soy sauce mash. *J. Gen. Appl. Microbiol.*, 37, 479-494.
- Tanasupawat, S., Hashimoto, Y., Ezaki, T., Kozaki, M., and Komagata, K. 1992. *Staphylococcus piscifermentans* sp. nov., from fermented fish in Thailand. *Int. J. Syst. Bacteriol.*, 42, 577-581.
- Tanasupawat, S. and Komagata, K. 1995. Lactic acid bacteria found in fermented foods in Thailand. *World J. Microbiol. Biotech.*, 11, 253-256.
- Tanasupawat, S., and Komagata, K. 2001. Lactic acid bacteria in fermented foods in Southeast Asia In *Microbial Diversity in Asia: Technology and Prospects*. ed. by Nga,

- B. H., H. M. Tan, and K. Suzuki. World Scientific Publishing Co. Pte.Ltd., Singapore, 252 pp.
- Tanasupawat, S., S. Okada, and Komagata, K. 1998. Lactic acid bacteria found in fermented fish in Thailand. *J. Gen. Appl. Microbiol.*, 44, 193-200.
- Tanasupawat, S., Shida, S., Okada, S., and Komagata, K. 2000. *Lactobacillus acidipiscis* sp. nov. and *Weissella thailandensis* sp. nov., isolated from fermented fish in Thailand. *Int.J. Syst. Evol. Microbiol.*, 50, 1479-1485.
- Tanasupawat, S., J. Thongsanit, S. Okada, and Komagata, K. 2002. Lactic acid bacteria isolated from soy sauce mash in Thailand. *J. Gen. Appl. Microbiol.*, 48, 201-209.
- Thongthai, C., McGenity, T.J., Suntinalert, P., and Grant, W.D. 1992. Isolation and characterization of an extremely halophilic archaeobacterium from traditional fermented Thai fish sauce. (nam-pla). *Lett. Appl. Microbiol.*, 14, 111-114.
- Thompson, J. D., Gibson, T. J., Plewniak, F., Jeanmougin, F., and Higgins, D. -G. 1997. CLUSTAL X windows interface: flexible strategies for multiple sequence alignment aided by quality analysis tools. *Nucleic Acids Res.*, 25, 4876-4882.
- Thongsanit, J., Tanasupawat, S., Keeratipibul, S., and Jaticavanich, S. 2002. Characteristics and identification of *Tetragenococcus halophilus* and *Tetragenococcus muriaticus* strains from fish sauce (Nam-Pla). *Jpn. J. Lactic Acid Bacteria.*, 13(1), 46-52.
- Ventosa, A., Marquez, M. C., Ruiz-Berraquero, F., and Kocur, M. 1990. *Salinicoccus roseus* gen. nov., sp. nov., a new moderately halophilic Gram-positive coccus. *Syst. Appl. Microbiol.*, 13, 29-33.
- Ventosa, A. and Nieto, J.J. 1995. Biotechnological applications and potentialities of halophilic microorganisms. *World. J. Microbiol. Biotechnol.*, 11, 85-94.
- Ventosa, A., Nieto, J. J., and Oren, A. 1998. Biology of moderately aerobic bacteria. *Microbiol. Mol. Biol. Rev.* 504-544
- Vreeland, E. H. and Hochstein, L. 1992. The ecology of halophilic bacteria. eds. Vreeland, E. H. and Hochstein, L. pp. 26-79, Boca Raton, Florida : CRC Press.
- Wayne, L. G., Brenner, D. J., Colwell, R. R., and 9 other authors. 1987. International Committee on Systematic Bacteriology. Report of the ad hoc committee on the reconciliation of approaches to bacterial systematics. *Int. J. Syst. Bacteriol.*, 37, 463-464.

- Yoon, J. -H., Kang, K. H. & Park, Y. -H. 2002. *Lentibacillus salicampi* gen. nov., sp. nov., a moderately halophilic bacterium isolated from a salt field in Korea. *Int. J. Syst. Evol. Microbiol.*, 52, 2043-2048.
- Yoon, J. -H., Lee, K. -C., Weiss, N., Kang, K. H., and Park, Y. -H. 2003. *Jeotgalicoccus halotolerans* gen. nov., sp. nov. and *Jeotgalicoccus psychrophilus* sp. nov., isolated from the traditional Korean fermented seafood jeotgal. *Int. J. Syst. Evol. Microbiol.*, 53, 595-602.
- Yoon, J. -H., Oh, T. K., and Park, Y. -H. 2004. Transfer of *Bacillus halodenitrificans* Denariáz et al. 1989 to the genus *Virgibacillus* as *Virgibacillus halodenitrificans* comb. nov. *Int. J. Syst. Evol. Microbiol.*, 54, 2163-2167.
- Zhang, W., Xue, Y., Ma, Y., Zhou, P., Ventosa, A., and Grant, W. D. 2002. *Salinicoccus alkaliphilus* sp. nov., a novel alkaliphile and moderately halophile from Baer Soda Lake in Inner Mongolia Autonomous Region, China. *Int. J. Syst. Evol. Microbiol.*, 52, 789-793.



สถาบันวิทยบริการ
จุฬาลงกรณ์มหาวิทยาลัย

ภาคผนวก

สูตรอาหารเลี้ยงเชื้อ

นำส่วนประกอบตามสูตร ผสมกับน้ำกลั่น 1000 ml. นำไปฆ่าเชื้อในเครื่องอบไอน้ำเป็นเวลา 15 นาที ที่ความดัน 15 ปอนด์ ที่อุณหภูมิ 121 °C ยกเว้นสูตรอาหารที่ใช้ทดสอบการสร้างกรดจากน้ำตาล และการเจริญในอาหารที่มีเฉพาะแหล่งคาร์บอน นำไปฆ่าเชื้อในเครื่องอบไอน้ำเป็นเวลา 10 นาที ที่ความดัน 10 ปอนด์ ที่อุณหภูมิ 110 °C

1. Halobacterium medium JCM No. 168

yeast extract	5	g
Casamino acid	5	g
Sodium glutamate	1	g
Tri-sodium citrate	3	g
MgSO ₄ .7H ₂ O	20	g
KCl	2	g
NaCl	200	g
FeCl ₂ .4H ₂ O	0.362	g
MnCl ₂ .4H ₂ O	0.0362	g
Agar	20	g
Distilled water	1000	ml
Adjust pH 7.2 with NaOH		

2. Halobacterium medium JCM No. 169

yeast extract	10	g
Casamino acid	7.5	g
Tri-sodium citrate	3	g
MgSO ₄ .7H ₂ O	20	g
KCl	2	g
NaCl	250	g
FeSO ₄ .4H ₂ O	0.05	g
MnSO ₄ .4H ₂ O	0.2	g
Agar	20	g

Distilled water	1000	ml
-----------------	------	----

Adjust pH 7.2 with NaOH

3. Halobacterium medium JCM No. 377

yeast extract	5	g
Casamino acid	5	g
Sodium glutamate	1	g
Tri-sodium citrate	3	g
MgSO ₄ ·7H ₂ O	20	g
KCl	2	g
NaCl	100	g
FeCl ₂ ·4H ₂ O	0.362	g
MnCl ₂ ·4H ₂ O	0.0362	g
Agar	20	g
Distilled water	1000	ml

Adjust pH 7.2 with NaOH

4. Marine oxidation-fermentation medium (MOF)

Casitone(Difco)	1	g
Yeast extract	0.1	g
Ammonium sulfate	0.5	g
Tris buffer	0.5	g
NaCl	6.5 หรือ 16.5	g
Phenol red 0.001%(1.0 มก. ของ 0.1%aqueous ต่อ 100 ml ของอาหาร)		
Artificial sea water	1000	ml

Adjusted pH to 7.5

5. L-arginine agar medium

Peptone	1.0	g
NaCl	100 หรือ 200	g
K ₂ HPO ₄	0.3	g
Phenol red,1.0% aq.solution	1.0	ml
L(+)-arginine hydrochloride	10.0	g
Agar	3.0	g

Distilled water	1000	ml
-----------------	------	----

Dissolve the solids in the water, adjust to pH 7.2 , distribute into tubes or screw-capped (6mm) bottles to a depth of about 16 mm(3.5ml).

6. Aesculin broth

Aesculin	1	g
Ferric citrate	0.5	g
NaCl	100 หรือ 200	g
Peptone water	1000	ml

Adjust pH 7.4

Dissolve the aesculin and iron salt in the peptone water and sterilized at 115 °C for 10 min.

7. Casein agar

JCM NO. 168 หรือ 377 agar medium (ไม่เติม casamino acids)

Skim milk (ฆ่าเชื้อ 10 นาที ความดัน 10 ปอนด์ อุณหภูมิ 110 °C) 1% (w/v)

8. Gelatin agar

JCM NO. 168 หรือ 377 agar medium (ไม่เติม casamino acid)

Gelatin	10% (w/v)
---------	-----------

Dissolve and adjust pH 7.2.

8. Starch agar

JCM NO. 168 หรือ 377 agar medium

Starch	10% (w/v)
--------	-----------

Dissolve and adjust pH 7.2.

9. Tyrosine agar

JCM NO.168 หรือ 377 agar medium (ไม่เติม casamino acids)

Tyrosine	50	g
----------	----	---

Dissolve and adjust pH 7.2.

10. Deoxyribonuclease (DNase) media

DNase test agar (Difco)	42	g
-------------------------	----	---

Distilled water	1000	ml
-----------------	------	----

Adjust pH 7.3 ± 0.2 and heat to boiling to dissolve completely.

11. Nitrate broth

Beef extract	10	g
Peptone	10	g
NaCl	5	g
Distilled water	1000	ml

Dissolve and adjusted pH to 7.2.

12. Indole test

Bactopeptone	10	g
NaCl	100 หรือ 200	g
Distilled water	1000	ml

Dissolve and adjusted pH to 7.2.

13. Tween 80 agar medium

JCM NO.168 หรือ 377 agar medium

Tween 80	2	ml
----------	---	----

Dissolve and adjust pH 7.2.

14. Urea agar medium

JCM NO.168 หรือ 377 agar medium (ไม่เติม casamino acids)

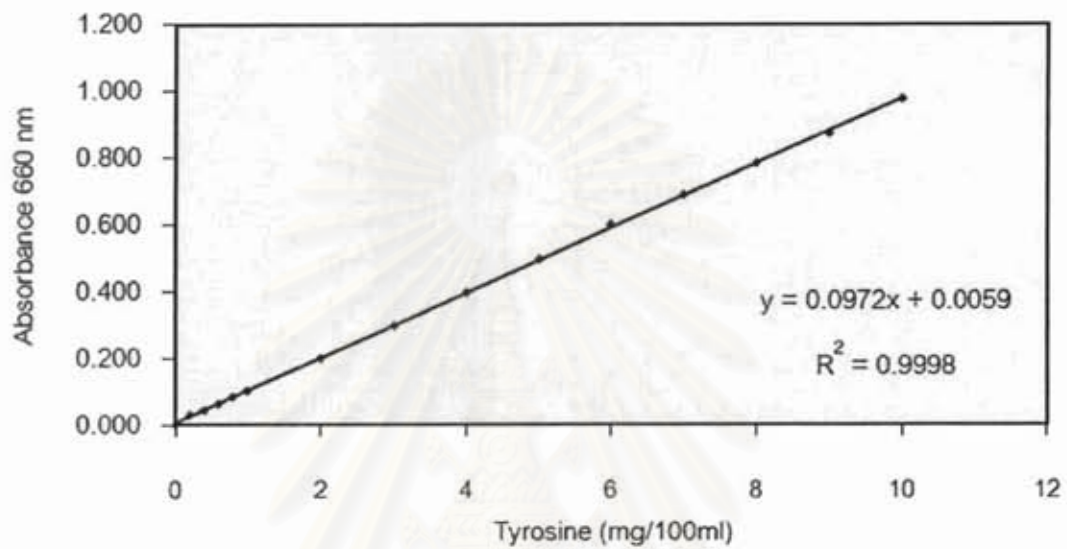
Urea (นำเชื้อด้วยการกรอง) 2% (w/v)

Dissolve and adjust pH 7.2.

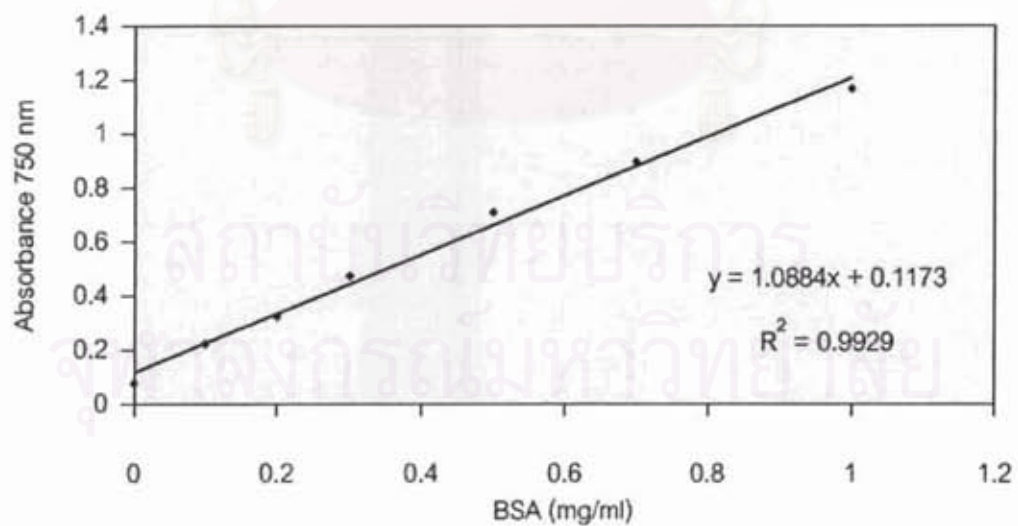
สถาบันวิทยบริการ
จุฬาลงกรณ์มหาวิทยาลัย

Standard curve of tyrosine, Bovine serum albumin(BSA) and AMC

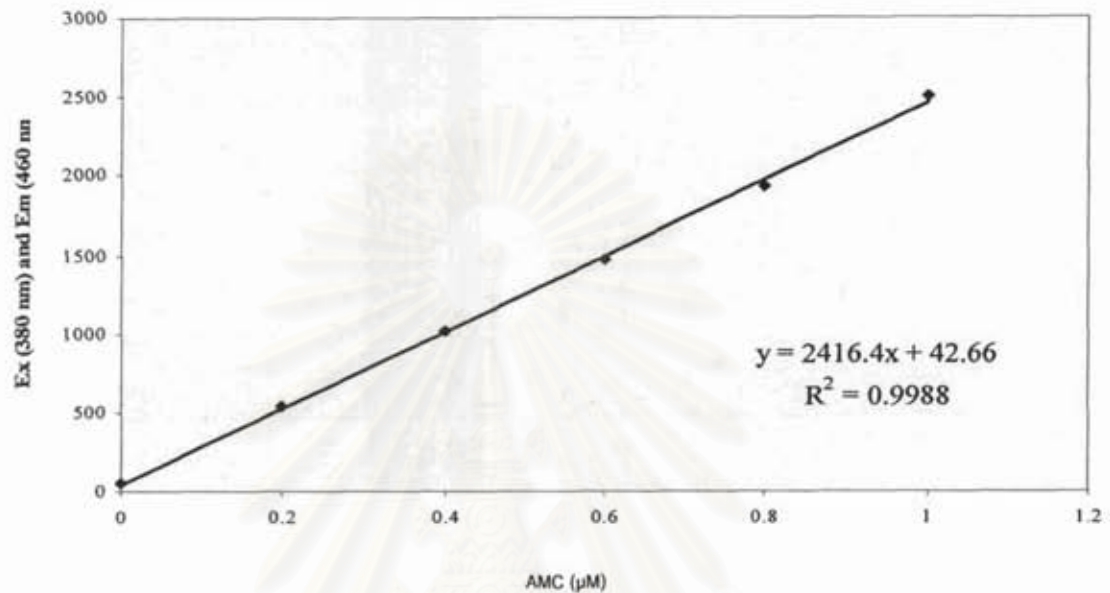
1. Standard curve of tyrosine



2. Standard curve of Bovine serum albumin (BSA)



3. Standard curve of AMC



Nucleotide sequences of the PCR amplified 16S rDNA

Strain IS40-3 (AB127980)

```

1  aggacgaacg ctggcggcgt gcctaataca tgcaagtcga ggcgagggaag caggtaatcg
61  cccttcgggg cgtgcgcctg tggaacgagc ggcggacggg tgagtaacac gtgggcaacc
121  tgccgtgaag actgggataa ctccgggaaa cgggggctaa taccggatga tgtcttctc
181  cgcatgaggg aaggctgaaa gacggccttt gtgctgtcac ttacagatgg gcccgcggcg
241  cattagttag ttggtgaggt aagagctcac caaggcgacg atcgtagcc gacctgagag
301  ggtgatcggc cacactggga ctgagacacg gccagactc ctacgggagg cagcagtagg
361  gaatctccg caatggacga aagtctgacg gagcaacgcc gcgtgagtga tgaaggtctt
421  cggatcgtaa aactctgttg tcagggaaga acaagcgtgg ttcgaacagg gccatgcctt
481  gacggtaact gaccagaaag ccccggctaa ctacgtgcca gcagccgagg taatacgtag
541  ggggcaagcg ttgtccggaa ttattgggcg taaagcgcgc gcagggcgtt tcttaagtct
601  gatgtgaaat ctgcggcctt aaccgcgagc ggtcattgga aactgggagg cttgagtaca
661  gaagaggaga gtggaattcc acgtgtagcg gtgaaatgcg tagagatgtg gaggaacacc

```

721 agtggcgaag gcgactctct ggtctgtaac tgacgctgag gcgcgaaagc gtgggtagcg
 781 aacaggatta gataacctgg tagccacgc cgtaaactgt gagtgctagg ttttaggggg
 841 ttccgcccc tttgtgctga agttaacgca ttaagcactc cgctgggga gtacggccgc
 901 aaggctgaaa ctcaaaagaa ttgacggggg ccgcacaag cggtaggagca tgtggttaa
 961 ttgaagcaa cgcaagaac cttaccaggt cttgacatcc tctgacagcg gcagagatgc
 1021 cgtgttcct tcggggacag agtgacaggt ggtgcatggt tgcgacagc tctgtctgtg
 1081 agatgttggg ttaagtcccg taacgagcgc aaccttgat cttagtggc agcattcagt
 1141 tgggactct aaggtgactg ccggtgaca accggaggaa ggccgggatg acgtcaatc
 1201 atcatgcccc ttatgacctg ggctacacac gtgctacaat ggatggaaca aagggaagcg
 1261 aagccgtgag gtgtagcaaa tccataaaa ccattctcag ttcggattgc aggtgcaac
 1321 tcgctgtat gaagccgga tcgctagtaa tcgcgatca gcatgcccg gtgaatcgt
 1381 tcccggcct gtacacacc gcccgcaca ccacgagagt tggcaacacc cgaagtcggt
 1441 gaggtaacct tttgagcca gccgccgaag gtggggcaa tgaatgggt gaagtcgtaa
 1501 caaggtagcc gtatcggaag gtgc

Strain PS11-2 (AB191345)

1 cggacgggtg agtaacactg gggcaactg ccgaaagac cgggataact tgcgaaacg
 61 tgagtaata ccgataatg ctttccccg catgggggag ggctgaaaga cggccttgt
 121 gctgtcactt acggatgggc ccgcgcgca ttagttagtt ggtgaggtaa gagctacca
 181 aggcgacgat gcgtagcca cctgagaggg tgatcgcca cactgggact gagacaggg
 241 ccagactcct acgggaggca gcagtaggga atctccgca atggacgaaa gtctgacgga
 301 gcaacgccgc gtgagtgatg aaagtctcg gatcgtaaa cctgtgtc agggaagaac
 361 aggcgtggtt cgaacagggc catggttga cgtacctga cctaaagcc ccggcaact
 421 acgtgccagc agcccggta atacgtaggg ggcgagcgtt gtccggaatt atgggcgta
 481 aagggcgcgc aggcggtctt ttaagtctga tgtacatct cgcggctcaa ccgcgagcgg
 541 tcattgaaa ctgggagact tgagtacaga agaggagagt ggaattccac gtgtagcgg
 601 gaaatcgta gagatgtgga ggaacaccag tggcgaagc gactctctgg tctgtactg
 661 acgtgagcgc gcaaaagcgt ggtagcgaa caggattaga taccctgta gtccacgcc
 721 taaacttga gtgctaggtg ttagggggtt tccgccctt tgtctgaag ttaacgcat
 781 aagcactccg cctggggagt acggccgca ggctgaaact caaaagaatt gacgggggcc
 841 cgcaaacg gcgtgacatg tggtttaatt cgaagcaac cgaagaacct taccaggtct

901 tgacatcctc tgacagcggc agagatgccg tgttccttc ggggacagag tgacaggtgg
 961 tgcattggtg tcgtcagctc gtgtcgtgag atgttgggtt aagtcccgtc acgagcgcga
 1021 cccttaactc tagttgccag cattaagtgg ggcactctaa ggtgactgcc ggtgacaaa
 1081 cggaggaagg cggggatgac gtcaaatcat catgcccctt atgacctggg ctacacacgt
 1141 gctacaatgg atggaacaaa gggacgcgaa gcggcgacgt gatagccaat cccacaaaac
 1201 cattcccagt tcggattgca ggctgcaact cgcctgtatg aagccggaat cgctagtaat
 1261 cgcggatcag aatgccgcgg tgaatacgtt cccgggccc tgcacacccg cccgtcacac
 1321 cagagaggtt ggcaacacc gaagtcggtg aggcaacct tttggagcca gccgccgaag
 1381 gtggggccaa tgattgggtg gaagtcgtaa

Strain PN7-6 (AB231905)

1 aatacatgca agttcagcgc gtgaagcagg catttgcct tcggggcaat tgcitgtgga
 61 acgagcggcg gacgggtgag taacacgtgg gcaacctgcc tgaagcctg ggataactcc
 121 gggaaaccgg ggctaatacc ggatgacatg ccgtalcgca tgatcgggga ttgaaagacg
 181 gcttttggct gtcacttaca gatgggcccg cggcgcatta gttagtggg gagtaagag
 241 ctaccaagg cgacgatcgc tagccgacct gagagggtga tcggccacac tgggactgag
 301 acacggccca gactcctacg ggaggcagca gtagggaatc atccgcaatg gacgaaagtc
 361 tgacgggtgca acgccgcgtg agtgalgaag gtttfcggat cgtaaaatic tgtgtcagg
 421 gaagaacacg tctgtctcga agagggcagc gccttgacgg tacctgacca gaaagccccg
 481 gctaactacg tgccagcagc cgcgtaata cgtagggggc gacggtgtc cggaaattat
 541 gggcgtaaag cgcgcgcagg cggctttta agtctgatgt gaaatcccgc ggctcaaccg
 601 cgggcgggca ttggaaactg gaggacttga gtcagaaga ggagagtgga attccacgtg
 661 tagcgggtaa atgcgtagag atgtggagga acaccagtgg cgaagcgcac tctctggtct
 721 gtaactgacg ctgaggtgcg aaagcatggg tagcgaacag gattagatac cctggtagtc
 781 catgccgtaa acgttgagtg ctagggttta gggggtttcc acccctttgt gctgaagtta
 841 acgcaatag cactccgctt ggggagtacg gccgcaaggc tgaactcaaa aagaattgac
 901 gggggccccg acaagcgggt gagcatgtgg ttaattcga agcaacgcga agaaccttac
 961 caggcttga catcctctga tgacggtaga gataacctgt tcccttcggg gacagagtga
 1021 cagggtgtgc atggtgtcgc tcagctcgtg tcgtgagatg ttgggtaag tcccgtaacg
 1081 agcgaaccc ttgaccttag ttgccagcat tcagttgggc actctaaggt gactgccggt
 1141 gacaaaccgg aggaaggcgg ggatgacgtc aaatcatcat gcccttatg acctgggcta

1201 cacacgtgct acaatggatg gaacaaaggg cagcgaagcc gtgaggtgaa gcaaatccca
 1261 caaaaccatt cccagttcgg attgcaggct gcaactcgcc tgtatgaagc cggaatcgt
 1321 agtaatcgcg gatcagaatg ccgcggtgaa tacgttcccg ggccttgtae acaccgccc
 1381 tcacaccacg agagttggca acaccgaag tcggtgaggt aaccgtaagg agccagccc
 1441 cgaaggtggg gccaatgatt ggggtgaagt cgtaacaagg tagccgtatc ggaaggtgc
 1501 gctggatcac tccta

Strain RF2-5 (AB191344)

1 aagcagactg aatccttcgg gaggacgtct gtggaacgag cggcggacgg gtgagtaaca
 61 cgtgggcaac ctgctgtaa gactgggata actccgggaa accggggcta ataccggata
 121 actcatcgga tcgatgac cgatgtgaa agatggctc tagctatcac ttacagatgg
 181 gcccgcggcg cattagttag ttggtgaggt aacggctcac caaggccacg atgcgtagcc
 241 gacctgagag ggtgatggc cacactggga ctgagacacg gccagactc ctacgggagg
 301 cagcagtagg gaatcatccg caatggacga aagtctgacg gtgcaacgcc gcgtgagtg
 361 ggaaggcctt cgggtcgtaa aactctgtg ttagggaaga acaagtccg ttcgaatagg
 421 gcgagcctt gacggtacct aaccagaaag ccacggctaa ctacgtgcca gcagccgcg
 481 taatacgtag gtggcaagcg ttgtccggaa ttatgggcg taaagcgcgc gcagggcgtt
 541 ccttaagtct gatgtgaaat ctgcccgc acgcgaagc ggtcattgga aactggggaa
 601 ctgaaagaca gaagaggaga gcggaattcc acgtgtagcg gtgaaatgcg tagagatgtg
 661 gaggaacacc agtggcgaag gcggctctct ggctgtgct tgacgtgag gcgcgaaagc
 721 gtggggagcg aacaggatta gataccctgg tagtccacgc cgtaaacgat gactgctagg
 781 tgttaggggt tccaccctt agtctgcag ttaacgcaat aagcactccg cctggggagt
 841 acgggcgcaa ggtgaaact caaaggaatt gacgggggcc cgcacaagcg gtggagcatg
 901 tggtttaatt cgaagcaacg cgaagaacct taccaggtct tgacattctc ggaccacct
 961 agagataggg tcttccctc ggggaccgag tgacaggtgg tgcattggtg tctcagctc
 1021 gtgtcgtgag atgttgggtt aagtcgca acgagcga cccttgatct tagttgccg
 1081 cattcagttg ggcactctaa ggtgactgcc ggtgacaaac cggaggaagg tgggatgac
 1141 gtcaaatcat catgccctt atgacctggg caacacacgt gctacaatgg atggtacaat
 1201 gggctgcgaa accgcgaggt gaagcaaat ccaaaaagcc attctcagtt cggattgtg
 1261 gctgcaactc gctgcatga agccggaatc gctagtaatc gtggatcagc atgccacggt
 1321 gaatacgttc ccggccttg tacacaccgc ccgtcacacc acgagagttg gtaacaccg

1381 aagtcggtgg ggtaaccttt tggagctagc cgccgaaggt gggaccaatg attgggggtga
 1441 agtcgtaaca aggtagccgt atcggaaggt gcggtggat caaccttna t

Strain RBU1-1 (AB194046)

1 gctatnatgc aagtcgagcg cgggaagcaa actgaatcct tgggagaa cgctgtgga
 61 acgagcggcg gacgggtgag taacacgtgg gcaacctgcc tgaagactg ggataactcc
 121 gggaaaccgg ggctaatacc ggataactca tcggatcga tgaatccgat ttgaaagatg
 181 gcttctgtct atcacttaca gatgggcccg cggcgatta gctagtgtg gaggtaacg
 241 ctaccaagg ccacgatgag tagccgacct gagagggtga tcggccacac tgggactgag
 301 acacggccca gactcctacg ggaggcagca gtagggaatc atcccaatg gacgaaantc
 361 tgacgggtga cggcgtga ntgaaggaaa gcctccggg ctgaaactct gttgttaggg
 421 aagaacagtt ccgttcgata gggcggagcc tfgacgtac ctaaccagaa agccacggct
 481 aactacgtgc cagcagccgc ggtaaacgt aggtggcaag cgltgiccgg aattattggg
 541 cgtaaagcgc gcgagggcg ttccftaagt ctgatgtgaa atctgcccg tcaaccgcaa
 601 gcggtcattg gaaactgggg aactgaaga cagaagagga gagcggaaat ccacgtgtag
 661 cgggaaatg cgtagagatg tggaggaaca ccagtggcga aggcggctct ctggtctgtg
 721 cttgacgtg aggcgcgaaa gcgtggggag cgaacaggat tagataacct ggtagtccac
 781 gccgtaaagc atgagtgcta ggtgttaggg ggtccacc ttagtctgc agttaacgca
 841 ataagcactc cgcctgggga gtacggccgc aaggctgaaa ctcaaaggaa ttgacggggg
 901 cccgcacaag cgggtggagca tgtggttaa ttcgaagcaa cgcgaagaac cttaccaggt
 961 cttgacatcc tcggaccacc ctgagatag ggtcttccct tggggaccg agtgacaggt
 1021 ggtgcatggt tctctcagc tctgtctgt agatgttggg ttaagtcccg caacgagcgc
 1081 aaccttaac cttagtgcc agcattcagt tgggactct aagtgactg ccggtgaca
 1141 ccggaggaag gtgggatga ctcaatcat catgcccctt atgacctggg cacacacgtg
 1201 ctacaatgga tggtaaatg ggccggaag ccgcgaggtg aagcaatcc caaaaagcca
 1261 ttctcagttc ggattgtag ctgcaactcg cctgcatgaa gccggaatcg ctagtaatc
 1321 tggatcagca tgccacgggt aatacgttcc cgggccttgt acacaccgcc cgtcacacca
 1381 cgagagttgg taacaccga agtcggtggg gtaacctttt ggagctagcc gccgaaggtg
 1441 ggaccaatga ttgggtgaa gtcgtaaca ggtagccgta tcggaaggtg cntggaaaa
 1501 nccccctct taaa

Strain SSK3-2

GCGCGGGAAG CAAGCTGATC CTCTTCGGAG GTGACGCTTG TGGAACGAGC
 GGCGGACGGG TGAGTAACAC GTGGGCAACC TGCCTGTAAG ACTGGGATAA
 CCCCgggAAA CCGGGGCTAA TACCGGATAA TACTTTTCAT CACCTGATGG
 AAAGTTGAAA GGTGGCTTCT TGCTACCACT TACAGATGGG CCCGCGGCGC
 ATTAGCTAGT TGGTGAGGTA ACGGCTCACC AAGGCAACGA TCGTAGCCG
 ACCTGAGAGG GTGATCGGCC AACTGGGAC TGAGACACGG CCCAGACTCC
 TACGGGAGGC AGCAGTAGGG AATCTTCCGC AATGGACGAA AGTCTGACGG
 AGCAACGCCG CGGGAGTGAT GAAGGTTTTT GGATCGTAAA GCTCTGTTGT
 TAGGGAAGAA CAAGTGCCGT TCGAATAGGG CGGCACCTTG ACGGTACCTA
 ACCAGAAAGC CCCGGCTAAC TACGTGCCAG CAGCCGCGGT AATACGTAGG
 GGGCAAGCGT TGTCCGGAAT TATTGGGCGT AAAGCGCGCG CAGGCGGTCC
 TTTAAGTCTG ATGTGAAAGC CCACGGCTTA ACCGTGGAGG GTCATTGGAA
 ACTGGAGGAC TTGAGTACAG AAGAGGAGAG TGGAATTCCA CGTGTAGCGG
 TGAAATGCGT AGAGATGTGG AGGAACACCA GTGGCGAAGG CACTCTCTG
 GTCTGTAAC TACGCTGAGG CGCGAAAGCG TGGGGAGCGA ACAGGATTAG
 ATACCCTGGT AGTCCACGCC GTAAACGATG AGTGCTAGGT GTTAGGGGT
 TTCCGCCCT TAGTGCTGAA GTTAACGCAT TAAGCACTCC GCCTGGGGAG
 TACGGCCGCA AGGCTGAAAC TCAAAGAAT TGACGGGGGC CCGCACAAGC
 GGTGGAGCAT GTGGTTAAT TCGACGCAAC GCGAAGAACC TTACCAGGTC
 TTGACATCCT CTGCAATCGG TAGAGATAACC GAGTTCCTT CGGGGACAGA
 GTGACAGGTG GTGCATGGTT GTCGTCAGCT CGTGTCGTGA GATGTTGGGT
 TAAGTCCCGC AACGAGCGCA ACCCTTGATC TTAGTTGCCA GCATTTAGTT
 GGGCACTCTA AGGTGACTGC CGGTGACAAA CCGGAGGAAG GTGGGGATGA
 CGTCAAATCA TCATGCCCT TATGACCTGG GCTACACACG TGCTACAATG
 GATGGAACAA AGGGAAGCAA AACCGCGAGG TCAAGCAAAT CCCATAAAAC
 CATTCTCAGT TCGGATTGCA GGCTGCAACT CGCCTGCATG AAGCCGGAAT
 CGCTAGTAAT CGCGGATCAG CATGCCGCGG TGAATACGTT CCCGGGCCTT
 GTACACACCG CCCGTACAC CACGAGAGTT GGTAACACCC GAAGTCGGTG
 AGGTAACCTT TTGGAGCCAG CCGCCGAAGG TGGGACCAAT GATTGGGGTG
 AAGTCGTAAC AAGGTAGCCG TATCGGAAGG TGCGGCTGGA NTNNCCTNNA

Strain SSK2-2

CATCCCCTTCGGGGGTGACGCTTATGGAATGAGCGGCGGACGGGTGAGTAACA
 CGTGGGCAACCTGCCTGTAAGACTGGGATAACCCCGGAAACCGGGGCTAATA

CCGGATAACACTTTTTGTTGCATGACGAGAAGTTGAAAGGCGGCTTCGGCTGCC
 ACTTACAGATGGGCCCGCGGCATTAGCTAGTTGGTAAGGTAACGGCTTACCA
 AGGCGACGATGCGTAGCCGACCTGAGAGGGTGATCGGCCACACTGGGACTGAG
 ACACGGCCCAGACTCCTACGGGAGGCAGCAGTAGGGAATCTCCGCAATGGAC
 GAAAGTCTGACGGAGCAACGCCGCGTGAGTGATGAAGGTCTTCGGATCGTAAA
 ACTCTGTTGTTAGGGAAGAACAAGTCGGGTAGTAACTGACCCGGCCTTGACGGT
 ACCTAACCAGAAAGCCCCGGCTAACTACGTGCCAGCAGCCGCGGTAATACGTA
 GGGGGCAAGCGTTGTCCGGAATTATTGGGCGTAAAGCGCTCGCAGGCGGTCTT
 TAAGTCTGATGTGAAATCTCGCGGCTCAACCGCGAACGGTCATTGGAACTGGA
 GGACTTGAGTACAGAAGAGGAGAGTGGAATTCNCNTGTAGCGGTGAAATGCC
 TAGAGATGTGGAGGAACACCAGTGGCGAAGGCGACTCTCTGGTCTGTAAGTGA
 CGCTGAGGAGCGAAAGCGTGGGGAGCGAACAGGATTAGATACCCTGGTAGTCC
 ACGCCGTAAACGATGAGTGCTAGGTGTTAGGGGGTTTCCGCCCTTAGTGCTGA
 AGTTAACGCATTAAGCACTCCGCCTGGGGAGTACGGCCGCAAGGCTGAAACTC
 AAAAGAATTGACGGGGGGCCGCACAAGCGGTGGAGCATGTGGTTTAATTGAA
 GCAACCGGAAGAACCTTACCAGGTCTTGACATCCTCTGCTATTCCTAGAGATAG
 GAAGTCCCTTCGGGGACAGAGTGACAGGTGGTGCATGGTTGTCGTCAGCTCGT
 GTCGTGAGATGTTGGGTTAAGTCCCGCAACGAGCGCAACCCTTGATCTTAGTTG
 CCAGCATTTAGTTGGGCACTCTAAGGTGACTGCCGGTGACAAACCGGAGGAAG
 GTGGGGATGACGTCAAATCATCATGCCCTTATGACCTGGGCTACACACGTGCT
 ACAATGGGATGGAACAAAGGGAAGCAAAACCGCGAGGTCAAGCAAATCCCAT
 AAAACCATTCTCAGTTCGGATTGCAGGCTGCAACTCGCCTGCATGAAGCCGGA
 ATCGCTAGTAATCGCGGATCAGCATGCCCGGGTGAATACGTTCCCGGGCCTTG
 TACACACCGCCCGTCACACCACGAGAGTTGGTAACACCCGAAGTCGGTGAGG
 TAACCTTTTGGAGCCAGCCGCCGAAGGTGGGACCAATGATTGGGGTGAAGTC
 GTAACAAGGTAGCCGTATCGGAAGGTGCGGCTGGATCACCTCCTTAAAA

Strain CS2 (AB194072)

1 ttagttagat ccttggntca ggacgaacgc tggcggcgtg cctaatacat gcaagtcgag
 61 gcggggaage cggcggactc cttcgggagg aaaccggtgg aacgagcggc ggacgggtga
 121 gtaacacgtg ggcaacctgc cggactgatg ggaataacct cgggaaaccg gggctaattc
 181 ccaatacgc ctagacctgc ctgaggctag cggtaaagca gggatcttcg gattccttgc
 241 acagttccga tgggcccgcg gcgcattagc tagtggagag gtaagggctc cccaaggcga
 301 acgatgcgta gccgacctga gaggggtgac ggccacactg ggactgagac acggcccaga

361 ctentacggg aggcagcagt agggaatcat ccgcaatggg cgaaagcctg acggtgcaac
 421 gccgcgtgag tgatgaaggt ttccggatcg taaagctctg ttgacaggga agaaccacg
 481 ccagtegaac aggcctggcg gctgacggta cctgtccaga aagccccggc taactactgt
 541 ccagcagccg cggtaatac tagggggcaa gcgtgtccg gaattattgg gcgtaaagg
 601 cacgcaggcg gtttcgtcag tccgatgtga caggccacgg ctcaaccgtg gaaggccatt
 661 ggaaactgcg aaactgagg acagaagagg agagtggaat ttccactgtg agcggtgaaa
 721 tgcgtagata tggaggaa caccagtggc gaaggcgact ttttggctg tacctgacgc
 781 tgaggtcga aagcatgggg agcaaacagg attagatacc ctggtagtcc atgccgtaaa
 841 cgctgagtgc taggtgtag gggtttcgat acccgtagtg ccgaagctaa cgcattaagc
 901 actccgctg gggagtacga ccgcaagggt gaaactcaa ggaattgac ggggccgca
 961 caagcgggg agcatgtgt ttaattcgc gcaacgcga gaacctacc agatctgac
 1021 atttccgct acgctcag agaggcgggt cccctcggg ggancggaat gancagggtg
 1081 tgccatggt ntentcagct cgtgtcgtga gatgtgggt taagtccgc aacgagcga
 1141 acccctaate ttagtcca gcattcagtt gggcactcta aggtgactgc cggtgacaaa
 1201 ccggaggaag gtgggatga cgtcaaatca tcatgccct tatgatctgg gctacacag
 1261 tgctacaatg gatgtacaa cgggatgca acccgcgagg gggagccaat ccagaaaagc
 1321 cattctcagt tcggattgca ggtgcaact cgcctgcatg aagccggaat cgctagtaat
 1381 cgcggatcag catgccgcg tgaatcgtt tccgggctc tgtacacacc gccctcaca
 1441 ccacgagagt tgcaacacc gaagtcggt gagggaacct ttggaccca gccgccgaag
 1501 tggcaaa

Strain PN1-2 (AB258358)

1 tgaagtca acgcagcc ccggagctt cctggggtc tgcgagtggc ggacgggtga
 61 gtaacagta ggcaacctac ccatcagact gggataaccg cgggaaaccg ttgctaatac
 121 cggataacc tgatccccgc aggggatga gttgaaaggc ggtcttgac tgccactgat
 181 ggatgggct gcggcgcat agctagtgg tgggtaagg gcccaccaag gcgacgatc
 241 gtagecgacc tgagagggtg atcgccaca ctgggactga gacacgccc agactcctac
 301 gggaggcagc agtagggaat ctccgcaat ggacgcaagt ctgacggagc aacgccgct
 361 gagtgaagaa gggttcggc tcgtaaaact ctgtgtcag ggaagaacgc cggttggagt
 421 aactgtccat cgggtgacgg tacctgacca gaaagccacg gctaactacg tgccagcagc
 481 cgcgtaata cgtagggtgc aagcgttacc cggaattatt gggcgtaaag cgcgcgtagg

541 cggttcgtta agtctgatgt gaaagccccc ggctcaaccg gggaggggtca ttggaaactg
 601 gcgaacttga gtgcagaaga ggagagtgga attccatgtg tagcgggtgaa atgcgcagag
 661 atatggagga acaccagtgg cgaaggcggc tctctggtct gcaactgacg ctgatgtgcg
 721 aaagcgtggg gatcaaacag gattagatac cctggtagtc cacgccgtaa acgatgagt
 781 ctaagtgtta gggggtttcc gcccttagt gctgcagcaa acgcattaag cactccgct
 841 ggggagtacg gccgcaaggc tgaactcaa aggaattgac ggggacccgc acaagcgggtg
 901 gagcatgtgg ttaattcga agcaacgcga agaaccctac caaatcttga catcctctga
 961 ccgcatgga gacatggctt cccctttggg cagagtgaca ggtggtgcat ggttgcctg
 1021 agctcgtgtc gtgagatgtt gggtaagtc ccgcaacgag cgcaaccctt atcattagt
 1081 gccagcattc agttgggac tctaatgaga ctgccggtga caaacggag gaagtgggg
 1141 atgacgtcaa atcatcatgc ccttatgat ttgggtaca cacgtctac aatggacagg
 1201 ttacaaaggg cagctacgcc gcgaggccaa gcgaatccca taaaactgtt ctcagttcgg
 1261 attggagtct gcaactcgc tccatgaagc tggaatcgt agtaatcgtg gatcagaatg
 1321 ccacggtgaa tacgttccc ggtctgtac acaccgccc tcacaccacg gaagtcggta
 1381 acactgaag ccggtgggcc aaccttatg gaggcagccg tcgaaggtgg gaccgatgac
 1441 tggggtaag tcgtaacaag gtaccgtat cgggaaggtgc ggctggatca ctcttaagg
 1501 ggg

Strain DS26-2 (AB193815)

1 ggggctacca tgcagtcgag cgttacaggt ccagcttctt ggatgctgac gagcggcggg
 61 cgggtgagta tgcataaggaa tctaccagc cgtgggggat aacctgggga aaccaggct
 121 aataccgat acgtctacg ggaagaaagc gggggctctt cggacctcgc gcgattggat
 181 gagcctatgt cggattagct ggttgggtgg gtaacggctc accaaggcga cgatccgtag
 241 ctggctgag aggatgatca gccacactgg gactgagaca cggcccagac tectacggga
 301 ggcagcagtg gggaaattg gacaatgggc gaaagcctga tccagccatg ccgcgtgtg
 361 gaagaaggct ttcgggtgtt aaagcactt cagtggggaa agaaggcttgc tggccaata
 421 cccggcaaga gcgacatcac ccacagaaga agcaccggct aactccgtgc cagcagccc
 481 ggtaatacgg aggggtcaag cgttaatcgg aattactggg cgtaaagcgc gcgtaggcgg
 541 cttgtcacgc cgggtgtgaa agccccgggc tcaacctggg aacggcatcc ggaacgggca
 601 ggctagagtg caggagagga aggtagaatt cccggtgtag cggtgaaatg cgtagagatc
 661 gggaggaata ccagtggcga aggcggcctt ctggactgac actgacgctg aggtgcgaaa

721 gctgggtag caaacaggat tagatacct gtagtccac gccgtaaagc atgtnacta
 781 gccgttgggt ccttgnagga nttagtggcg cagttacgcg atagtcgacc gcctggggag
 841 tacggccgca aggttaaac tcaaatgaat tgacgggggc ccgcacaagc ggtggagcat
 901 gtggtttaat tcatgcaac gcgaagaacc ttacctacce ttgacatcct gcgaaccggg
 961 aagagattcc ggggtgcctt cgggagcgca gagacagggt ctgcatggct gtcgtcagct
 1021 cgtgttgga aatgttgggt taagtcctt aacgagcgca accctgtcc ctattgcca
 1081 gcgattcggg cgggaactct agggnaantg ccggtganaa accggaggnt tgtggggagc
 1141 acgtcagtc tcatggccct tacgggtagg gctacacagc tgctacaatg gccggtacaa
 1201 aggggtgcca agccgcgagg tgaagccaat ccagaaaagc cggcctcagt ccggattgga
 1261 gtctgcaact cgactccatg aagtcggaat cgctagtaat cgtgcatcag aatggcacgg
 1321 tgaatacgtt cccgggcctt gtacacaccg cccgtcacac catgggagtg gactgcacca
 1381 gaagtggta gcctaacttc ggaggcgat caccacgggt tggttcatga ctggggtgaa
 1441 gtcgtaacaa ggtaacca

Strain DS2-5 (AB284264) =HDS2-5

1 tccgatttag ccatgctagt tgtgcgggtt tagaccgca gcgaaagct cagtaacag
 61 tggccaagct accctgtgga cgggaatact ctcgggaaac tgaggctaat ccccgataac
 121 gctttgctcc tggaaagggc aaagccggaa acgctccggc gccacaggat gcgctgccc
 181 tcatgtagt agacgggtgg gtaacggccc accgtgcca taatcgtac gggttgtgag
 241 agcaagagcc cggagacgga atctgagaca agattccggg ccctacgggg cgcagcagc
 301 gcaaacctt tacactgtac gaaagtgcga taaggggact ccgagtgtga agcatagag
 361 ccttcacttt tgtacaccgt aaggtgtgac acgaataaga ctgggcaaga ccgtgccagc
 421 cgcgcggta ataccggcag tccgagtgat ggccgatctt atgggcctaa gcgtccgtaa
 481 actggctgaa caagtcggtt gggaaatctg tccgctaac gggcaggcgt ccagcggaaa
 541 ctgtcagct tgggaccgga agacctgagg ggtacgtctg ggttaggagt gaaatcctgt
 601 aatcctggac ggaccgcccg tggcgaagc gcctcaggag aacggatccg acagtgaggg
 661 acgaaagcta ggtctcga cggattaga taccgggta gtctagctg taaacgatg
 721 ccgctagggt tggcgcagc tacgacctg cgctgtgccg tagggaagc gagaagcga
 781 ccgctggga agtacgtctg caaggatgaa actaaagga atggcgggg gagcactaca
 841 accggaggag cctgcggtt aattggactc aaacccgga catctcacc agccccgaca
 901 gtatgaatga cggttcaggt tcatgacctt acccgaggct actgagagga ggtgcatggc

961 cgccgtcagc tctgtaccgt gaggcgtcct gttaagtcag gcaacgagcg agaccgcac
 1021 tcctaattgc cagcagtacc ctttgggtag ctgggtacat taggtggact gccgctgcca
 1081 aagcggagga aggaacgggc aacggtaggt cagtatgccc cgaatgggct gggcaacacg
 1141 cgggctacaa tggtcgagac aatgggaage cactccgaga ggaggcgcta atctcctaaa
 1201 ctcgatcgta gttcggattg agggctgaaa ctgcacctca tgaagctgga ttcggtagta
 1261 atcgcgtgic agcagcgcgc ggtgaatagc tcctgctcc ttgcacacac cggccgctcaa
 1321 atcacccgag tggggttcgg atgaggccgg catgcactgg tcaaactggg ctccgcaagg
 1381 gg

Strain RF6 (AB284265) = HRF6

1 ctgccggagg ctattgctat cgggatccga ttcagtcag ctagtgcac gggctcagac
 61 ccgtggcgaa tagctccgta acacgtggc aaactacct ctggaccggg acaccctcgg
 121 gaaactgagg ctaatcctag atactgcttt catgttgaa tacagaaagc cggaaatggt
 181 ccgccgccgg aggacgtgac tgcggccgat taggtagacg gtggggtaac ggcccaccgt
 241 gccgataatc ggtacggggt gtgagagcaa gaaccggag acggactctg agacaagagt
 301 ccgggcccta cggggcgcag cagacgcgaa acctttacac tgcacgacag tgcgataagg
 361 ggatcccgag tgcgagggca tacagtctc gctttctg accgtaaggt ggtctcagaa
 421 taagggtcgg ctaagaccgg tgccagccgc cgcggtaata ccggcagcca gagtgatagc
 481 cactcttatt ggctaaagcg tccgtagctg gccgaacggg tccgtcggga aatccacag
 541 ctaacgggt gggcgtccgg cggaaaccag tcggcttggg accggaggac ctgcggggta
 601 cgtccggggt aggagtgaaa tctgtaatc ccggacggac cggcgggtggc gaaagcggc
 661 caggaggacg gatccgacag tgagggacga aagcttgggt ctgcaaccgg attagatacc
 721 cgggtagtc aagccgtaa cgatgctgc taggtgtggc gcaggctacg agcctgcgt
 781 gtcccgtagg gaagccgaga agcagccgc ctgggaagta cgtccgcaag gatgaaact
 841 aaaggaattg cggggggagc actacaaccg gaggagcctg cggtttaatt ggactcaacg
 901 ccggacatct caccggcacc gacaatgtc agtgacggc agtgtgatga gctacctgag
 961 ccatgagagg aggtgcatgg ccgccgtcag ctctaccgt gaggegtcct gttaagtcag
 1021 gcaacgagcg agaccgcac ccctaattgc cagcaacacc catgtgggtg ttgggtacat
 1081 tagggagact gccgctgcca aagcggagga aggaacgggc aacggtaggt cagtatgccc
 1141 cgaatgtgcc gggctacacg cgggctacaa tggccgagac agtgggacgc taccggaga
 1201 ggggacgcta atctcctaac ctccgtcgta gttcggattg cgggtgaaa cccaccgca

1261 tgaagctgga ttcggtagta atcgcaatfc agaagagtgc ggtgaatacg tcctgcttc
 1321 cttgcacaca ccgcccgtca aagcaccga gtgaggccg gatgaggctc acgcaa

Strain DB5-2 (AB220647)

1 atccgggtg atcctgccgg aggcgattgc talcgaagtc cgattcacc atgctagtg
 61 tacgggttta gaccgtagc aaatagctcc gtaacacgtg gtaaaactac cctctggacc
 121 gggataacct cgggaaactg agccaatcc cagatactgc ttcatgttg gaatacagaa
 181 agtcggaaac ggtccgccgc cggaggacgt gactgcggcc gattaggtag acggtgggg
 241 aacggcccaac cgtgccgata atcggfacgg gttgtgagag caagaacccg gagacgggat
 301 ttgagacaag ataccgggcc ctacggggcg cagcaggcgc gaaaccttta cactgcacgc
 361 cagtgcgata aggggacccc gagtgcgagg gcatacagtc ctgcctttc gtgaccgtaa
 421 gaaggttca gaataagagc tgggcaagac cggtgccagc cgcccggtta ataccggcag
 481 ctcgagtgat agccactatt attgggccta aagcgtccgt agccggccga acgggtccgt
 541 cgggaaatcc acccctcaa cagggtgacg tccggcgaa accagtcggc ttggggccgg
 601 gagaccagaa aggtacgtcc ggggtaggag tgaateccg taatctgga cggaccgcc
 661 gttagcгаааg cgtctctgga gaacggacce gacggtgagg gacgaaagct tgggtctcga
 721 accggattag ataccgggt agtccaagct gtaaacgatg ctgctaggt gtggcgttg
 781 ctacgagcca gcctgtgcc gtagggaagc cgagaagcga gccgcctggg aaglacgtcc
 841 gcaaggatga aactaaagg aattggcggg ggagcactac aaccggagga gcctgcggt
 901 taattggact caacgcgga catctaccg gcaccgacag tgtgcagtga cagtcagct
 961 gatgggctta cttgagccac tgagaggagg tgcattggccg ccglcaactc gtaccgtgag
 1021 gcctcctgtt aagtcaggca acgagcгга cccgcctct laattgccag cagcagcct
 1081 gtgctggctg ggtacattaa ggagactcc gtcgctaaga cggaggaagg aacgggcaac
 1141 ggtaggtcag tatgccccga atgtccggg cgacacgagg gctacaatgg ccgagacagt
 1201 gggacgctac cccgagaggg ggcgctaac tctaaccctc ggtcgtagt cggattgcgg
 1261 gttgaaacce acccgcata agctggalte ggtagtaac gcattcaga agagtgcgg
 1321 gaatacgtcc ctgctcctg cacacaccgc cgtcaaac acccgagtga ggtccgatg
 1381 aggc